

**PEMODELAN *FUNCTIONAL CLUSTER ANALYSIS* (FCA)
UNTUK PENGELOMPOKAN KABUPATEN/KOTA DI
PROVINSI JAWA TIMUR BERDASARKAN INDIKATOR
PRIORITY SUSTAINABLE DEVELOPMENT GOALS (SDGs)**

SKRIPSI

Sebagai salah satu syarat untuk memperoleh gelar
Sarjana Statistika

oleh:

**DEVY INTAN KUMALASARI
155090500111002**



**PROGRAM STUDI SARJANA STATISTIKA
JURUSAN STATISTIKA
FAKULTAS MATEMATIKA DAN ILMU PENGETAHUAN ALAM
UNIVERSITAS BRAWIJAYA
MALANG
2018**

LEMBAR PENGESAHAN SKRIPSI

**PEMODELAN *FUNCTIONAL CLUSTER ANALYSIS* (FCA)
UNTUK PENGELOMPOKAN KABUPATEN/KOTA DI
PROVINSI JAWA TIMUR BERDASARKAN INDIKATOR
PRIORITY SUSTAINABLE DEVELOPMENT GOALS (SDGs)**

oleh:
DEVY INTAN KUMALASARI
155090500111002

Setelah dipertahankan di depan Majelis Penguji
pada tanggal 4 Desember 2018
dan dinyatakan memenuhi syarat untuk memperoleh gelar
Sarjana Statistika

Dosen Pembimbing

Nurjannah, S.Si., M.Phil., Ph.D
NIP. 198009212005012001

Mengetahui,
Ketua Jurusan Statistika
Fakultas MIPA
Universitas Brawijaya

Rahma Fitriani, S.Si., M.Sc., Ph.D
NIP. 197603281999032001

LEMBAR PERNYATAAN

Saya yang bertanda tangan di bawah ini:

Nama : Devy Intan Kumalasari
NIM : 155090500111002
Jurusan : Statistika
Judul Skripsi :

**PEMODELAN *FUNCTIONAL CLUSTER ANALYSIS* (FCA)
UNTUK PENGELOMPOKAN KABUPATEN/KOTA DI
PROVINSI JAWA TIMUR BERDASARKAN INDIKATOR
PRIORITAS *SUSTAINABLE DEVELOPMENT GOALS* (SDGs)**

Dengan ini menyatakan bahwa:

1. Isi dari Skripsi yang saya buat adalah benar-benar karya sendiri dan tidak menjiplak karya orang lain, selain nama-nama yang bermaksud di isi dan tertulis di daftar pustaka dalam Skripsi ini.
2. Apabila dikemudian hari ternyata Skripsi yang saya tulis terbukti hasil jiplakan, maka saya akan bersedia menanggung segala risiko yang saya terima.

Demikian pernyataan ini dibuat dengan segala kesadaran.

Malang, 4 Desember 2018
Yang menyatakan,

Devy Intan Kumalasari
NIM. 155090500111002

**PEMODELAN *FUNCTIONAL CLUSTER ANALYSIS* (FCA)
UNTUK PENGELOMPOKAN KABUPATEN/KOTA DI
PROVINSI JAWA TIMUR BERDASARKAN INDIKATOR
PRIORITY SUSTAINABLE DEVELOPMENT GOALS (SDGs)**

ABSTRAK

Pengelompokan daerah berdasarkan indikator *Sustainable Development Goals* (SDGs) merupakan isu yang penting untuk dikaji. SDGs merupakan tujuan pembangunan berkelanjutan yang menjadi acuan dalam kerangka pembangunan nasional. Keberhasilan SDGs dapat diukur dari target pencapaian penduduk sebagai fokus utama pembangunan, sehingga tujuan SDGs yang menjadi target utama dalam pembangunan tersebut adalah kemiskinan, pendidikan, kesehatan dan pertumbuhan ekonomi. Tujuan dari penelitian ini adalah untuk mengelompokan kabupaten/kota di Jawa Timur berdasarkan indikator prioritas SDGs dengan menerapkan pemodelan *Functional Cluster Analysis* (FCA). Penelitian ini menggunakan tiga variabel yaitu persentase penduduk miskin, IPM, dan pertumbuhan ekonomi yang masing-masing variabel dikelompokan sendiri-sendiri menurut banyaknya *cluster* yang optimal. Analisis yang digunakan pada penelitian ini adalah FCA dengan pendekatan berbasis model. Pembentukan fungsi dasar setiap kabupaten/kota pada langkah awal adalah menggunakan pendekatan model nonparamatrik *B-spline*. Hasil dari FCA menunjukkan bahwa setiap variabel memiliki jumlah *cluster* optimal yang berbeda-beda. Pada variabel persentase penduduk miskin terbentuk tiga *cluster* optimal, variabel IPM terbentuk 5 *cluster* optimal, sedangkan variabel pertumbuhan ekonomi terbentuk 2 *cluster* optimal. Pemodelan FCA ini berbeda dengan analisis *cluster* pada umumnya, karena dengan menggunakan FCA dapat dibentuk fungsi yang mendasari pengamatan, fungsi *velocity* (kecepatan), dan fungsi *acceleration* (percepatan).

Kata Kunci: *Functional Cluster Analysis* (FCA), *B-spline*, *Velocity*, *Acceleration*, SDGs.

FUNCTIONAL CLUSTER ANALYSIS (FCA) MODELING FOR DISTRICT / CITY GROUPING IN EAST JAVA PROVINCE BASED ON SUSTAINABLE DEVELOPMENT GOALS (SDGs) PRIORITY INDICATORS

ABSTRACT

Area classification based on the indicator of Sustainable Development Goals (SDGs) is an important issue to be studied. SDGs is the aim of Sustainable Development which is as consideration in national development framework. Success of SDGs can be measured from the target gaining of the people as the main focus of the development, so the purpose of SDGs as the main target in the development is poverty, education, health and economic growth. The purpose of this study is classifying the regency/town in East Java based on the priority indicator of SDGs by implementing this Functional Cluster Analysis (FCA) modelling. This study uses three variables such as poor people percentage, IPM and economic growth which each variable is classified separately based on the optimal cluster number. This study uses FCA with the basic model approach. Forming the basic function of each regent/town in the beginning step uses nonparamatrik B-spline model approach. The result of FCA shows that each variable has different optimal cluster number. In poor people percentage variable is formed three optimal clusters. In IPM variable is formed five optimal clusters and in two in economic growth variable. This FCA modelling is different to common cluster analysis because of using FCA can be formed the function as the basic of observation, velocity function and acceleration function.

Keywords: Functional Cluster Analysis (FCA), *B-spline*, *Velocity*, *Acceleration*, SDGs.

KATA PENGANTAR

Syukur Alhamdulillah penulis ucapan kepada Allah SWT atas segala rahmat, hidayah, dan karunia-Nya sehingga penulis dapat menyelesaikan skripsi yang berjudul “Pemodelan *Functional Cluster Analysis* (FCA) untuk Pengelompokan kabupaten/Kota di Provinsi Jawa Timur Berdasarkan Indikator Prioritas *Sustainable Development Goals* (SDGs)”. Penelitian ini disusun untuk memenuhi salah satu syarat dalam memperoleh gelar Sarjana Statistika.

Dalam penyusunan penelitian ini tidak dapat diselesaikan dengan baik tanpa dukungan, motivasi, kerjasama maupun bimbingan dari berbagai pihak. Oleh karena itu, penulis ingin menyampaikan terima kasih kepada:

1. Ibu Nurjannah, S.Si., M.Phil., Ph.D. selaku dosen pembimbing skripsi atas waktu dan bimbingan yang telah diberikan selama proses penulisan penelitian ini.
2. Bapak Darmanto, S.Si., M.Si. selaku dosen penguji I yang telah memberikan saran dan bimbingan dalam penelitian ini.
3. Bapak Achmad Efendi, S.Si., M.Sc., Ph.D. selaku ketua Program Studi Sarjana Statistika FMIPA Universitas Brawijaya
4. Ibu Rahma Fitriani, S.Si., M.Sc., Ph.D. selaku ketua Jurusan Statistika FMIPA Universitas Brawijaya.
5. Keluarga KKU.PSBM untuk bimbingan dan dukungan selama ini.
6. Ibu, adik Jimmy Armando Ghalas, dan seluruh keluarga besar atas kasih sayang, do'a, dan dukungannya.
7. Teman-teman penulis terutama Hanifah, Rahma, Lisa, Galuh, Hanny, Dimdhan, Lilik, Ulfa, dan Dewi yang selalu memberikan semangat dan dukungannya.
8. Teman-teman KKU.PSBM dan teman-teman Statistika 2015 atas segala bantuan dan semangat yang diberikan.
9. Semua pihak yang telah membantu penyelesaian penelitian ini.

Penyusunan skripsi ini masih banyak kesalahan. Untuk itu, penulis mengharapkan kritik dan saran yang bersifat membangun demi perbaikan dan penyempurnaan penelitian ini. Semoga skripsi ini dapat bermanfaat bagi semua pihak dan penulis pada khususnya.

Malang, Desember 2018

Penulis

DAFTAR ISI

HALAMAN JUDUL.....	i
LEMBAR PENGESAHAN SKRIPSI.....	i
LEMBAR PERNYATAAN.....	iii
ABSTRAK	iv
ABSTRACT	v
KATA PENGANTAR	vi
DAFTAR ISI.....	vii
DAFTAR GAMBAR	ix
DAFTAR TABEL.....	xi
DAFTAR LAMPIRAN	xiii
BAB I PENDAHULUAN	1
1.1. Latar Belakang	1
1.2. Rumusan Masalah	3
1.3. Tujuan Penelitian	4
1.4. Manfaat Penelitian	4
1.5. Batasan Masalah.....	4
BAB II TINJAUAN PUSTAKA	5
2.1. Analisis <i>Cluster</i>	5
2.2. <i>Functional Data Analysis</i> (FDA)	6
2.2.1. Pengertian <i>Functional Data Analysis</i>	6
2.2.2. Tujuan <i>Functional Data Analysis</i>	7
2.2.3. Pembentukan Fungsi berdasarkan Fungsi Basis	7
2.2.4. Rata-rata dan Ragam <i>Data Functional</i>	8
2.2.5. Fungsi Kovarians dan Korelasi	9
2.2.6. Pembentukan Fungsi Dasar Nonparametrik	10
2.2.7. <i>Spline</i>	11
2.2.8. Pemilihan Model <i>B-spline</i> Terbaik	14
2.3. <i>Functional Cluster Analysis</i> (FCA)	15
2.3.1. Pengertian <i>Functional Cluster Analysis</i> (FCA).....	15
2.3.2. Model <i>Curve Clustering</i>	16
2.3.3. Pemilihan Jumlah <i>Cluster</i> Optimal	20
2.4. <i>Sustainable Development Goals</i> (SDGs).....	21
2.5. Variabel Penelitian	23
2.5.1. Persentase Penduduk Miskin	23
2.5.2. Indeks Pembangunan Manusia (IPM)	24
2.5.3. Pertumbuhan Ekonomi	25

BAB III METODE PENELITIAN	27
3.1. Sumber Data	27
3.2. Variabel Penelitian	27
3.3. Metode Penelitian.....	27
3.4. Diagram Alir	29
BAB IV HASIL DAN PEMBAHASAN	31
4.1. Statistika Deskriptif	31
4.1.1. Persentase Penduduk Miskin	32
4.1.2. Indeks Pembangunan Manusia (IPM)	33
4.1.3. Pertumbuhan Ekonomi	35
4.2. Pembentukan Fungsi Dasar Nonparametrik.....	36
4.2.1. Persentase Penduduk Miskin	37
4.2.2. IPM.....	45
4.2.3. Pertumbuhan Ekonomi	52
4.3. Estimasi Kurva <i>Velocity</i>	59
4.3.1. Persentase Penduduk Miskin	60
4.3.2. IPM.....	62
4.3.3. Pertumbuhan Ekonomi	65
4.4. Estimasi Kurva <i>Acceleration</i>	68
4.4.1. Persentase Penduduk Miskin	68
4.4.2. IPM	70
4.4.3. Pertumbuhan Ekonomi	73
4.5. <i>Functional Cluster Analysis</i> (FCA)	75
4.5.1. Penentuan Jumlah <i>Cluster</i> Optimal.....	75
4.5.2. Penentuan Jarak Kurva ke Pusat	76
4.5.3. Pengelompokan Kurva	76
BAB V PENUTUP	87
5.1. Kesimpulan	87
5.2. Saran	87
DAFTAR PUSTAKA	89
LAMPIRAN.....	93

DAFTAR GAMBAR

Gambar 3.1.	Diagram Alir FCA.....	29
Gambar 4.1.	Rata-rata Persentase Penduduk Miskin pada tahun 2002 hingga 2017 di Kabupaten/kota Provinsi Jawa Timur	32
Gambar 4.2.	Persentase Penduduk Miskin Jawa Timur tahun 2002 hingga 2017.....	33
Gambar 4.3.	Rata-rata IPM pada tahun 2002 hingga 2017 di Kabupaten/kota Provinsi Jawa Timur.....	34
Gambar 4.4.	IPM di Provinsi Jawa Timur tahun 2002-2017	34
Gambar 4.5.	Rata-rata Pertumbuhan Ekonomi pada tahun 2002 hingga 2017 di Kabupaten/kota Provinsi Jawa Timur	35
Gambar 4.6.	Pertumbuhan Ekonomi Jawa Timur tahun 2002 hingga 2017.....	36
Gambar 4.7.	Fungsi <i>B-spline</i> Persentase Penduduk Miskin di Kota Malang	39
Gambar 4.8.	Fungsi <i>B-spline</i> Persentase Penduduk Miskin di Kabupaten Kediri	42
Gambar 4.9.	Fungsi <i>B-spline</i> Persentase Penduduk Miskin di Kabupaten Sampang.....	44
Gambar 4.10.	Fungsi <i>B-spline</i> IPM di Kabupaten Sampang	47
Gambar 4.11.	Fungsi <i>B-spline</i> IPM di Kabupaten Nganjuk	49
Gambar 4.12.	Fungsi <i>B-spline</i> IPM di Kota Surabaya	51
Gambar 4.13.	Fungsi <i>B-spline</i> Pertumbuhan Ekonomi Kabupaten Sampang.....	54
Gambar 4.14.	Fungsi <i>B-spline</i> Pertumbuhan ekonomi di Kota Blitar	56
Gambar 4.15.	Fungsi <i>B-spline</i> Pertumbuhan Ekonomi Kabupaten Bojonegoro.....	59
Gambar 4.16.	Fungsi <i>Velocity</i> Persentase Penduduk Miskin Kota Malang	60
Gambar 4.17.	Fungsi <i>Velocity</i> Persentase Penduduk Miskin Kabupaten Kediri	61
Gambar 4.18.	Fungsi <i>Velocity</i> Persentase Penduduk Miskin Kabupaten Sampang.....	62

Gambar 4.19. Fungsi <i>Velocity</i> IPM Kabupaten Sampang	63
Gambar 4.20. Fungsi <i>Velocity</i> IPM Kabupaten Nganjuk	64
Gambar 4.21. Fungsi <i>Velocity</i> IPM Kota Surabaya.....	65
Gambar 4.22. Fungsi <i>Velocity</i> Pertumbuhan Ekonomi Kabupaten Sampang.....	66
Gambar 4.23. Fungsi <i>Velocity</i> Pertumbuhan Ekonomi Kota Blitar	66
Gambar 4.24. Fungsi <i>Velocity</i> Pertumbuhan Ekonomi Kabupaten Bojonegoro.....	67
Gambar 4.25. Fungsi <i>Acceleration</i> Persentase Penduduk Miskin Kota Malang.....	68
Gambar 4.26. Fungsi <i>Acceleration</i> Persentase Penduduk Miskin Kabupaten Kediri	69
Gambar 4.27. Fungsi <i>Acceleration</i> Persentase Penduduk Miskin Kabupaten Sampang.....	70
Gambar 4.28. Fungsi <i>Acceleration</i> IPM Kabupaten Sampang	71
Gambar 4.29. Fungsi <i>Acceleration</i> IPM Kabupaten Nganjuk	72
Gambar 4.30. Fungsi <i>Acceleration</i> IPM Kota Surabaya	72
Gambar 4.31. Fungsi <i>Acceleration</i> Pertumbuhan Ekonomi Kabupaten Sampang.....	73
Gambar 4.32. Fungsi <i>Acceleration</i> Pertumbuhan Ekonomi Kota Blitar	74
Gambar 4.33. Fungsi <i>Acceleration</i> Pertumbuhan Ekonomi Kabupaten Bojonegoro.....	75
Gambar 4.34. Pengelompokan Kabupaten/kota berdasarkan Variabel Persentase Penduduk Miskin	77
Gambar 4.35. Pusat <i>Cluster</i> dari Variabel Persentase Penduduk Miskin	78
Gambar 4.36. Plot Terpisah untuk Setiap <i>Cluster</i> dari Variabel Persentase Penduduk Miskin	78
Gambar 4.37. Pengelompokan kabupaten/kota berdasarkan IPM ..	80
Gambar 4.38. Pusat <i>Cluster</i> dari Variabel IPM.....	81
Gambar 4.39. Plot terpisah untuk Setiap <i>Cluster</i> dari Variabel IPM	81
Gambar 4.40. Pengelompokan Kabupaten/kota berdasarkan Variabel Pertumbuhan Ekonomi	84
Gambar 4.41. Pusat <i>Cluster</i> dari Variabel Pertumbuhan Ekonomi	84
Gambar 4.42. Plot terpisah untuk Setiap <i>Cluster</i> dari Variabel Pertumbuhan Ekonomi	85

DAFTAR TABEL

Tabel 4.1.	Statistika Deskriptif untuk Variabel Persentase Penduduk, IPM, dan Pertumbuhan Ekonomi	31
Tabel 4.2.	Nilai GCV menurut banyaknya knot, letak knot dan derajat v pada Fungsi Persentase Penduduk Miskin Kota Malang	37
Tabel 4.3.	Estimasi Parameter <i>B-spline</i> Persentase Penduduk Miskin Kota Malang	38
Tabel 4.4.	Kebaikan Model <i>B-spline</i> Persentase Penduduk Miskin Kota Malang	38
Tabel 4.5.	Nilai GCV menurut banyaknya knot, letak knot dan derajat v pada Fungsi Persentase Penduduk Miskin Kabupaten Kediri	40
Tabel 4.6.	Estimasi Parameter <i>B-spline</i> Persentase Penduduk Miskin Kabupaten Kediri	40
Tabel 4.7.	Kebaikan Model <i>B-spline</i> Persentase Penduduk Miskin Kabupaten Kediri	41
Tabel 4.8.	Nilai GCV menurut banyaknya knot, letak knot dan derajat v pada Fungsi Persentase Penduduk Miskin Kabupaten Sampang	42
Tabel 4.9.	Estimasi Parameter <i>B-spline</i> Persentase Penduduk Miskin Kabupaten Sampang	43
Tabel 4.10.	Kebaikan model <i>B-spline</i> Persentase Penduduk Miskin Kabupaten Sampang	44
Tabel 4.11.	Nilai GCV menurut banyaknya knot, letak knot dan derajat v pada Fungsi IPM Kabupaten Sampang	45
Tabel 4.12.	Estimasi Parameter <i>B-spline</i> IPM Kabupaten Sampang	46
Tabel 4.13.	Kebaikan model <i>B-spline</i> IPM Kabupaten Sampang	46
Tabel 4.14.	Nilai GCV menurut banyaknya knot, letak knot dan derajat v pada Fungsi IPM Kabupaten Nganjuk	47
Tabel 4.15.	Estimasi Parameter <i>B-spline</i> IPM Kabupaten Nganjuk	48
Tabel 4.16.	Kebaikan model <i>B-spline</i> IPM Kabupaten Nganjuk	49
Tabel 4.17.	Nilai GCV menurut banyaknya knot, letak knot dan derajat v pada Fungsi IPM Kota Surabaya	50
Tabel 4.18.	Estimasi Parameter <i>B-spline</i> IPM Kota Surabaya	50
Tabel 4.19.	Kebaikan model <i>B-spline</i> IPM Kota Surabaya	51

Tabel 4.20. Nilai GCV menurut banyaknya knot, letak knot dan derajat v pada Fungsi <i>B-spline</i> Pertumbuhan Ekonomi Kabupaten Sampang	52
Tabel 4.21. Estimasi Parameter <i>B-spline</i> IPM Kota Surabaya	53
Tabel 4.22. Kebaikan model <i>B-spline</i> pertumbuhan ekonomi Kabupaten Sampang	53
Tabel 4.23. Nilai GCV menurut banyaknya knot, letak knot dan derajat v pada Fungsi Pertumbuhan ekonomi Kota Blitar	54
Tabel 4.24. Estimasi Parameter <i>B-spline</i> Pertumbuhan ekonomi Kota Blitar	55
Tabel 4.25. Kebaikan Model <i>B-spline</i> Pertumbuhan ekonomi Kota Blitar	56
Tabel 4.26. Nilai GCV menurut banyaknya knot, letak knot dan derajat v pada Fungsi Pertumbuhan Ekonomi Kabupaten Bojonegoro	57
Tabel 4.27. Estimasi Parameter <i>B-spline</i> Pertumbuhan Ekonomi Kabupaten Bojonegoro	58
Tabel 4.28. Kebaikan model <i>B-spline</i> Pertumbuhan Ekonomi Kabupaten Bojonegoro	58
Tabel 4.29. Estimasi Parameter Turunan Pertama <i>B-spline</i> Persentase Penduduk Miskin Kota Malang	60
Tabel 4.30. Nilai BIC untuk Persentase Penduduk Miskin, IPM, dan Pertumbuhan Ekonomi	76
Tabel 4.31. Anggota <i>Cluster</i> untuk Variabel Persentase Penduduk Miskin	78
Tabel 4.32. Statistika Deskriptif Hasil <i>Cluster</i> Variabel Persentase Penduduk Miskin	79
Tabel 4.33. Anggota <i>Cluster</i> untuk Variabel IPM	81
Tabel 4.34. Statistika Deskriptif Hasil <i>Cluster</i> Variabel IPM	82
Tabel 4.35. Anggota <i>Cluster</i> untuk Variabel Pertumbuhan ekonomi	85
Tabel 4.36. Statistika Deskriptif Hasil <i>Cluster</i> Variabel Pertumbuhan Ekonomi.....	86

DAFTAR LAMPIRAN

Lampiran 1.	Data IPM, Indeks Pembangunan, dan Pertumbuhan Ekonomi tiap Kabupaten/kota di Provinsi Jawa Timur pada periode 2002 hingga 2017	93
Lampiran 2.	<i>Output</i> Statistika Deskriptif.....	112
Lampiran 3.	<i>Output</i> Pemilihan Model <i>B-spline</i> IPM	113
Lampiran 4.	<i>Output</i> Pemilihan Model <i>B-spline</i> IPM	117
Lampiran 5.	<i>Output</i> Pemilihan Model <i>B-spline</i> Pertumbuhan Ekonomi	120
Lampiran 6.	<i>Output</i> Estimasi Parameter Fungsi <i>B-spline</i> IPM	123
Lampiran 7.	<i>Output</i> Estimasi Parameter Fungsi <i>B-spline</i> IPM	124
Lampiran 8.	<i>Output</i> Estimasi Parameter Fungsi <i>B-spline</i> Pertumbuhan Ekonomi	125
Lampiran 9.	<i>Output</i> Estimasi Parameter Fungsi <i>Velocity</i> Persentase Penduduk Miskin	126
Lampiran 10.	<i>Output</i> Estimasi Parameter Fungsi <i>Velocity</i> IPM	127
Lampiran 11.	<i>Output</i> Estimasi Parameter Fungsi <i>Velocity</i> Pertumbuhan Ekonomi	128
Lampiran 12.	<i>Output</i> Estimasi Parameter Fungsi <i>Acceleration</i> Persentase Penduduk Miskin	129
Lampiran 13.	<i>Output</i> Estimasi Parameter Fungsi <i>Acceleration</i> IPM	130
Lampiran 14.	<i>Output</i> Estimasi Parameter Fungsi <i>Acceleration</i> Pertumbuhan Ekonomi	131
Lampiran 15.	Kurva Fungsi <i>B-spline</i> untuk Variabel Persentase Penduduk Miskin	132
Lampiran 16.	Kurva <i>Velocity B-spline</i> untuk Variabel Persentase Penduduk Miskin	135
Lampiran 17.	Kurva <i>Acceleration B-spline</i> untuk Variabel Persentase Penduduk Miskin	137
Lampiran 18.	Kurva Fungsi <i>B-spline</i> untuk Variabel IPM	139
Lampiran 19.	Kurva <i>Velocity B-spline</i> untuk Variabel IPM	142
Lampiran 20.	Kurva <i>Acceleration B-spline</i> untuk Variabel IPM ...	144
Lampiran 21.	Kurva Fungsi <i>B-spline</i> untuk Variabel Pertumbuhan Ekonomi	146
Lampiran 22.	Kurva <i>Velocity B-spline</i> untuk Variabel Pertumbuhan Ekonomi	149

Lampiran 23. Kurva <i>Acceleration B-spline</i> untuk Variabel Pertumbuhan Ekonomi	151
Lampiran 24. <i>Output</i> Penentuan Banyaknya <i>Cluster</i> Optimal.....	153
Lampiran 25. <i>Output Functional Cluster Analysis</i>	156
Lampiran 26. Hasil Statistika Deskriptif masing-masing <i>Cluster</i> dengan Bantuan Software SPSS	162
Lampiran 27. <i>Source Code</i> Fungsi <i>B-spline</i> , <i>Velocity</i> , dan <i>Acceleration</i> dengan Bantuan <i>Software R</i>	166
Lampiran 28. <i>Source Code</i> Penentuan Banyaknya <i>Cluster</i> Optimal dan <i>Functional Cluster Analysis</i> dengan Bantuan <i>Software R</i>	169



BAB I

PENDAHULUAN

1.1. Latar Belakang

Analisis *cluster* merupakan salah satu analisis statistika multivariat yang bertujuan untuk mengidentifikasi sekelompok objek atau variabel yang mempunyai kemiripan karakteristik tertentu, sehingga objek atau variabel berada dalam kelompok relatif lebih homogen daripada objek atau variabel yang berada pada kelompok yang lainnya (Johnson dan Wichern, 2007). Tujuan dari analisis *cluster* adalah untuk membangun kelompok homogen (*cluster*) dari pengamatan yang mewakili realisasi beberapa variabel acak X . Baru-baru ini, pendekatan probabilistik telah diperkenalkan untuk melakukan klasifikasi gagasan *cluster* melalui fungsi atau kurva. Pada pendekatan tersebut, data diwakili dengan fungsi atau kurva.

Functional data adalah data yang memuat informasi bervariasi dalam suatu rangkaian waktu, ruang, peluang atau dimensi apapun yang mendefinisikan pemisahan data. Adapun *Functional Data Analysis* (FDA) merupakan perluasan dari metode multivariat klasik pada data yang berbentuk fungsi atau kurva (Jacques dan Preda, 2014). Pembentukan fungsi atau kurva dapat dilakukan dengan pendekatan model nonparametrik, salah satunya yaitu *spline*. Pendekatan model nonparametrik *spline* merupakan salah satu model yang mempunyai interpretasi visual sangat khusus dan baik (Eubank, 1999). Pendekatan *spline* memiliki fleksibilitas yang tinggi dan mampu menangani pola hubungan data yang perilakunya berubah-ubah pada setiap interval tertentu. *Spline* merupakan potongan-potongan polinomial yang memiliki sifat tersegmen dan kontinu. Menurut Dass dan Shropshire (2012), fungsi yang dihasilkan dari FDA dapat digunakan untuk mengeksplorasi data lebih tinggi dari dinamika data yang diamati, misal dari turunan pertama fungsi diperoleh kecepatan dan dari turunan kedua fungsi diperoleh percepatan. Kecepatan yaitu mengukur laju perubahan fungsi dari waktu ke waktu sedangkan percepatan menunjukkan laju perubahan kecepatan dari waktu ke waktu.

Salah satu penerapan dari *Functional Data Analysis* (FDA) adalah *Functional Cluster Analysis* (FCA). Tujuan dari FCA adalah untuk mengelompokkan fungsi atau kurva yang mendasarinya.

Pengelompokan tersebut dapat dilakukan dengan menggunakan pendekatan berbasis model (James dan Sugar, 2003).

Pengelompokan daerah berdasarkan indikator *Sustainable Development Goals* (SDGs) merupakan isu yang penting untuk dikaji. SDGs merupakan tujuan pembangunan berkelanjutan yang menjadi acuan dalam kerangka pembangunan dan perundingan negara-negara di dunia sebagai pengganti pembangunan global *Millennium Development Goals* (MDGs) yang berakhir di tahun 2015. Terdapat tujuh belas butir tujuan SDGs yang harus dicapai untuk memenuhi kesejahteraan dan pembangunan masyarakat. Menurut Hayati dan Alfana (2016), keberhasilan SDGs dapat diukur dari target pencapaian dengan menggunakan pendekatan hak penduduk sebagai fokus utama pembangunan sehingga tujuan SDGs yang menjadi target utama dalam pembangunan tersebut adalah kemiskinan, pendidikan, kesehatan dan pertumbuhan ekonomi. Pendidikan, kesehatan, pendapatan merupakan indikator yang mengukur Indeks Pembangunan Manusia (IPM), sehingga variabel yang akan digunakan pada penelitian ini adalah persentase penduduk miskin, IPM, dan pertumbuhan ekonomi.

Persentase penduduk miskin (*Head count index/HCI-P0*) adalah persentase penduduk yang berada di bawah garis kemiskinan. Kemiskinan diangkat sebagai tujuan utama dari SDGs tentu bukan tanpa alasan. Peningkatan kesejahteraan yang terukur dari penurunan tingkat kemiskinan merupakan cerminan keberhasilan pembangunan yang didambakan setiap negara, termasuk Indonesia (BPS, 2007). IPM merupakan indikator penting untuk mengukur keberhasilan dalam upaya membangun kualitas hidup manusia (masyarakat/penduduk). IPM juga digunakan sebagai salah satu alokator penentuan Dana Alokasi Umum (DAU). IPM menjelaskan bagaimana penduduk dapat mengakses hasil pembangunan dalam memperoleh pendapatan, kesehatan, pendidikan, dan sebagainya. Adapun pertumbuhan ekonomi menurut Jhingan (2000) adalah kenaikan jangka panjang dalam kemampuan suatu negara untuk menyediakan semakin banyak jenis barang-barang ekonomi kepada penduduknya.

Pengelompokan daerah perlu dilakukan untuk mengetahui daerah-daerah yang memiliki tingkat kemiskinan, IPM (seperti pelayanan kesehatan, pendidikan, dan pendapatan), dan laju pertumbuhan ekonomi pada *cluster* rendah hingga tinggi. Informasi ini dapat menjadi pertimbangan pemerintah dalam menentukan prioritas kebijakan seperti

menambah pembangunan dalam bidang lapangan pekerjaan pada *cluster* yang memiliki tingkat kemiskinan tinggi. Menambah pembangunan dalam bidang kualitas hidup khususnya pendidikan dan kesehatan, pada *cluster* yang memiliki IPM rendah. Menambah pembangunan dalam bidang produksi barang dan jasa pada *cluster* yang memiliki pertumbuhan ekonomi rendah agar tujuan dari SDGs dapat tercapai dengan maksimal.

Jawa Timur merupakan sebuah provinsi di bagian timur Pulau Jawa, Indonesia. Ibu kota provinsi Jawa Timur terletak di Surabaya, dengan luas wilayah sebesar 47.922 km² dengan jumlah penduduk sebanyak 42.030.633 jiwa (sensus 2017). Jawa Timur memiliki wilayah terluas diantara 6 provinsi di Pulau Jawa dan memiliki jumlah penduduk terbanyak kedua di Indonesia setelah Jawa Barat (BPS, 2014). Jawa Timur juga menjadi provinsi yang memiliki jumlah penduduk miskin terbanyak kedua setelah Jawa Barat dan sangat memerlukan bantuan pembangunan di berbagai indikator SDGs agar tujuan dari SDGs Jawa Timur tercapai dengan baik. Berdasarkan hal tersebut, penelitian mengenai variabel yang berpengaruh terhadap indikator SDGs di Jawa Timur penting dilakukan sebagai bahan referensi pemerintah dalam upaya menekan angka pembangunan yang adil dan merata.

Pada penelitian sebelumnya tentang *Functional Cluster Analysis* telah diteliti oleh Ordóñez, dkk. (2016) yang membandingkan FCA dengan pendekatan parametrik *K-Means* untuk mengelompokkan berbagai sampel yang sesuai dengan ukuran partikel dari sedimen. Hasil pengelompokan dengan FCA secara keseluruhan lebih baik dibandingkan *K-Means*. Dass dan Shropshire (2012) meneliti ukuran kinerja keuangan perusahaan dari kumpulan data panel dengan menggunakan FPCA, *functional regression*, dan *functional clustering*. James dan Sugar (2018) juga meneliti mengenai pengelompokan *functional data* dengan pendekatan berbasis model. Pada penelitian ini akan dibahas mengenai pemodelan *Functional Cluster Analysis* untuk mengelompokkan kabupaten/kota di Provinsi Jawa Timur berdasarkan indikator SDGs yang menjadi fokus utama pembangunan, meliputi: persentase penduduk miskin, IPM, pertumbuhan ekonomi.

1.2. Rumusan Masalah

Berdasarkan uraian dari latar belakang, maka rumusan masalah dalam penelitian ini adalah bagaimana penerapan FCA dengan

pendekatan berbasis model dalam pengelompokan kabupaten/kota di Jawa Timur berdasarkan indikator prioritas SDGs?

1.3. Tujuan Penelitian

Tujuan yang ingin dicapai dalam penelitian ini adalah untuk menerapkan FCA dalam mengelompokkan kabupaten/kota di Jawa Timur berdasarkan indikator prioritas SDGs.

1.4. Manfaat Penelitian

Manfaat yang akan diperoleh dari penelitian ini adalah sebagai berikut:

1. Memberikan wawasan keilmuan yang lebih kepada penulis dan kepada masyarakat pada umumnya tentang FCA.
2. Menambah informasi kepada pemerintah khususnya Badan Perencanaan Pembangunan Nasional (BAPPENAS) dalam penentuan DAU untuk peningkatan pembangunan di kabupaten/kota Provinsi Jawa Timur.

1.5. Batasan Masalah

Batasan masalah dalam penelitian ini adalah sebagai berikut:

1. Data yang digunakan adalah data panel mengenai persentase penduduk miskin, IPM, dan pertumbuhan ekonomi di kabupaten/kota di Jawa Timur tahun 2002-2017.
2. Variabel penelitian ini dibatasi sebanyak 3 variabel yaitu persentase penduduk miskin, IPM, dan pertumbuhan ekonomi.

BAB II

TINJAUAN PUSTAKA

2.1. Analisis *Cluster*

Analisis *cluster* merupakan suatu analisis multivariat yang digunakan untuk mengelompokkan objek pengamatan menjadi beberapa kelompok (*cluster*) berdasarkan kesamaan atau kemiripan karakteristik antar objek-objek yang diteliti (Johnson dan Wichern, 2007). Menurut Rencher (2002), dalam analisis *cluster* yang dilakukan adalah mencari pola dalam kumpulan data dengan mengelompokkan observasi ke dalam *cluster*. Tujuannya adalah untuk menemukan pengelompokan optimal dengan pengamatan atau objek dalam setiap *cluster* serupa, tetapi antar *cluster* yang satu dengan yang lain berbeda. Hasil pengelompokan sekumpulan objek akan memiliki homogenitas yang tinggi antar anggota dalam satu *cluster* (*within cluster*) dan heterogenitas yang tinggi antar *cluster* yang satu dengan *cluster* yang lainnya (*between cluster*). Jumlah kelompok yang dapat diidentifikasi tergantung pada banyak data objek. Ciri-ciri suatu *cluster* dikatakan baik adalah mempunyai homogenitas internal, yaitu kesamaan antar anggota dalam satu kelompok dan heterogenitas eksternal, yaitu perbedaan antara kelompok yang satu dengan kelompok yang lain (Hair dkk., 2010).

Manfaat dari pengelompokan antara lain untuk eksplorasi data, reduksi data, dan pelapisan atau stratifikasi data. Eksplorasi data dilakukan untuk memperoleh gambaran tentang informasi yang ada dalam data. Hasil pengelompokan dapat digunakan sebagai pelapisan atau stratifikasi dalam penarikan contoh atau penggolongan tipe objek (Siswadi dan Suharjo, 1998).

Secara umum analisis *cluster* dibagi menjadi dua metode, yaitu metode hierarki dan metode non-hierarki. Metode hierarki adalah suatu metode pengelompokan data yang dimulai dengan mengelompokkan dua atau lebih objek yang memiliki kemiripan paling dekat, kemudian proses dilanjutkan ke objek lain yang memiliki kedekatan kedua. Demikian seterusnya sehingga *cluster* akan membentuk semacam pohon dengan hierarki (tingkatan) yang jelas antar objek, dari yang paling mirip sampai yang paling tidak mirip. Berbeda dengan metode hierarki, metode non-hierarki dimulai dengan menentukan terlebih

dahulu banyak *cluster* yang diinginkan. Dalam hal ini proses *cluster* dilakukan setelah banyak *cluster* diketahui tanpa mengikuti proses hierarki (Santoso, 2010).

2.2. Functional Data Analysis (FDA)

2.2.1. Pengertian Functional Data Analysis

Functional Data Analysis (FDA) pertama kali diperkenalkan oleh Ramsay pada tahun 1982. *Functional Data Analysis* (FDA) merupakan perluasan dari metode multivariat klasik ketika data berbentuk fungsi atau kurva (Jacques dan Preda, 2014). FDA mengacu pada analisis statistik dari sampel data yang terdiri atas fungsi acak, dimana setiap fungsi dilihat sebagai satu elemen sampel.

Functional Data dibentuk pada data yang tiap pengamatannya berupa kurva. Bila pengukuran yang dilakukan secara kontinu dari waktu ke waktu, maka kumpulan titik-titik pengamatan tersebut akan membentuk kurva. Menurut Benko (2004), cara implementasi FDA yang paling popular adalah menggunakan perluasan basis fungsional. Prinsipnya semua pemodelan dapat dikonversikan menjadi *functional data* yang merupakan kombinasi linier dari basis fungsi. Basis fungsi yang digunakan dalam FDA adalah basis *Fourier*, basis polinomial, dan basis *B-spline*. Kelebihan data fungsional dibandingkan dengan data biasa adalah dapat mengatasi kendala autokorelasi dan dapat melihat karakteristik pola data secara berkala atau *series*.

Menurut Strandberg (2013), *Functional data* biasanya diamati secara diskret dan dapat dikatakan bahwa pengamatan fungsional dari satu fungsi $x(t)$ terdiri dari n pasangan (t_i, y_i) , di mana skalar y_i adalah pengamatan fungsi $x(t)$ pada waktu t_i . Secara rumus, dapat dituliskan sebagai berikut:

$$y_i = x(t_i) + \varepsilon_i, i = 1, \dots, n \quad (2.1)$$

Dimana: $t_i = [t_1, \dots, t_n]$

t_i : variabel prediktor ke- i

y_i : variabel respon ke- k pada pengamatan ke- i ,

ε_i : galat yang diasumsikan menyebar NIID $(0, \sigma^2)$

$x(t)$: variabel acak yang kontinu pada t

FDA berbeda dengan pendekatan *time series*, karena desain *sampling* sangat fleksibel, dimana data tidak pelu dilakukan kestasioneritas dan pemodelan *Autoregressive-Moving Average* juga

tidak dilakukan. Pendekatan model FDA pada umumnya adalah nonparametrik, sehingga dimungkinkan untuk pemodelan fleksibel.

Tiga penerapan FDA yang telah menarik perhatian khusus adalah *Functional Principal Components Analysis* (FPCA), *Functional Regression* dan *Functional Clustering*. *Functional Principal Components Analysis* (FPCA) berguna dalam menentukan faktor-faktor umum atau pola yang ada dalam dinamika fungsi yang mendasarinya. *Functional regression* menguji hubungan antara fungsi yang didapatkan (variabel dependen fungsional) dan prediktor yang mempengaruhi hasil. *Functional clustering* membentuk hubungan antar fungsi dan menggunakan informasi untuk mengelompokkan unit analisis yang sesuai.

2.2.2. Tujuan *Functional Data Analysis*

Menurut Ramsey dan Silverman (2005) terdapat beberapa tujuan dari *Functional Data Analysis*, yaitu:

1. Untuk mempresentasikan data dalam berbagai cara untuk membantu analisis lebih lanjut
 2. Untuk menggambarkan data secara jelas dengan berbagai karakteristik yang sangat bervariasi
 3. Untuk mempelajari sumber dari pola dan variasi dari data
 4. Untuk membandingkan dua atau lebih variabel fungsional
- Langkah-langkah pertama dalam analisis *functional data*, yaitu:
- a. Representasi data dengan perataan dan interpolasi
 - b. Pendataan data atau penyelarasan ciri-ciri
 - c. Menampilkan data
 - d. Plot *velocity* dan *acceleration*

2.2.3. Pembentukan Fungsi berdasarkan Fungsi Basis

Menurut Ramsay dan Silverman (2005), suatu sistem fungsi basis adalah sekumpulan fungsi yang diketahui secara matematis independen satu sama lain dan memiliki properti yang dapat kita dekati dengan fungsi apapun sehingga baik untuk mengambil suatu penjumlahan atau kombinasi linier dari suatu jumlah k yang cukup besar dari fungsi-fungsi ini. Salah satu cara paling umum untuk memperkirakan $x(t)$ adalah dengan menggunakan fungsi dasar dari kombinasi linier pada persamaan (2.2).

$$x(t) = \sum_{k=1}^K c_k \phi_k(t) \quad (2.2)$$

dimana:

ϕ_k : Fungsi basis $k ; k = 1, 2, \dots, K$

c_k : Koefisien fungsi $k ; k = 1, 2, \dots, K$

\underline{c} didefinisikan sebagai vektor dari koefisien c_k dengan panjang k dan $\underline{\phi}$ sebagai vektor fungsional yang elemen-elemennya adalah fungsi dasar ϕ_k , kita juga dapat menyatakan fungsi (2.2) dalam notasi matriks sebagai berikut:

$$x = \underline{c}^T \underline{\phi} = \underline{\phi}^T \underline{c} \quad (2.3)$$

Koefisien (c_1, \dots, c_K) dapat ditentukan dengan meminimalkan jumlah kuadrat galat berikut ini.

$$SSE = \sum_{i=1}^n \left[y_i - \sum_{k=1}^K c_k \phi_k(t_i) \right]^2 \quad (2.4)$$

Jika ditulis dalam bentuk vektor dan matriks adalah sebagai berikut:

$$\underline{c} = (c_1, c_2, \dots, c_K)^T \quad (2.5)$$

$$\underline{y} = (y_1, y_2, \dots, y_n)^T \quad (2.6)$$

Sehingga persamaan (2.4) dapat dinyatakan dalam bentuk matriks sebagai berikut.

$$SSE = (\underline{y} - \Phi \underline{c})^T (\underline{y} - \Phi \underline{c}) \quad (2.7)$$

Estimasi kuadrat terkecil dari koefisien vektor \underline{c} diperoleh dari turunan persamaan (2.4) yang berkaitan dengan c , kemudian persamaan disamadengarkan nol untuk memperoleh koefisien c . Penaksir $x(t)$ diperoleh menggunakan hasil estimasi nilai c sebagai berikut.

$$\hat{\underline{c}} = (\Phi^T \Phi)^{-1} \Phi^T \underline{y} \quad (2.8)$$

Menurut Dass dan Shropshire (2012), fungsi yang dihasilkan dari FDA dapat digunakan untuk mengeksplorasi data lebih tinggi dari dinamika data yang diamati, misalnya turunan pertama dari fungsi yang ditemukan dapat menghasilkan kecepatan dan turunan kedua dari fungsi yang ditemukan dapat menghasilkan percepatan. Kecepatan sendiri mengukur laju perubahan fungsi dari waktu ke waktu dan percepatan menunjukkan laju perubahan kecepatan dari waktu ke waktu.

2.2.4. Rata-rata dan Ragam *Data Functional*

Statistika deskriptif klasik data univariat yang telah dikenal pada umumnya berlaku sama untuk *functional data*. Fungsi rata-rata dari *functional data* dapat dituliskan dengan rumus:

$$\bar{x} = \frac{1}{N} \sum_{i=1}^N x_i(t) \quad (2.9)$$

keterangan:

$x_i(t)$: variabel acak yang kontinu pada t

\bar{x} : rata-rata dari variabel acak yang kontinu pada t

N : banyaknya pengamatan

sedangkan fungsi ragam dari *functional data* dapat ditulis dengan rumus:

$$\text{var } x(t) = \frac{1}{N-1} \sum_{i=1}^N [x_i(t) - \bar{x}(t)]^2 \quad (2.10)$$

keterangan:

$\text{Var } x(t)$: ragam dari variabel acak yang kontinu pada t

$x_i(t)$: variabel acak yang kontinu pada t

$\bar{x}(t)$: rata-rata dari variabel acak yang kontinu pada t

N : banyaknya pengamatan

2.2.5. Fungsi Kovarians dan Korelasi

Fungsi kovarians meringkas ketergantungan catatan di antara nilai-nilai argumentasi yang berbeda dan dihitung untuk semua t_1 dan t_2 oleh persamaan (2.11).

$$\text{cov } x(t_1, t_2) = \frac{1}{N-1} \sum_{i=1}^N \{x_i(t_1) - \bar{x}(t_1)\} \{x_i(t_2) - \bar{x}(t_2)\} \quad (2.11)$$

keterangan:

$\text{cov } x(t_1, t_2)$: kovarian antara variabel x yang kontinu pada t_1 dengan t_2

$x_i(t_1)$: variabel acak yang kontinu pada t_1

$x_i(t_2)$: variabel acak yang kontinu pada t_2

$\bar{x}(t_1)$: rata-rata dari variabel acak yang kontinu pada t_1

$\bar{x}(t_2)$: rata-rata dari variabel acak yang kontinu pada t_2

N : banyaknya pengamatan

Sedangkan fungsi korelasi dari *functional data* dapat ditulis dengan rumus pada persamaan (2.12).

$$\text{corr } x(t_1, t_2) = \frac{\text{cov } x(t_1, t_2)}{\sqrt{\text{var } x(t_1) \text{ var } x(t_2)}} \quad (2.12)$$

keterangan:

$\text{corr } x(t_1, t_2)$: korelasi antara variabel x yang kontinu pada t_1 dengan t_2

$\text{cov } x(t_1, t_2)$: kovarian antara variabel x yang kontinu pada t_1 dengan t_2

- var $x(t_1)$: variabel acak x yang kontinu pada t_1
 var $x(t_2)$: variabel acak x yang kontinu pada t_2

2.2.6. Pembentukan Fungsi Dasar Nonparametrik

Model nonparametrik mulai dikenal sekitar abad 19, tepatnya pada tahun 1857 (Härdle, 1990). Model nonparametrik digunakan apabila asumsi model parametrik tidak terpenuhi, salah satunya adalah karena kurva tidak mengikuti standar linier, kuadratik dan polinomial. Pendekatan nonparametrik menyesuaikan dengan data yang memiliki pola tidak diketahui bentuk kurvanya atau tidak terdapat informasi masa lalu yang lengkap tentang bentuk pola data (Eubank, 1999). Dalam aplikasi, untuk memperoleh fungsi tersebut secara tepat sangat sulit bahkan seringkali ditemukan gejala yang menunjukkan bahwa data yang diperoleh tidak atau belum menunjukkan pola hubungan yang mudah untuk digambarkan. Secara visual, jenis model ini memiliki bentuk pola yang tidak dapat diidentifikasi.

Pendekatan model nonparametrik memiliki fleksibilitas yang tinggi, karena data diharapkan memperoleh bentuk penduga fungsi atau kurva dengan sendirinya tanpa dipengaruhi oleh faktor subyektifitas peneliti (Eubank, 1999). Selain itu, kurva model nonparametrik hanya diasumsikan *smooth* (mulus), artinya termuat di dalam suatu ruang fungsi tertentu (Wu dan Zhang, 2006). Pendekatan model nonparametrik paling banyak dikembangkan oleh para peneliti, adalah *spline*. Pendekatan nonparametrik digunakan jika kurva regresi tidak/belum diketahui bentuknya, sehingga bentuk penduga kurva regresi ditentukan berdasarkan pada data yang ada (Eubank, 1999). Model nonparametrik secara umum dapat dilihat pada persamaan (2.1). Jika persamaan (2.1) dituliskan dalam bentuk matriks akan menjadi:

$$\begin{bmatrix} y_1 \\ y_2 \\ y_3 \\ \vdots \\ y_n \end{bmatrix} = \begin{bmatrix} x(t_1) \\ x(t_2) \\ x(t_3) \\ \vdots \\ x(t_n) \end{bmatrix} + \begin{bmatrix} \varepsilon_1 \\ \varepsilon_2 \\ \varepsilon_3 \\ \vdots \\ \varepsilon_n \end{bmatrix} \quad (2.13)$$

Maka matriks pada persamaan (2.13) dapat dituliskan dalam bentuk persamaan matriks sebagai berikut:

$$y_i = x(t_i) + \varepsilon_i; i = 1, 2, 3, \dots, n \quad (2.14)$$

(Eubank, 1999)

di mana $\underline{x}(t)$ adalah bentuk kurva atau fungsi yang tidak diketahui dan $\varepsilon_i \sim N_n(0, \Sigma)$ yaitu galat identik berdistribusi normal multivariat dengan nilai tengah vektor nol dan ragam homogen.

Ada beberapa pendekatan untuk menaksir fungsi $x(t_i)$ dalam model nonparametrik antara lain pendekatan *kernel*, *spline*, dan *K-Nearest Neighbor* (Härdle, 1990), *Estimator Deret Fourier* (Eubank, 1988). Pendekatan nonparametrik *spline* merupakan salah satu model yang mempunyai interpretasi visual sangat khusus dan baik (Eubank, 1999). Pendekatan *spline* baik untuk model nonparametrik karena memiliki fleksibilitas yang tinggi dan mampu menangani pola hubungan data yang perilakunya berubah-ubah pada setiap interval tertentu.

2.2.7. *B-Spline*

Menurut Budiantara (2006), *spline* merupakan model yang memiliki karakteristik khusus dan fleksibilitas yang baik dalam menyesuaikan pola perilaku data. *Spline* merupakan potongan polinomial yang memiliki sifat tersegmen. Sifat inilah yang memberikan fleksibilitas yang lebih dari pada polinomial biasa, sehingga memungkinkan untuk menyesuaikan diri secara efektif terhadap karakteristik lokal dari suatu fungsi (Eubank, 1999). Pendekatan *spline* dilakukan pada segmentasi x untuk membangun fungsi $x(t)$ dengan membagi pengamatan x berdasarkan titik-titik x yang disebut knot. Penalti yang digunakan adalah penalti pada kekasaran/kemulusan fungsi dugaan yang diinginkan.

Pada fungsi dasar pada persamaan (2.2), penetapan sistem fungsi dasar $\phi_k(t)$ memiliki sifat-sifat penting sebagai berikut:

1. Setiap fungsi basis $\phi_k(t)$ memiliki fungsi *spline* sebagaimana didefinisikan oleh urutan m .
2. Setiap kombinasi dari fungsi basis ini adalah fungsi *spline* karena kelipatan fungsi *spline* masih merupakan fungsi *spline*, dan penjumlahan *spline* juga merupakan *spline*,
3. Setiap fungsi *spline* dapat dinyatakan sebagai kombinasi linier dari fungsi dasar ini.

Spline mempunyai keunggulan dalam mengatasi pola data yang menunjukkan naik atau turun yang tajam dengan bantuan titik-titik knot serta kurva yang dihasilkan relatif mulus. Jika ingin menaksir kurva

regresi nonparametrik *spline*, maka dapat dilakukan dengan salah satu dari dua cara berikut:

1. Mencari model *spline* optimal dengan cara memilih parameter pemulus λ optimal.
2. Mencari model *spline* optimal dengan cara memilih titik knot optimal.

Titik knot merupakan titik perpaduan bersama yang memperlihatkan terjadinya perubahan perilaku dari fungsi *spline* pada interval-interval yang berbeda. Peran titik knot dan parameter pemulus λ dalam model *spline* adalah serupa tetapi kemampuan menaksir *spline* dengan memilih parameter pemulus optimal tidak terlihat secara eksplisit dan visual. Dalam persoalan praktis, bentuk visual sangat membantu dalam pemodelan awal maka pemilihan titik knot adalah optimal dalam regresi nonparametrik *spline* karena cenderung lebih mudah dan lebih disukai dibandingkan dengan pemilihan parameter pemulus optimal. Penelitian ini menerapkan *spline* dengan pendekatan *B-spline* karena *B-spline* sangat efisien pada aspek komputasi.

Misal diberikan sebuah fungsi $x(t)$ dimana bentuk kurva dari fungsi tersebut tidak diketahui, sehingga perlu dilakukan suatu pendekatan fungsi. Salah satu pendekatannya adalah dengan menggunakan basis *spline* yaitu *B-spline*. Jadi, jika fungsi dari persamaan (2.2) didekati dengan *B-spline* maka dapat ditulis menjadi persamaan berikut ini.

$$x(t) = \sum_{j=1}^{m+K} c_j B_{j-m,m}(t) \quad (2.15)$$

(Ramsay dan Silverman, 2005)

Notasi $B_{j-m,m}(t)$ adalah basis *B-spline* dan c_1, c_2, \dots, c_{m+K} adalah koefisien dari fungsi. Cara membangun fungsi *B-Spline* orde m dengan titik knot $a < u_1 < u_2 < \dots < u_k < b$ adalah dengan terlebih dahulu mendefinisikan knot tambahan sebanyak $2m$ yaitu:

$$u_{-(m-1)} < \dots < u_{-1} < u_0 < \dots < u_{K-m},$$

dimana

$$u_{-(m-1)} = \dots = u_0 = a \text{ dan } u_{K+1} = \dots = u_{K+m} = b,$$

biasanya a diambil dari nilai minimum t dan b diambil dari nilai maksimum t .

Fungsi *B-Spline* secara rekursif didefinisikan sebagai:

$$B_{j,m}(t) = \frac{t - u_j}{u_{j+m-1} - u_j} B_{j,m-1}(t) + \frac{u_{j+m} - t}{u_{j+m} - u_{j+1}} B_{j+1,m-1}(t) \quad (2.16)$$

$$\text{dengan } B_{j,1}(t) = \begin{cases} 1 & , x \in [k_j, k_{j+1}] \\ 0 & , \text{untuk } x \text{ yang lainnya} \end{cases} \quad (2.17)$$

(Eubank, 1999)

Dengan m adalah derajat B -spline, untuk $m=2$ memberikan fungsi B -spline linier, $m=3$ memberikan fungsi B -spline kuadratik, $m=2$ memberikan fungsi B -spline kubik (Budiantara., 2006). Untuk menduga koefisien c pada persamaan (2.15), didefinisikan matriks:

$$\mathbf{B}(\mathbf{t}) = \begin{pmatrix} B_{1-m,m}(t_1) & B_{1-m,m}(t_1) & \dots & B_{K,m}(t_1) \\ B_{1-m,m}(t_2) & B_{2-m,m}(t_1) & \dots & B_{K,m}(t_2) \\ \vdots & \vdots & & \vdots \\ B_{1-m,m}(t_n) & B_{2-m,m}(t_n) & \dots & B_{K,m}(t_n) \end{pmatrix} \quad (2.18)$$

dengan $\mathbf{B}(\mathbf{t})$ adalah sebuah matriks berukuran $n \times (m+K)$.

selanjutnya akan diperoleh estimasi parameter B -spline dengan menggunakan metode kuadrat terkecil secara rekursif. Estimasi parameter B -spline diperoleh dengan persamaan sebagai berikut:

$$\hat{\mathbf{c}} = \mathbf{B}^T(\mathbf{t})\mathbf{B}(\mathbf{t})^{-1}\mathbf{B}^T(\mathbf{t})\mathbf{Y} \quad (2.19)$$

Cara yang populer untuk mengukur kekasaran suatu fungsi adalah *Roughness Penalty* (PEN). Menurut Gyorfy (2002), *Roughness Penalty* (PEN) dapat dinyatakan sebagai integral dari kuadrat turunan kedua suatu fungsi yang sering disebut kelengkungan pada t , atau dapat dituliskan dengan rumus:

$$\begin{aligned} \text{PEN}^2 &= \int [D^2x(t)]^2 dt \\ &= \int [D^2\mathbf{c}^T \mathbf{B}_k(\mathbf{t})]^2 dt \\ &= \int [D^2\mathbf{c}^T \mathbf{B}_k(\mathbf{t})] [D^2\mathbf{c}^T \mathbf{B}_k(\mathbf{t})] dt \\ &= \int \mathbf{c}^T D^2 \mathbf{B}_k(\mathbf{t}) D^2 \mathbf{B}_k^T(\mathbf{t}) \mathbf{c} dt \\ &= \mathbf{c}^T \left[\int D^2 \mathbf{B}_k(\mathbf{t}) D^2 \mathbf{B}_k^T(\mathbf{t}) \mathbf{c} dt \right] \mathbf{c} \end{aligned} \quad (2.20)$$

dimana $D^2x(t)$ adalah turunan kedua dari fungsi $x(t)$.

Dalam rangka mengatasi kesalahan non stasioner dan/atau korelasi perlu memberikan pembobot residual pada persamaan (2.4). Tujuannya adalah untuk menemukan fungsi $x^{(j)}$ yang meminimalkan

jumlah kuadrat residual, sehingga perlu mengubah ukuran ketepatan metode kuadrat terkecil untuk menghitung *roughness penalty* (PEN) dalam mendefinisikan $x(t)$. Jadi persamaan (2.4) dapat diubah menjadi persamaan sebagai berikut:

$$\text{PENSS} = \sum_j^n \left[y_i^{(j)} - x^{(j)}(t_i) \right]^2 + \lambda \times \text{PEN}_2^{(j)} \quad (2.21)$$

dimana:

$y_i^{(j)}$: nilai pengamatan ke- j untuk kumpulan i

$x^{(j)}(t_i)$: nilai fungsional sesuai yang diperoleh dari *smoothed spline*

λ : parameter pemulus yang memberikan *tradeoff* antara fit $\left[\left(y_i^{(j)} - x^{(j)}(t_i) \right)^2 \right]$

PEN₂ : *roughness penalty function* pada orde kedua

(Ramsay dan Silverman, 2005)

Parameter pemulus λ menentukan penekanan untuk jangka pendek yang membatasi kelengkungan relatif terhadap *goodness of fit* yang dikualifikasikan dalam jumlah kuadrat galat.

Menurut Dass dan Shropshire (2012), fungsi yang dihasilkan dapat dianalisis lebih lanjut untuk menghitung turunan orde tinggi, yaitu orde turunan pertama menghasilkan kecepatan dan orde turunan kedua menghasilkan percepatan. Turunan hanya bisa dihitung ketika fungsi tersebut menggunakan polinomial orde 3 atau lebih, sehingga membutuhkan setidaknya empat titik waktu dalam data. Penelitian ini menggunakan pendekatan *B-spline* yang dikembangkan untuk meminimalkan $\text{PENSS}_{\lambda,m}^{(j)}$.

2.2.8. Pemilihan Model *B-spline* Terbaik

Menurut Budiantara (2009), untuk menentukan penduga *spline* yang paling sesuai dengan pola data diperlukan pemilihan parameter pemulus (λ) optimal. Jika nilai parameter pemulus sangat kecil (λ mendekati nol) maka penduga *spline* akan sangat kasar, sedangkan jika parameter pemulus sangat besar (λ mendekati tak terhingga) maka penduga *spline* akan sangat mulus. Pemilihan parameter pemulus yang optimal dapat menggunakan metode *Generalized Cross Validation* (GCV). Menurut Fernandes (2015) untuk memilih parameter pemulus yang optimal adalah dengan meminimumkan fungsi GCV terboboti sebagai berikut. Rumus untuk menghitung nilai GCV, ditulis sebagai berikut:

$$GCV(\lambda) = \frac{1}{n} \sum_{i=1}^n \left(\frac{y_i - x(t_i)}{1 - \frac{v}{n}} \right)^2 = \frac{\sum_{i=1}^n (y_i - x(t_i))^2}{n [1 - n^{-1} \text{tr}(\mathbf{L})]^2} = \frac{MSE(\lambda)}{\left(n^{-1} [\text{tr}(\mathbf{I} - \mathbf{L})] \right)^2} \quad (2.22)$$

Keterangan:

\mathbf{L} : matriks pemulus; $\mathbf{L} = \mathbf{B}(\mathbf{B}^T \mathbf{B})^{-1} \mathbf{B}'$

\mathbf{I} : matriks identitas

n : banyaknya pengamatan

v : derajat kebebasan yang efektif; $v = \text{tr}(\mathbf{L}) \leq n$

y_i : nilai pengamatan ke- i

$x(t_i)$: nilai fungsional sesuai yang diperoleh dari *smoothed spline*

Baru-baru ini, pendekatan probabilistik telah diperkenalkan untuk melakukan klasifikasi gagasan *cluster* melalui fungsi atau kurva. Pada pendekatan tersebut, data diwakili dengan fungsi atau kurva.

Salah satu penerapan metode tersebut adalah *Functional Cluster Analysis* (FCA). Pada fungsi atau kurva dasar yang telah dihasilkan dari pendekatan nonparametrik *B-spline* dapat dilakukan pengelompokan kurva dengan metode FCA tersebut.

2.3. Functional Cluster Analysis (FCA)

2.3.1. Pengertian Functional Cluster Analysis (FCA)

Functional Cluster Analysis (FCA) merupakan suatu analisis yang dilakukan dengan menggunakan *functional data* untuk mengelompokkan unit analisis berdasarkan fungsi yang mendasarinya (James dan Sugar, 2003). Serangkaian kurva yang dihasilkan dari algoritma *clustering* dapat digunakan untuk membentuk beberapa *cluster* sedemikian rupa sehingga kurva *within cluster* memiliki kemiripan satu sama lain dan memiliki perbedaan antar kelompok lain. Proses yang dilakukan pada data fungsional ini berbeda dengan algoritma *clustering* yang biasa dilakukan pada data diskrit. Sebelum melakukan FCA, langkah awal yang dilakukan antara lain:

1. Menemukan fungsi yang mendasari untuk setiap kabupaten/kota dengan memperkirakan persamaan (2.15).
2. Menormalkan waktu antara 0 dan 1 untuk memudahkan dalam menafsirkan hasil. Ini dilakukan dengan membagi setiap titik waktu dengan jumlah total titik data yang mungkin (Reddy & Dass, 2006).

3. Memperkirakan tingkat perubahan indikator penelitian (kecepatan/ *velocity*) dari hasil turunan pertama.
4. Memperkirakan laju perubahan kecepatan (percepatan/ *acceleration*) dari hasil turunan kedua yang memeriksa dinamika tingkat yang lebih tinggi.

Ada beberapa metode pengelompokan seperti *K-Means clustering*, *Hierarchical clustering* dan pengelompokan berbasis model. Pengelompokan berbasis model mengasumsikan bahwa objek dibentuk dari beberapa model. Model ini kemudian digunakan untuk menentukan *cluster* dan menetapkan anggota *cluster* yang sesuai.

Penelitian ini menggunakan pengelompokan berbasis model pada suatu fungsi yang dihasilkan dari *smooth* basis dalam mengidentifikasi jumlah kelompok berdasarkan pada perbedaan dalam *cluster*. Pada *functional data* Pengukuran kedekatan yang digunakan yaitu *Between-Segment Distances* (BSD) untuk mengidentifikasi jumlah kelompok, sedangkan untuk menghitung jarak kurva pada teknik pengelompokan berbasis model ini adalah menentukan jarak untuk setiap kurva ke semua pusat *cluster* dengan menentukan jumlah jarak kuadrat antara kurva dan pusat *cluster* pada titik waktu yang tersedia dan membaginya dengan jumlah titik waktu untuk kurva yang sesuai.

2.3.2. Model *Curve Clustering*

Menurut Gaffney (2004), *Density estimation* adalah teknik probabilistik standar yang dapat digunakan untuk meringkas kumpulan data. Teknik parametrik yang pertama kali mengasumsikan bentuk fungsional untuk *probability density function* (PDF), misalnya distribusi normal. Proses ketepatan melibatkan pengaturan nilai-nilai dari parameter distribusi seperti rata-rata dan varians sehingga menghasilkan *density* yang cocok dengan distribusi data. Proses ketepatan biasanya dilakukan menggunakan salah satu dari sejumlah metode, yaitu: metode momen, *Maximum Likelihood Estimation* (MLE), *Maximum a Posteriori* (MAP) atau teknik *Bayesian*.

Keuntungan khusus dari pendekatan probabilistik adalah komponen PDF dapat didefinisikan pada data non-vektor. Misalnya, anggaplah bahwa y_i sekarang adalah urutan pengukuran jarak kurva n_i yang diamati pada titik waktu n_i di t_i . Mendefinisikan model probabilistik bersyarat *cluster*-spesifik yang menghubungkannya dengan t_i . Sama seperti pada bagian sebelumnya, *density* keseluruhan y_i

adalah PDF komponen campuran. Bentuk *density* dapat ditulis sebagai berikut:

$$p(\mathbf{y}_i | \mathbf{t}_i, \Theta) = \sum_k^K \alpha_k p_k(\mathbf{y}_i | \mathbf{t}_i, \theta_k) \quad (2.23)$$

Keterangan:

α_k : bobot campuran ke- k ; $\sum \alpha_k = 0$

p_k : densitas komponen ke- k

θ_k : vektor parameter ke- k

α_k adalah pusat *cluster* yang diproyeksikan. Bobot campuran α_k akan meminimalkan jumlah kesalahan yang diharapkan. Jadi tidak ada informasi pengelompokan yang hilang melalui proyeksi y_i ke ruang dimensi yang lebih rendah. Kepadatan komponen p_k memodelkan masing-masing subbagian kepadatan tertentu, sedangkan campuran p merangkum semua subbagian yang sesuai dengan bobot campuran α_k .

Kepadatan campuran bersyarat ini didefinisikan pada kurva sebagai objek lawan vektor-vektor yang panjang dan tetap. Kepadatan kurva ini dapat digunakan sebagai pengganti kepadatan campuran untuk sampai pada prosedur pengelompokan berbasis model kurva. Tahapan untuk mendapatkan model kurva campuran adalah sebagai berikut:

1. Tentukan kurva ke- i untuk *cluster* k dengan probabilitas α_k
2. Hasilkan kurva rata-rata untuk *cluster* k sesuai dengan model kepadatan komponen p_k
3. Definisikan kurva ke- i agar sama dengan kurva rata-rata ditambah beberapa *generated noise* yang dihasilkan secara acak (misalnya, tambahkan istilah *Gaussian error*)

Landasan dari model pengelompokan kurva yang didefinisikan dengan cara ini ada dua bagian. Pertama, kerangka campuran mengarah ke algoritma pembelajaran berdasarkan *Expectation Maximization* (EM). EM adalah prosedur *maximum likelihood* yang berulang dan menyediakan suatu kerangka kerja yang efisien untuk estimasi parameter dalam konteks campuran. Kedua, PDF bersyarat secara langsung menyediakan model kurva yang menangani jarak kurva variabel, pengukuran acak interval, pengamatan yang hilang, dan penanganan kendala *smoothness* secara eksplisit (Gaffney, 2004).

Misalkan terdapat kumpulan data Y dari kurva sebagai $\{y_1, \dots, y_i, \dots, y_n\}$. Setiap kurva memiliki jarak (yang mungkin unik) dari n_i dengan pengukuran yang diamati pada titik-titik waktu di t_i . Hubungan regresi

polinomial antara y_i dan t_i pada orde p diasumsikan dengan Gaussian aditif *error* (asumsi umum di hadapan beberapa efek *exogenous*, *unexplained*). Model y_i pada t_i dapat diringkas dengan persamaan berikut:

$$\mathbf{y}_i = \boldsymbol{\beta} \mathbf{t}_i + \boldsymbol{\varepsilon}_i ; \boldsymbol{\varepsilon}_i \sim N(\mathbf{0}, \sigma^2 \mathbf{I}) \quad (2.24)$$

Berdasarkan persamaan (2.20) dengan menggunakan model *error* mendefinisikan PDF bersyarat yang diberikan t_i sebagai $N(y_i | \boldsymbol{\beta}, \sigma^2 I)$. PDF tersebut digabungkan ke dalam kepadatan campuran dengan menambahkan ketergantungan PDF dalam k . Dalam notasi, ketergantungan ini ditambahkan dalam bentuk subskrip pada parameter sebagai $\{\beta_k, \sigma_k^2\}$. Penggabungan PDF pada *cluster-dependent* ke dalam kepadatan campuran bersyarat dari persamaan (2.23) menghasilkan definisi model *Polynomial Regression Mixture* (PRM) sebagai berikut.

$$\begin{aligned} p_k(\mathbf{y}_i | \mathbf{t}_i, \Theta) &= \sum_k^K \alpha_k p_k(\mathbf{y}_i | \mathbf{t}_i \theta_k) \\ &= \sum_k^K \alpha_k N(\mathbf{y}_i | \mathbf{t}_i \beta_k, \sigma_k^2 \mathbf{I}) \end{aligned} \quad (2.25)$$

Dimana $\sum_k \alpha_k = 0$. setelah diperoleh persamaan PRM, selanjutnya adalah menghitung *Log-likelihood* pada kumpulan data $\mathbf{Y} = \{y_1, \dots, y_i, \dots, y_n\}$ dimana fungsi Θ sebanding dengan probabilitas data $p(\Theta | \mathbf{Y})$. *Log-likelihood* adalah *log* dari *likelihood* yang dapat dibentuk dengan menjumlahkan probabilitas semua kurva sebanyak n dari kepadatan bersyarat, sehingga menghasilkan persamaan sebagai berikut.

$$\begin{aligned} \log p(\mathbf{t}_i \Theta | \mathbf{Y}) &= \log p(\mathbf{Y} | \mathbf{t}_i \Theta) \\ &= \log \prod_{i=1}^n \sum_k^K \alpha_k p_k(\mathbf{y}_i | \mathbf{t}_i \theta_k) \\ &= \sum_i^n \log \sum_k^K \alpha_k p_k(\mathbf{y}_i | \mathbf{t}_i \theta_k) \end{aligned} \quad (2.26)$$

dengan y_i diasumsikan I.I.D (didistribusikan secara independen dan identik). *Maximum Likelihood Estimation* dari vektor parameter Θ sama dengan nilai Θ yang maksimal.

Penggunaan fungsi persamaan (2.26) adalah untuk menghitung skor *log-likelihood* di luar sampel untuk model ini dengan menggantikan dalam kumpulan data \mathbf{Y} yang tidak terlihat. Definisi

model ini sekarang digunakan untuk menurunkan algoritma pembelajaran EM dalam pengelompokan kurva dengan *Polynomial Regression Mixtures* (PRM).

Selanjutnya diperoleh algoritma EM untuk PRM. Model regresi polinomial ini menjelaskan kurva probabilistik yang memungkinkan untuk menentukan jarak kurva. Pendekatan polinomial juga memanfaatkan informasi kelancaran yang ada dalam data. Masalah pengelompokan dapat dikurangi untuk memaksimalkan fungsi *log-likelihood* (Gaffney, 2004).

Untuk kesederhanaan notasi, persamaan tersebut dianggap bahwa setiap PDF secara implisit dikondisikan pada parameter Θ atau θ_k , dan dengan demikian maka ketergantungan eksplisit pada vektor parameter dalam notasi diganti dengan z_i sebagai keanggotaan *cluster* untuk kurva i . Kepadatan gabungan y_i dan t_i didefinisikan sebagai berikut:

$$\begin{aligned} p(y_i, z_i | t_i) &= \alpha_{z_i} p_{z_i}(y_i | t_i) \\ &= \alpha_{z_i} N(y_i | t_i \beta_{z_i}, \sigma_{z_i}^2 \mathbf{I}) \end{aligned} \quad (2.27)$$

Fungsi *log-likelihood* untuk data lengkap dapat dihitung dengan mengambil jumlah semua komponen kepadatan gabungan *log* dari persamaan (2.27):

$$L_c = \sum_i \log \alpha_{z_i} N(y_i | t_i \beta_{z_i}, \sigma_{z_i}^2 \mathbf{I}) \quad (2.28)$$

Selanjutnya menggunakan algoritma *Expectation Maximization* (EM) untuk mendapatkan pendugaan fungsi dari persamaan *likelihood*. EM dilakukan untuk estimasi parameter dalam konteks model campuran. Langkah pertama dalam algoritma EM adalah proses *E-step*, pada *E-Step* ini menghitung $p(z_i|y_i)$ yang memberikan probabilitas keanggotaan bahwa kurva ke- i dihasilkan dari *cluster* z_i . Keanggotaan probabilitas mendefinisikan bentuk sebagai berikut (Gaffney, 2004).

$$\begin{aligned} \omega_{ik} &= p(z_i = k | y_i, t_i, \hat{\Theta}) \propto \alpha_k p_k(y_i | \hat{\theta}_k) \\ &= \alpha_k N(y_i | \beta_k t_i, \sigma_k^2 \mathbf{I}) \end{aligned} \quad (2.29)$$

Dalam *E-step* (harapan), harapan bersyarat dari *log-likelihood* dan estimasi dihitung dari persamaan (2.28) untuk mendapatkan fungsi Q . Fungsi Q dapat dihitung dengan rumus sebagai berikut:

$$Q = E[L_c | y_i, t_i] = \sum_i \sum_k \omega_{ik} \log \alpha_k N(y_i | t_i \beta_k, \sigma_k^2 \mathbf{I}) \quad (2.30)$$

ω_{ik} menjadi probabilitas keanggotaan bahwa kurva ke- i adalah dihasilkan dari *cluster* k . Probabilitas keanggotaan ini diberikan oleh rasio kemungkinan kurva y_i di bawah *cluster* k , dengan total kemungkinan seluruh jumlah kurva di bawah semua *cluster*:

$$\omega_{ik} = p(z_i = k | \mathbf{y}_i, \mathbf{t}_i, \theta_k) = \frac{\alpha_k N(\mathbf{y}_i | \mathbf{t}_i \beta_k, \sigma_k^2 \mathbf{I})}{\sum_{k=1}^K \alpha_k N(\mathbf{y}_i | \mathbf{t}_i \beta_k, \sigma_k^2 \mathbf{I})} \quad (2.31)$$

Langkah kedua dalam algoritma EM adalah proses M-Step, yaitu memaksimalkan nilai Q dari hasil E-Step *log-likelihood* yang berhubungan dengan parameter $\{\beta_k, \sigma_k^2, \alpha_k\}$. Solusi *least squares* untuk memaksimalkan adalah sebagai berikut:

$$\hat{\beta}_k = [\mathbf{t}^T \mathbf{W}_k \mathbf{t}]^{-1} \mathbf{t}^T \mathbf{W}_k \mathbf{y} \quad (2.32)$$

$$\hat{\sigma}_k^2 = \frac{(\mathbf{y} - \mathbf{t}\hat{\beta}_k)^T \mathbf{W}_k (\mathbf{y} - \mathbf{t}\hat{\beta}_k)}{\sum_{i=1}^n \omega_{ik}} \quad (2.33)$$

$$\hat{\alpha}_k = \frac{1}{n} \sum_{i=1}^n \omega_{ik} \quad (2.34)$$

Dimana:

$$\mathbf{t}_i = \{\mathbf{t}_{i1}, \dots, \mathbf{t}_{in}\}$$

$$\mathbf{W}_k = \text{diag}(\boldsymbol{\omega}_{1k}, \dots, \boldsymbol{\omega}_{nk})$$

$$\boldsymbol{\omega}_{ik} = \omega_{ik} I_n$$

Algoritma EM secara berulang akan menghitung parameter Θ yang memaksimalkan *likelihood* pada data yang diamati (Gaffney, 2004).

2.3.3. Pemilihan Jumlah Cluster Optimal

Salah satu metode untuk menentukan jumlah *cluster* k adalah dengan menggunakan metode *Akaike Information Criterion* (AIC). Kriteria AIC adalah koreksi AIC untuk ukuran sampel kecil. Metode popular lainnya, yang berkaitan dengan AIC adalah *Bayesian Information Criterion* (BIC). Perbandingan antara metode AIC dan BIC telah dilakukan oleh Burnham dan Anderson (2002). Pada penelitian ini, kriteria BIC digunakan untuk memperkirakan jumlah *cluster* k . Skor dari BIC dapat dirumuskan sebagai berikut:

$$BIC = L_{\max} - \frac{1}{2} f \ln n \quad (2.35)$$

Keterangan:

L_{\max} : maksimum likelihood dari algoritma EM yang diperoleh dari persamaan (2.28)

f : jumlah parameter independen dalam model

n : nomor poin data (kurva)

Skor BIC besar menunjukkan bukti yang kuat untuk model. Sehingga pada penelitian ini mencari jumlah *cluster* yang menghasilkan skor BIC terbesar.

2.4. Sustainable Development Goals (SDGs)

Sustainable Development Goals (SDGs) merupakan tujuan pembangunan berkelanjutan yang menjadi acuan dalam kerangka pembangunan dan perundingan negara-negara di dunia sebagai pengganti pembangunan global *Millennium Development Goals* (MDGs) yang berakhir di tahun 2015 (BPS, 2014).

Berakhirnya MDGs ini masih menyisakan sejumlah pekerjaan rumah yang harus diselesaikan pada periode tujuan pembangunan berkelanjutan (*Sustainable Development Goals/SDGs*) yang akan dilaksanakan sampai dengan 2030. Tujuan Pembangunan Milenium (*Millennium Development Goals/MDGs*) yang telah dilaksanakan selama periode 2000-2015 memang telah membawa berbagai kemajuan. Sekitar 70 persen dari total indikator yang mengukur target MDGs telah berhasil dicapai oleh Indonesia (BPS, 2014).

Indonesia sebagai salah satu negara yang telah menyepakati penerapan tujuan pembangunan berkelanjutan (SDGs) berkomitmen untuk menyukkseskan pelaksanaan SDGs melalui berbagai kegiatan dan telah mengambil langkah-langkah strategis. Sejumlah langkah yang telah ditempuh Indonesia sampai dengan akhir 2016 antara lain (i) melakukan pemetaan antara tujuan dan target SDGs dengan prioritas pembangunan nasional, (ii) melakukan pemetaan ketersediaan data dan indikator SDGs pada setiap target dan tujuan termasuk indikator proksi, (iii) melakukan penyusunan definisi operasional untuk setiap indikator SDGs, (iv) menyusun peraturan presiden terkait dengan pelaksanaan tujuan pembangunan berkelanjutan, dan (v) mempersiapkan rencana aksi nasional dan rencana aksi daerah terkait dengan implementasi SDGs di Indonesia (BPS, 2014).

Konsep SDGs itu sendiri lahir pada kegiatan konferensi mengenai pembangunan berkelanjutan yang dilaksanakan oleh PBB di Rio de Janeiro tahun 2012. Tujuan yang ingin dihasilkan dalam pertemuan tersebut adalah memperoleh tujuan bersama yang universal yang mampu memelihara keseimbangan tiga dimensi pembangunan berkelanjutan: lingkungan, sosial dan ekonomi (BPS, 2014).

Dalam menjaga keseimbangan tiga dimensi pembangunan tersebut, maka SDGs memiliki 5 pondasi utama yaitu manusia, planet, kesejahteraan, perdamaian, dan kemitraan yang ingin mencapai tiga tujuan mulia di tahun 2030 berupa mengakhiri kemiskinan, mencapai kesetaraan dan mengatasi perubahan iklim. Kemiskinan masih menjadi isu penting dan utama, selain dua capaian lainnya. Untuk mencapai tiga tujuan mulia tersebut, disusunlah 17 Tujuan Global.

Adapun 17 tujuan global tersebut adalah sebagai berikut:

1. Mengakhiri segala bentuk kemiskinan
2. Mengakhiri kelaparan, mencapai ketahanan pangan dan peningkatan gizi, dan mencanangkan pertanian berkelanjutan
3. Menjamin kehidupan yang sehat dan meningkatkan kesejahteraan penduduk di segala usia
4. Menjamin kualitas pendidikan yang adil dan inklusif serta meningkatkan kesempatan belajar seumur hidup untuk semua
5. Mencapai kesetaraan gender dan memberdayakan perempuan dan anak perempuan
6. Menjamin ketersediaan dan manajemen air dan sanitasi secara berkelanjutan
7. Menjamin akses terhadap energi yang terjangkau, dapat diandalkan, berkelanjutan, dan modern
8. Meningkatkan pertumbuhan ekonomi yang merata dan berkelanjutan, kesempatan kerja penuh dan produktif, serta pekerjaan yang layak untuk semua
9. Membangun infrastruktur tangguh, mempromosikan industrialisasi inklusif dan berkelanjutan dan mendorong inovasi
10. Mengurangi ketimpangan dalam dan antar negara
11. Membuat kota dan pemukiman manusia yang adil, merata, aman, tangguh dan berkelanjutan
12. Menjamin pola produksi dan konsumsi yang berkelanjutan
13. Mengambil tindakan segera untuk memerangi perubahan iklim dan dampaknya

14. Melestarikan samudera, laut dan sumber daya kelautan secara berkelanjutan untuk pembangunan berkelanjutan
15. Melindungi, memulihkan dan meningkatkan pemanfaatan secara berkelanjutan ekosistem darat, mengelola hutan, memerangi desertifikasi, dan menghentikan dan memulihkan degradasi lahan dan menghentikan hilangnya keanekaragaman hayati
16. Meningkatkan masyarakat yang inklusif dan damai untuk pembangunan berkelanjutan, menyediakan akses terhadap keadilan bagi semua dan membangun institusi yang efektif, akuntabel dan inklusif di semua tingkatan
17. Memperkuat sarana pelaksanaan dan merevitalisasi kemitraan global untuk pembangunan berkelanjutan

(BPS, 2014)

Menurut Hayati dan Alfana (2016) keberhasilan SDGs diukur dari target pencapaian dengan menggunakan pendekatan hak penduduk sebagai fokus utama pembangunan, yaitu kemiskinan, pendidikan, kesehatan dan pertumbuhan ekonomi, sehingga penelitian ini mengambil tiga variabel dari tujuh belas indikator SDGs yang menjadi target utama dalam pembangunan tersebut, yaitu variabel Persentase penduduk miskin, IPM yang mewakili indikator kesehatan, pendidikan, dan Pertumbuhan Ekonomi.

2.5. Variabel Penelitian

2.5.1. Persentase Penduduk Miskin

Kemiskinan didefinisikan sebagai ketidakmampuan dari sisi ekonomi untuk memenuhi kebutuhan dasar makanan dan bukan makanan yang diukur dari sisi pengeluaran. Penduduk Miskin adalah penduduk yang memiliki rata-rata pengeluaran perkapita perbulan dibawah garis kemiskinan.

Garis Kemiskinan (GK) merupakan penjumlahan dari Garis Kemiskinan Makanan (GKM) dan Garis Kemiskinan Non Makanan (GKNM). Penduduk yang memiliki rata-rata pengeluaran perkapita per bulan dibawah Garis Kemiskinan dikategorikan sebagai penduduk miskin. Garis Kemiskinan Makanan (GKM) merupakan nilai pengeluaran kebutuhan minimum makanan yang disetarakan dengan 2100 kilokalori perkapita perhari. Garis Kemiskinan Non Makanan (GKNM) adalah kebutuhan minimum untuk perumahan, sandang, pendidikan dan kesehatan. Untuk mengukur kemiskinan adalah

menggunakan konsep kemampuan memenuhi kebutuhan dasar (*basic needs approach*).

Persentase Penduduk Miskin (*Head Count Index/HCI-P0*), adalah persentase penduduk yang berada dibawah GK. Angka yang ditunjukkan oleh HCI-P0 menunjukkan proporsi penduduk miskin di suatu wilayah. Persentase penduduk miskin yang tinggi menunjukkan bahwa tingkat kemiskinan di suatu wilayah juga tinggi (BPS, 2007).

2.5.2. Indeks Pembangunan Manusia (IPM)

IPM merupakan indikator penting untuk mengukur keberhasilan dalam upaya membangun kualitas hidup manusia (masyarakat/penduduk). IPM dapat menentukan peringkat atau level pembangunan suatu wilayah/negara. Bagi Indonesia, IPM merupakan data strategis karena selain sebagai ukuran kinerja Pemerintah, IPM juga digunakan sebagai salah satu alokator penentuan Dana Alokasi Umum (DAU). IPM menjelaskan bagaimana penduduk dapat mengakses hasil pembangunan dalam memperoleh pendapatan, kesehatan, pendidikan, dan sebagainya. IPM diperkenalkan oleh *United Nations Development Programme* (UNDP) pada tahun 1990 dan dipublikasikan secara berkala dalam laporan tahunan *Human Development Report* (HDR). Komponen Indeks Pembangunan Manusia antara lain:

1. Angka Harapan Hidup

Angka Harapan Hidup (AHH) pada waktu lahir merupakan rata-rata perkiraan banyak tahun yang dapat ditempuh oleh seseorang selama hidup. Rata-rata tahun hidup yang masih akan dijalani oleh seseorang yang telah berhasil mencapai umur x , pada suatu tahun tertentu, dalam situasi mortalitas yang berlaku di lingkungan masyarakatnya. Angka Harapan Hidup merupakan alat untuk mengevaluasi kinerja pemerintah dalam meningkatkan kesejahteraan penduduk pada umumnya, dan meningkatkan derajat kesehatan pada khususnya. Angka Harapan Hidup yang rendah di suatu daerah harus diikuti dengan program pembangunan kesehatan, dan program sosial lainnya termasuk kesehatan lingkungan, kecukupan gizi dan kalori termasuk program pemberantasan kemiskinan.

2. Angka Harapan Lama Sekolah

Angka Harapan Lama Sekolah (AHLS) didefinisikan sebagai lamanya sekolah (dalam tahun) yang diharapkan akan dirasakan oleh anak pada umur tertentu di masa mendatang. Angka ini diperoleh dengan cara membagi banyaknya partisipasi sekolah penduduk pada

usia x pada tahun t dengan jumlah penduduk yang bersekolah pada usia x pada tahun t . AHLS ini dapat digunakan untuk mengetahui kondisi pembangunan di berbagai jenjang. (BPS, 2007). AHLS merupakan salah satu *output* yang dapat digunakan untuk memotret pemerataan pembangunan pendidikan di Indonesia karena AHLS mengukur kesempatan pendidikan seorang penduduk di mulai pada usia tujuh tahun.

3. Rata-Rata Lama Sekolah

Rata-rata lama sekolah menggambarkan jumlah tahun yang digunakan oleh penduduk usia 15 tahun ke atas dalam menjalani pendidikan formal. Untuk menghitung Rata-rata Lama Sekolah dibutuhkan informasi:

- 1) Partisipasi sekolah
 - 2) Jenjang dan jenis pendidikan yang pernah/sedang diduduki
 - 3) Ijasah tertinggi yang dimiliki
 - 4) Tingkat/kelas tertinggi yang pernah/sedang diduduki.
4. Pengeluaran Riil per Kapita yang disesuaikan

Pengeluaran per kapita adalah biaya yang dikeluarkan untuk konsumsi semua anggota rumah tangga selama sebulan dibagi dengan banyaknya anggota rumah tangga. BPS dalam menghitung standar hidup layak menggunakan rata-rata pengeluaran per kapita riil yang disesuaikan.

2.5.3. Pertumbuhan Ekonomi

Pertumbuhan ekonomi menurut Jhingan (2000), adalah kenaikan jangka panjang dalam kemampuan suatu negara untuk menyediakan semakin banyak jenis barang-barang ekonomi kepada penduduknya. Kemampuan ini tumbuh sesuai dengan kemajuan teknologi, dan penyesuaian kelembagaan dan ideologi yang diperlukannya. Definisi ini memiliki 3 komponen pertama, yaitu:

1. Pertumbuhan ekonomi suatu bangsa terlihat dari meningkatnya secara terus-menerus persediaan barang
2. Teknologi maju merupakan faktor dalam pertumbuhan ekonomi yang menentukan derajat pertumbuhan kemampuan dalam penyediaan aneka macam barang kepada penduduk
3. Penggunaan teknologi secara luas dan efisien memerlukan adanya penyesuaian dibidang kelembagaan dan ideologi sehingga inovasi yang dihasilkan oleh ilmu pengetahuan umat manusia dapat dimanfaatkan secara tepat.

Boediono (1999) menyebutkan pertumbuhan ekonomi adalah proses kenaikan output dalam jangka panjang. Pengertian tersebut mencakup tiga aspek, yaitu proses, output perkapita, dan jangka panjang. Pertumbuhan ekonomi merupakan suatu proses, bukan gambaran ekonomi atau hasil pada saat itu. Pertumbuhan ekonomi hanya mencatat peningkatan produksi barang dan jasa secara nasional. Salah satu sasaran pembangunan ekonomi daerah adalah meningkatkan laju pertumbuhan ekonomi daerah.

Produk Domestik Regional Bruto (PDRB) merupakan total nilai barang dan jasa yang diproduksi di wilayah atau regional tertentu dan dalam kurun waktu tertentu biasanya satu tahun. Tingginya tingkat pertumbuhan ekonomi yang ditunjukkan dengan tingginya nilai PDRB menunjukkan bahwa daerah tersebut mengalami kemajuan dalam perekonomian. PDRB menurut Badan Pusat Statistik (BPS) didefinisikan sebagai jumlah nilai tambah yang dihasilkan oleh seluruh unit usaha dalam suatu wilayah, atau merupakan jumlah seluruh nilai barang dan jasa akhir yang dihasilkan oleh seluruh unit ekonomi di suatu wilayah. Produk Domestik Regional Bruto atas dasar harga berlaku menggambarkan nilai tambah barang dan jasa yang dihitung menggunakan harga pada setiap tahun, sedang Produk Domestik Regional Bruto atas dasar harga konstan menunjukkan nilai tambah barang dan jasa yang dihitung menggunakan harga pada tahun tertentu.

Laju pertumbuhan PDRB akan memperlihatkan proses kenaikan output perkapita dalam jangka panjang. Penekanan pada proses, karena mengandung unsur dinamis, perubahan atau perkembangan. Oleh karena itu, pemahaman indikator pertumbuhan ekonomi biasanya akan dilihat dalam kurun waktu tertentu, misalnya tahunan. Laju pertumbuhan PDRB atau pertumbuhan ekonomi dapat dihitung dengan rumus:

$$\text{Pertumbuhan Ekonomi} = \frac{\text{PDRB}_t - \text{PDRB}_{t-1}}{\text{PDRB}_{t-1}} \times 100\% \quad (2.36)$$

BAB III

METODE PENELITIAN

3.1. Sumber Data

Data yang digunakan dalam penelitian ini adalah data sekunder yang berupa data panel mengenai Persentase Penduduk Miskin, IPM, dan Pertumbuhan Ekonomi tiap Kabupaten/ Kota di Provinsi Jawa Timur pada tahun 2002-2017. Data tersebut diperoleh dari Badan Pusat Statistik (BPS) Jawa Timur.

3.2. Variabel Penelitian

Variabel penelitian yang digunakan dalam penelitian ini diambil dari indikator SDGs, yaitu:

1. Persentase Penduduk Miskin,
2. Indeks Pembangunan Manusia (IPM), dan
3. Pertumbuhan Ekonomi

3.3. Metode Penelitian

Langkah-langkah penelitian yang dilakukan adalah sebagai berikut:

1. Menentukan variabel yang akan digunakan untuk memecahkan masalah dalam penelitian ini.
2. Meninjau dan menentukan teori menurut para ahli sesuai dengan variabel penelitian ini.
3. Mengambil data di kantor Badan Pusat Statistik Provinsi Jawa Timur.
4. Analisis pemodelan *Functional Cluster Analysis*.

Tahap pertama dalam *Functional Cluster Analysis* adalah membentuk fungsi kurva nonparametrik dengan pendekatan model *spline*. Adapun langkah-langkahnya adalah sebagai berikut:

- a. Mendefinisikan bentuk persamaan nonparametrik seperti pada persamaan (2.14)
- b. Membentuk fungsi $x(t_i)$ dengan pendekatan *B-spline* persamaan (2.15)
- c. Mencari model *spline* optimal dengan cara memilih parameter pemulus λ optimal dengan menggunakan fungsi GCV persamaan (2.22).

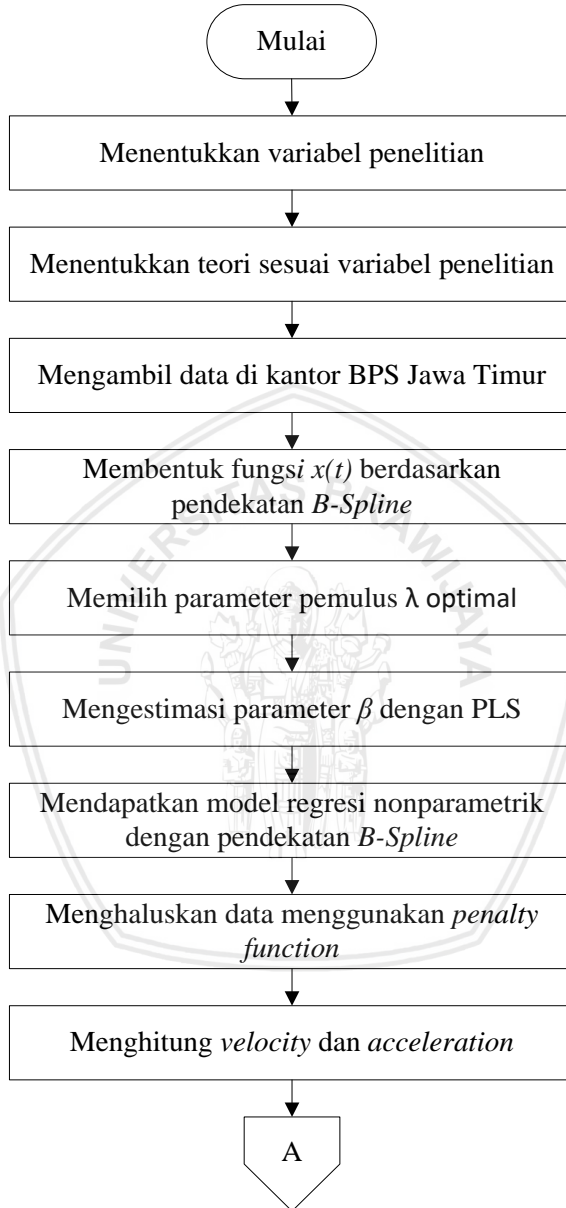
- d. Mengestimasi parameter β dengan metode kuadrat terkecil yang terpenalti (*Penalized Least Square*) persamaan (2.19).
- e. Mensubstitusikan hasil estimasi parameter β dalam fungsi pemodelan nonparametrik untuk memperoleh model nonparametrik dengan pendekatan *B-spline*.
- f. Menghaluskan data menggunakan *Roughness Penalty* (PEN) yang sesuai pada persamaan (2.19).
- g. Menghitung turunan pertama untuk memperkirakan laju perubahan (*velocity*/kecepatan) dan turunan kedua (*acceleration*/percepatan) dari fungsi yang dihasilkan poin e.

Tahap kedua dalam *Functional Cluster Analysis* adalah mengelompokkan fungsi/ kurva yang telah didapatkan pada tahap pertama. Adapun langkah-langkah untuk mengelompokkan fungsi/ kurva antara lain:

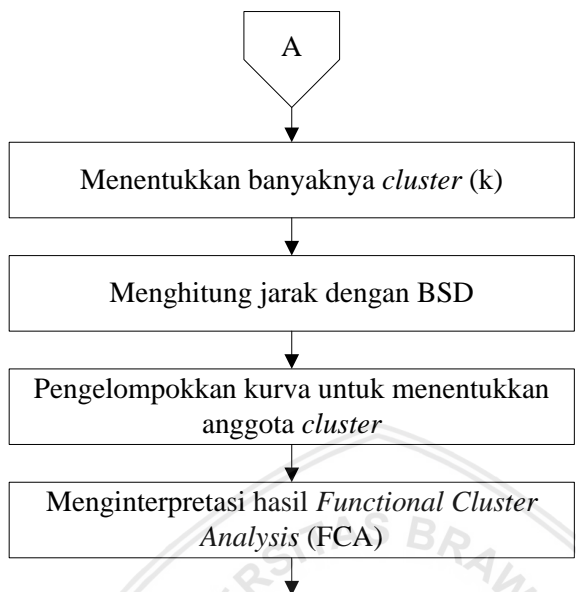
- a. Menentukan banyaknya *cluster* (k) yang akan dibentuk dengan melihat nilai BIC terbesar
- b. Menghitung jarak antara kurva dengan pusat kurva
Untuk menghitung jarak antara kurva tersebut dapat menggunakan *Between Segmen Distance* (BSD). Pengelompokan kurva untuk menentukan anggota *cluster* adalah dengan memperhitungkan jarak minimum kurva.
- c. Mengelompokkan kurva dengan pendekatan berbasis model dan mengestimasi parameter fungsi setiap *cluster* dengan algoritma EM
- d. Menginterpretasi hasil *Functional Cluster Analysis* (FCA) pada kabupaten/kota di Provinsi Jawa Timur berdasarkan indikator prioritas SDGs.

Pada pengelompokan fungsi/kurva dengan penerapan *Functional Cluster Analysis* (FCA) ini dibantu dengan menggunakan *software R*, yaitu *package funcy* dan metode *fitclust*.

3.4. Diagram Alir



Gambar 3.1. Diagram Alir FCA



BAB IV

HASIL DAN PEMBAHASAN

4.1. Statistika Deskriptif

Statistika deskriptif digunakan untuk memberikan informasi awal mengenai data secara umum. Penyajian berupa grafik atau tabel merupakan bentuk yang paling sering digunakan. Pada penelitian ini unit observasi yang digunakan adalah 38 kabupaten/kota di Jawa Timur tahun 2002 hingga 2017 yaitu selama 16 tahun sehingga banyaknya observasi dalam penelitian ini adalah 608 observasi. Variabel yang digunakan ada tiga yaitu persentase penduduk miskin, IPM, dan pertumbuhan ekonomi. Karakteristik dari variabel persentase penduduk miskin, IPM, dan pertumbuhan ekonomi pada 608 observasi dapat dilihat dari hasil statistika deskriptif meliputi nilai rata-rata, nilai minimum, dan nilai maksimum yang ditampilkan pada Tabel 4.1.

Tabel 4.1. Statistika Deskriptif untuk Variabel Persentase Penduduk, IPM, dan Pertumbuhan Ekonomi

Variabel	Rata-rata	Min	Max
Persentase Penduduk Miskin	16,20%	4,17%	41,78%
IPM	67,84	49,7	81,07
Pertumbuhan Ekonomi	14,06%	-12,3%	78,1%

Karakteristik Persentase penduduk miskin berdasarkan Tabel 4.1 dapat dilihat bahwa dalam periode waktu 2002 hingga 2017, sebagian besar persentase penduduk miskin di Jawa Timur adalah sebesar 16,20%. Persentase penduduk miskin terendah adalah 4,17% yang dicapai oleh Kota Malang pada tahun 2017. Sedangkan pada periode waktu yang sama, persentase penduduk miskin tertinggi sebesar 41,78% yang dicapai oleh Kabupaten Sampang pada tahun 2002.

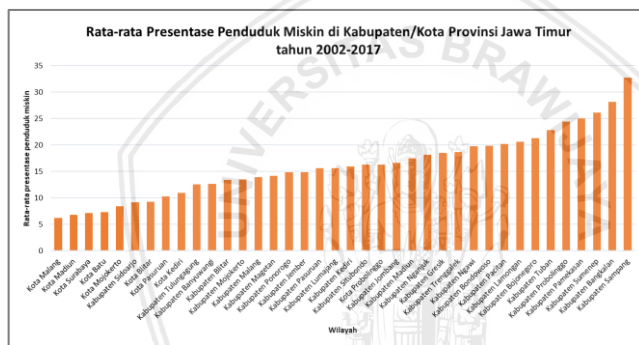
Karakteristik IPM berdasarkan Tabel 4.1 dapat dilihat bahwa dalam periode waktu 2002 hingga 2017, sebagian besar IPM di Jawa Timur sebesar 67,84. IPM tertinggi adalah 81,07 yang diraih oleh Kota Surabaya pada tahun 2017. Sedangkan IPM terendah diduduki oleh Kabupaten Sampang pada tahun 2002 sebesar 49,7.

Karakteristik pertumbuhan ekonomi berdasarkan Tabel 4.1 dapat dilihat bahwa dalam periode waktu 2002 hingga 2017, sebagian besar

pertumbuhan ekonomi di Jawa Timur adalah sebesar 14,06%. Pertumbuhan ekonomi tertinggi adalah sebesar 78,1% yang diraih oleh Kabupaten Bojonegoro pada tahun 2005. Sedangkan pada periode waktu yang sama, pertumbuhan ekonomi terendah adalah sebesar -12,3% yang diduduki oleh Kabupaten Bangkalan pada tahun 2015.

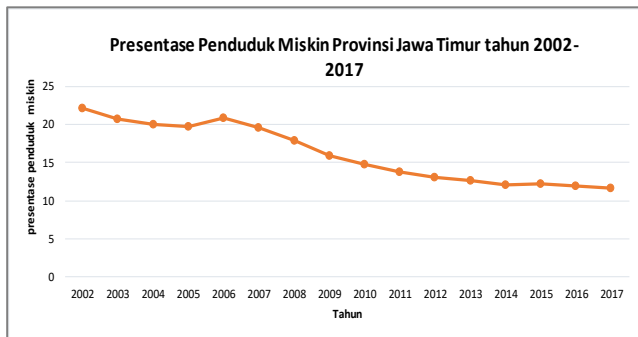
4.1.1. Persentase Penduduk Miskin

Persentase penduduk miskin adalah persentase penduduk yang berada dibawah Garis Kemiskinan. Persentase penduduk miskin menunjukkan proporsi penduduk miskin di suatu wilayah. Persentase penduduk miskin yang tinggi menunjukkan bahwa tingkat kemiskinan di suatu wilayah juga tinggi. Gambar 4.1 berikut adalah rata-rata persentase penduduk miskin dari tahun 2002 hingga 2017 untuk seluruh Kabupaten/kota Provinsi Jawa Timur.



Gambar 4.1. Rata-rata Persentase Penduduk Miskin pada tahun 2002 hingga 2017 di Kabupaten/kota Provinsi Jawa Timur

Dari Gambar 4.1 dapat dilihat bahwa rata-rata persentase penduduk miskin dari tahun 2002-2017 terendah diraih oleh Kota Malang dengan nilai 6,19% sedangkan persentase penduduk miskin tertinggi diduduki oleh Kabupaten Sampang dengan nilai 32,76%. Perkembangan persentase penduduk miskin di Provinsi Jawa Timur dari tahun 2002 hingga 2017 ditunjukkan pada Gambar 4.2 berikut.

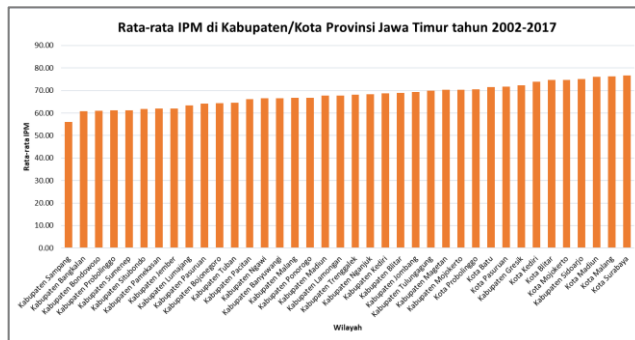


Gambar 4.2. Persentase Penduduk Miskin Jawa Timur tahun 2002 hingga 2017

Dari Gambar 4.2 dapat dilihat bahwa perkembangan persentase penduduk miskin di Jawa Timur mengalami penurunan dari tahun 2002 hingga 2005, namun pada tahun 2006 persentase penduduk miskin mengalami peningkatan dan pada tahun 2007 hingga 2017 persentase penduduk miskin kembali mengalami penurunan secara terus-menerus. persentase penduduk miskin tertinggi terjadi pada tahun 2002 yaitu sebesar 22,12 dan persentase penduduk miskin terendah terjadi pada tahun 2017 yaitu sebesar 11,63. Dengan demikian dapat disimpulkan bahwa perkembangan persentase penduduk miskin di Provinsi Jawa Timur dari tahun 2002 hingga 2017 semakin lama semakin membaik.

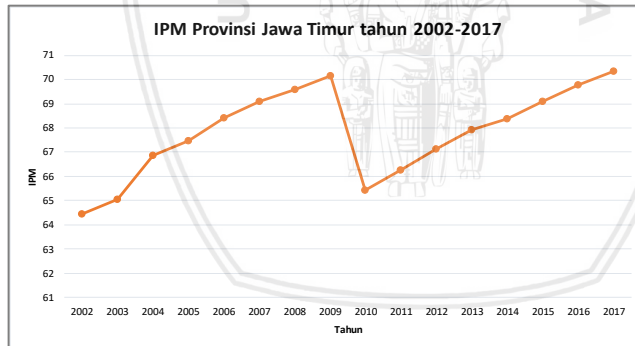
4.1.2. Indeks Pembangunan Manusia (IPM)

IPM merupakan indikator penting untuk mengukur keberhasilan dalam upaya membangun kualitas hidup manusia. IPM menjelaskan bagaimana penduduk dapat mengakses hasil pembangunan dalam memperoleh pendapatan, kesehatan, pendidikan, dan sebagainya. Gambar 4.3 berikut adalah rata-rata IPM dari tahun 2002 hingga 2017 untuk seluruh kabupaten/kota di Provinsi Jawa Timur.



Gambar 4.3. Rata-rata IPM pada tahun 2002 hingga 2017 di Kabupaten/kota Provinsi Jawa Timur

Dari Gambar 4.3 dapat dilihat bahwa rata-rata IPM dari tahun 2002 hingga 2017 tertinggi diraih oleh Kota Surabaya dengan nilai 76,65 dan urutan tertinggi kedua diraih oleh Kota Malang dengan nilai 76,65. Sedangkan IPM terendah diduduki oleh Kabupaten Sampang dengan nilai 55,98. Perkembangan IPM di Provinsi Jawa Timur dari tahun 2002 hingga 2017 dapat dilihat pada Gambar 4.4 berikut ini.



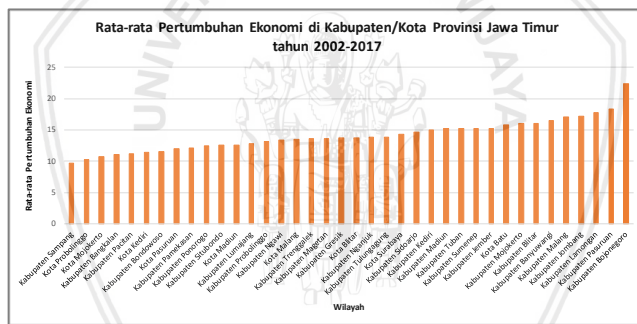
Gambar 4.4. IPM di Provinsi Jawa Timur tahun 2002-2017

Dari Gambar 4.4 dapat dilihat bahwa IPM di Provinsi Jawa Timur semakin meningkat pada periode 2002 hingga 2009. Namun pada tahun 2010 terjadi penurunan pada nilai rata-rata IPM, hal ini dikarenakan terjadi perubahan metode dan indikator yang digunakan untuk menghitung IPM. Pada perhitungan IPM dengan metode lama tahun

2002 hingga 2009 rata-rata IPM terendah terjadi pada tahun 2002 yaitu sebesar 64,45, sedangkan rata-rata IPM tertinggi terjadi pada tahun 2009 yaitu sebesar 70,14. Pada perhitungan IPM dengan metode baru tahun 2010 hingga 2017 rata-rata IPM terendah terjadi pada tahun 2010 yaitu sebesar 65,42 sedangkan rata-rata IPM tertinggi terjadi pada tahun 2017 yaitu sebesar 70,35. Dengan demikian dapat disimpulkan bahwa perkembangan kualitas hidup manusia di Provinsi Jawa Timur dari tahun 2002 hingga 2017 cenderung mengalami kenaikan.

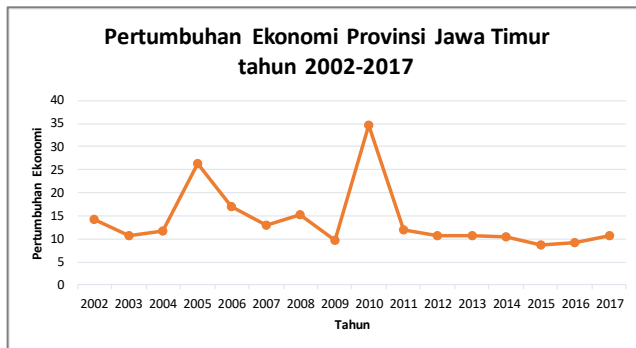
4.1.3. Pertumbuhan Ekonomi

Pertumbuhan ekonomi adalah kenaikan jangka panjang dalam kemampuan suatu negara untuk menyediakan semakin banyak jenis barang-barang ekonomi kepada penduduknya. Pertumbuhan ekonomi suatu bangsa terlihat dari meningkatnya secara terus-menerus persediaan barang. Gambar 4.5 berikut adalah rata-rata Pertumbuhan Ekonomi dari tahun 2002 hingga 2017 untuk seluruh kabupaten/kota di Provinsi Jawa Timur.



Gambar 4.5. Rata-rata Pertumbuhan Ekonomi pada tahun 2002 hingga 2017 di Kabupaten/kota Provinsi Jawa Timur

Dari Gambar 4.5 dapat dilihat bahwa rata-rata pertumbuhan ekonomi dari tahun 2002-2017 terendah diduduki oleh Kota Sampang dengan nilai 9,66% sedangkan pertumbuhan ekonomi tertinggi diraih oleh Kabupaten Bojonegoro dengan nilai 22,33%. Perkembangan pertumbuhan ekonomi di Provinsi Jawa Timur dari tahun 2002 hingga 2017 ditunjukkan pada Gambar 4.6 berikut.



Gambar 4.6. Pertumbuhan Ekonomi Jawa Timur tahun 2002 hingga 2017

Dari Gambar 4.6 dapat dilihat bahwa perkembangan pertumbuhan ekonomi di Jawa Timur dari tahun 2002 hingga 2017 tidak memiliki pola tertentu. Pertumbuhan ekonomi tertinggi terjadi pada tahun 2010 yaitu sebesar 34,76% dan pertumbuhan ekonomi terendah terjadi pada tahun 2015 yaitu sebesar 8,74%.

4.2. Pembentukan Fungsi Dasar Nonparametrik

Pada pembentukan fungsi dasar nonparametrik ini dilakukan pada seluruh kabupaten/kota untuk masing-masing variabel yang dapat dilihat di Lampiran 15, 16, dan 17, tetapi dalam pembahasan ini hanya mengambil beberapa kabupaten/kota saja, pemilihan kabupaten/kota dipertimbangkan dari nilai rata-rata kabupaten/kota paling rendah, sedang, dan paling tinggi.

Langkah awal yang dilakukan untuk membentuk fungsi dasar nonparametrik adalah menentukan fungsi *B-spline* yang terbaik. Pada proses *B-spline* sangat dipengaruhi oleh banyaknya *knot* dan parameter pemulus (λ) yang optimal. Parameter pemulus optimal (λ) dapat digunakan sebagai pengontrol keseimbangan antara kesesuaian kurva terhadap data dan kemulusan kurva. Parameter pemulus (λ) yang digunakan dalam penelitian ini ditentukan sebesar 5×10^{-4} . Pemilihan *knot* yang optimal dapat dilakukan dengan menggunakan metode *Generalized Cross Validation* (GCV). Penentuan titik *knot* dibatasi 1 sampai 4 dikarenakan hanya terjadi sedikit perubahan pola dari fungsi *spline* pada interval-interval yang berbeda. Berikut adalah nilai GCV

dari 1–4 *knot* dan derajat v *B-spline* pada variabel persentase penduduk miskin, IPM, dan pertumbuhan ekonomi dengan masing-masing dipilih 3 kabupaten/kota.

4.2.1. Persentase Penduduk Miskin

1. Kota Malang

Pada penentuan model *B-spline* ini akan dipilih derajat v dan banyaknya *knot* yang memiliki GCV paling minimum. Tabel 4.2 berikut adalah nilai GCV menurut banyaknya *knot*, letak *knot* dan derajat v pada fungsi *B-spline* persentase penduduk miskin Kota Malang yang akan digunakan untuk menentukan model *B-spline* terbaik.

Tabel 4.2. Nilai GCV menurut banyaknya *knot*, letak *knot* dan derajat v pada Fungsi Persentase Penduduk Miskin Kota Malang

<i>Knot</i>	$v=1$		$v=2$		$v=3$	
	Titik <i>knot</i>	GCV	Titik <i>knot</i>	GCV	Titik <i>knot</i>	GCV
1	0,187	0,178	0,199	1,214	0,290	0,208
2	0,196	0,174	0,282	0,140	0,428	0,168
	0,312		0,434		0,500	
3	0,192	0,031	0,374	0,119	0,125	0,164
	0,437		0,452		0,375	
	0,500		0,562		0,475	
4	0,192	0,033	0,375	0,130	0,125	0,158
	0,437		0,458		0,437	
	0,500		0,562		0,500	
	0,625		0,687		0,625	

Berdasarkan Tabel 4.2 diperoleh bahwa fungsi *B-spline* persentase penduduk miskin Kota Malang pada derajat 1 sebanyak 3 *knot* memiliki nilai GCV paling minimum, pada derajat 2 fungsi *B-spline* sebanyak 3 *knot* memiliki nilai GCV paling minimum, dan pada derajat 3 fungsi *B-spline* sebanyak 4 *knot* memiliki nilai GCV paling minimum.

Pada penelitian ini dipilih fungsi *B-spline* derajat 3 dengan 4 *knot*, karena fungsi *B-spline* mempunyai turunan kedua jika berderajat $v > 2$. Titik *knot* fungsi *B-spline* kubik pada persentase penduduk miskin Kota Malang terletak pada t sebesar 0,125, 0,437, 0,500, dan 0,625, dimana t sudah distandarisasi dari 0-1. Tabel 4.3 berikut adalah hasil estimasi

parameter fungsi *B-spline* ($v=3$ dan $knot=4$) persentase penduduk Kota Malang.

Tabel 4.3. Estimasi Parameter *B-spline* Persentase Penduduk Miskin Kota Malang

Parameter	Koefisien	Std.Error	t _{hitung}	p-value	Keterangan
Intersep	9,370	0,281	33,348	0,000	Signifikan
α_1	0,501	0,636	0,788	0,453	Tidak Signifikan
α_2	-4,404	0,792	-5,559	0,000	Signifikan
α_3	-0,343	0,602	-0,570	0,584	Tidak Signifikan
α_4	-3,914	0,431	-9,074	0,000	Signifikan
α_5	-3,792	0,629	-6,022	0,000	Signifikan
α_6	-5,109	0,599	-8,523	0,000	Signifikan
α_7	-5,161	0,386	-13,363	0,000	Signifikan

Berdasarkan Tabel 4.3 dapat diperoleh fungsi *B-spline* persentase penduduk miskin Kota Malang pada persamaan (4.1) berikut ini.

$$\hat{y} = 9,370B_0 + 0,501B_1 - 4,404B_2 - 0,343B_3 - 3914B_4 - 3,792B_5 \\ - 5,109B_6 - 5,161B_7 \quad (4.1)$$

dengan

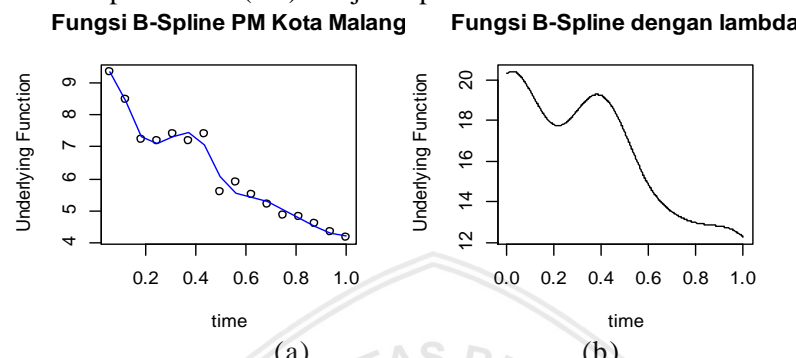
$$B_0 = B_{-3,4}(t), B_1 = B_{-2,4}(t), B_2 = B_{-1,4}(t), B_3 = B_{0,4}(t), B_4 = B_{1,4}(t), B_5 = B_{2,4}(t), \\ B_6 = B_{3,4}(t), B_7 = B_{4,4}(t)$$

Secara parsial estimasi untuk semua koefisien signifikan pada $\alpha=5\%$ kecuali koefisien pada basis $B_{-2,4}$ dan $B_{0,4}$, tetapi secara simultan sangat signifikan, hal tersebut dapat dilihat dari *p-value* statistika uji F pada Tabel 4.4.

Tabel 4.4. Kebaikan Model *B-spline* Persentase Penduduk Miskin Kota Malang

RSE	0,281
Adj R ²	0,9682
Statistika Uji F	66,15
<i>p-value</i>	1,886e-06

Model *B-spline* pada persentase penduduk miskin Kota Malang menghasilkan koefisien determinasi sebesar 96,82%, artinya model *B-spline* tersebut mampu menjelaskan variasi variabel persentase penduduk miskin Kota Malang sebesar 96,82%. Secara visual, *fitted value* dari persamaan (4.1) disajikan pada Gambar 4.7 berikut ini.



Gambar 4.7. Fungsi *B-spline* Persentase Penduduk Miskin di Kota Malang

Apabila fungsi *B-spline* pada Gambar 4.7a diberi pengontrol keseimbangan antara kesesuaian kurva terhadap data dan kemulusan kurva berupa parameter pemulus (λ) akan memberikan hasil kurva yang lebih halus seperti yang terlihat pada Gambar 4.7b. Dari fungsi *B-spline* persentase penduduk miskin Kota Malang tersebut dapat dihitung *Velocity* dari turunan pertama fungsi *B-spline* dan *Acceleration* dari turunan kedua fungsi *B-spline*.

2. Kabupaten Kediri

Nilai GCV menurut banyaknya *knot*, letak *knot* dan derajat v pada fungsi *B-spline* persentase penduduk miskin Kabupaten Kediri yang akan digunakan untuk menentukan model *B-spline* terbaik dapat dilihat pada Tabel 4.5 berikut ini.

Tabel 4.5. Nilai GCV menurut banyaknya knot, letak knot dan derajat v pada Fungsi Persentase Penduduk Miskin Kabupaten Kediri

Knot	$v=1$		$v=2$		$v=3$	
	Titik knot	GCV	Titik knot	GCV	Titik knot	GCV
1	0,375	1,293	0,593	1,205	0,312	0,947
2	0,437	0,691	0,302	0,383	0,437	0,480
	0,648		0,456		0,546	
3	0,198	0,239	0,140	0,200	0,186	0,1473
	0,418		0,250		0,307	
	0,602		0,456		0,589	
4	0,221	0,195	0,141	0,117	0,187	0,1472
	0,312		0,250		0,266	
	0,437		0,478		0,437	
	0,604		0,836		0,521	

Berdasarkan Tabel 4.5 diperoleh bahwa fungsi *B-spline* persentase penduduk miskin Kabupaten Kediri pada derajat 1 sebanyak 4 knot memiliki nilai GCV paling minimum, pada derajat 2 fungsi *B-spline* sebanyak 4 knot memiliki nilai GCV paling minimum, dan pada derajat 3 fungsi *B-spline* sebanyak 4 knot memiliki nilai GCV paling minimum.

Pada penelitian ini dipilih fungsi *B-spline* pada derajat 3 dengan 4 knot, karena fungsi *B-spline* mempunyai turunan kedua jika berderajat $v > 2$. Titik knot model *B-spline* kubik terletak pada t sebesar 0,187, 0,266, 0,437, dan 0,521, dimana t sudah distandarisasi dari 0-1. Hasil estimasi parameter *B-spline* ($v=3$ dan $knot=4$) persentase penduduk miskin Kabupaten Kediri dapat dilihat pada Tabel 4.6 berikut ini.

Tabel 4.6. Estimasi Parameter *B-spline* Persentase Penduduk Miskin Kabupaten Kediri

Parameter	Koefisien	Std.Error	t_{hitung}	p-value	Keterangan
Intersep	19,880	0,272	73,172	0,000	Signifikan
α_1	2,043	0,733	2,789	0,023	Signifikan
α_2	-4,224	0,606	-6,967	0,000	Signifikan
α_3	-0,840	0,545	-1,542	0,161	Tidak Signifikan

Parameter	Koefisien	Std.Error	t _{hitung}	p-value	Keterangan
α_4	0,476	0,441	1,078	0,312	Tidak Signifikan
α_5	-8,045	0,564	-14,255	0,000	Signifikan
α_6	-6,470	0,576	-11,235	0,000	Signifikan
α_7	-7,576	0,368	-20,577	0,000	Signifikan

Berdasarkan Tabel 4.6 dapat diperoleh fungsi *B-spline* persentase penduduk miskin Kabupaten Kediri pada persamaan (4.2) berikut ini.

$$\hat{y} = 19,880B_0 + 2,043B_1 - 4,224B_2 - 0,840B_3 + 0,476B_4 - 8,045B_5 - 6,470B_6 - 7,576B_7 \quad (4.2)$$

dengan

$$B_0 = B_{-3,4}(t), B_1 = B_{-2,4}(t), B_2 = B_{-1,4}(t), B_3 = B_{0,4}(t), B_4 = B_{1,4}(t), B_5 = B_{2,4}(t),$$

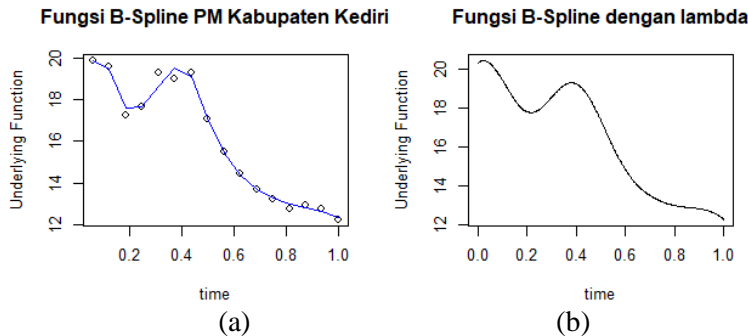
$$B_6 = B_{3,4}(t), B_7 = B_{4,4}(t)$$

Secara parsial estimasi untuk semua koefisien signifikan pada $\alpha=5\%$ kecuali koefisien pada basis $B_{0,4}$ dan $B_{1,4}$, tetapi secara simultan sangat signifikan, hal tersebut dapat dilihat dari *p-value* statistika uji F pada Tabel 4.7.

Tabel 4.7. Kebaikan Model *B-spline* Persentase Penduduk Miskin Kabupaten Kediri

RSE	0,2717
Adj R ²	0,9911
Statistika uji F	239,4
<i>p-value</i>	1,183e-08

Model *B-spline* pada Persentase penduduk miskin Kabupaten Kediri menghasilkan koefisien determinasi sebesar 99,11%, artinya model *B-spline* tersebut mampu menjelaskan variasi variabel persentase penduduk miskin sebesar 99,11%. Secara visual, *fitted value* dari persamaan 4.2 disajikan pada Gambar 4.8 berikut ini.



Gambar 4.8. Fungsi *B-spline* Persentase Penduduk Miskin di Kabupaten Kediri

Dari Gambar 4.8a dapat dilihat bahwa titik knot model *B-spline* kubik terletak pada t sebesar 0,187, 0,266, 0,437, dan 0,521 dan model masih terlihat kasar. Apabila fungsi *B-spline* diberi pengontrol keseimbangan antara kesesuaian kurva terhadap data dan kemulusan kurva berupa parameter pemulus (λ) akan memberikan hasil kurva yang lebih halus seperti yang terlihat pada Gambar 4.8b.

3. Kabupaten Sampang

Nilai GCV menurut banyaknya *knot*, letak *knot* dan derajat v pada fungsi *B-spline* persentase penduduk miskin Kabupaten Sampang yang akan digunakan untuk menentukan model *B-spline* terbaik dapat dilihat pada Tabel 4.8 berikut ini.

Tabel 4.8. Nilai GCV menurut banyaknya knot, letak knot dan derajat v pada Fungsi Persentase Penduduk Miskin Kabupaten Sampang

Knot	v=1		v=2		v=3	
	Titik knot	GCV	Titik knot	GCV	Titik knot	GCV
1	0,313	4,505	0,497	3,806	0,188	4,239
2	0,437	1,044	0,264	2,838	0,435	2,860
	0,500		0,446		0,500	
3	0,125	0,774	0,375	2,258	0,437	3,163
	0,437		0,462		0,500	
	0,500		0,563		0,625	
4	0,125	0,738	0,125	2,612	0,312	3,718

Knot	v=1		v=2		v=3	
	Titik knot	GCV	Titik knot	GCV	Titik knot	GCV
0,437			0,375		0,437	
			0,465		0,500	
			0,563		0,625	

Berdasarkan Tabel 4.8 diperoleh bahwa fungsi *B-spline* persentase penduduk miskin Kabupaten Sampang pada derajat 1 sebanyak 4 *knot* memiliki nilai GCV paling minimum, pada derajat 2 fungsi *B-spline* sebanyak 3 *knot* memiliki nilai GCV paling minimum, dan pada derajat 3 fungsi *B-spline* sebanyak 2 *knot* memiliki nilai GCV paling minimum.

Pada penelitian ini dipilih fungsi *B-spline* pada derajat 3 dengan 2 *knot*, karena fungsi *B-spline* mempunyai turunan kedua jika berderajat $v > 2$. Titik *knot* model *B-spline* kubik terletak pada t sebesar 0,435, dan 0,500, dimana t sudah distandarisasikan dari 0-1. Tabel 4.9 berikut hasil estimasi parameter *B-spline* ($v=3$ dan $knot=2$) persentase penduduk miskin Kabupaten Sampang.

Tabel 4.9. Estimasi Parameter *B-spline* Persentase Penduduk Miskin Kabupaten Sampang

Parameter	Koefisien	Std.Error	t_{hitung}	p-value	Keterangan
Intersep	41,742	1,260	33,132	0,000	Signifikan
α_1	-6,587	3,211	-2,052	0,067	Tidak Signifikan
α_2	4,519	2,059	2,195	0,053	Tidak Signifikan
α_3	-17,104	2,563	-6,674	0,000	Signifikan
α_4	-14,244	2,638	-5,399	0,000	Signifikan
α_5	-18,470	1,767	-10,454	0,000	Signifikan

Berdasarkan Tabel 4.9 dapat diperoleh fungsi *B-spline* persentase penduduk miskin Kabupaten Sampang sebagai berikut.

$$\hat{y} = 41,742B_0 - 6,587B_1 + 4,519B_2 - 17,104B_3 - 14,244B_4 - 18,470B_5 \quad (4.3)$$

dengan

$$B_0 = B_{-3,4}(t), B_1 = B_{-2,4}(t), B_2 = B_{-1,4}(t), B_3 = B_{0,4}(t), B_4 = B_{1,4}(t), B_5 = B_{2,4}(t)$$

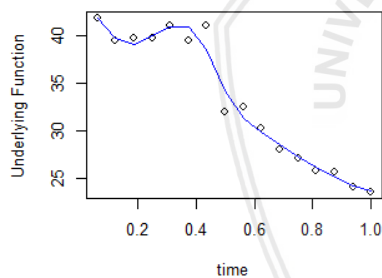
Secara parsial estimasi untuk semua koefisien signifikan pada $\alpha=5\%$ kecuali koefisien pada basis $B_{-2,4}$ dan $B_{-1,4}$, tetapi secara simultan sangat signifikan, hal tersebut dapat dilihat dari p -value statistika uji F pada Tabel 4.10.

Tabel 4.10. Kebaikan model *B-spline* Persentase Penduduk Miskin Kabupaten Sampang

RSE	1,337
<i>Adj R</i> ²	0,9628
Statistika Uji F	78,65
<i>p</i> -value	1,066e-07

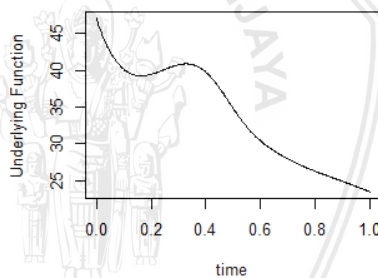
Model *B-spline* pada persentase penduduk miskin Kabupaten Sampang menghasilkan koefisien determinasi sebesar 96,28%, artinya model *B-spline* tersebut mampu menjelaskan variasi variabel persentase penduduk miskin Kabupaten Sampang sebesar 96,28%. Secara visual, *fitted value* dari persamaan 4.3 disajikan pada gambar 4.9 berikut ini.

Fungsi B-Spline PM Kabupaten Sampang



(a)

Fungsi B-Spline dengan lambda



(b)

Gambar 4.9. Fungsi *B-spline* Persentase Penduduk Miskin di Kabupaten Sampang

Apabila fungsi *B-spline* pada Gambar 4.9a diberi pengontrol keseimbangan antara kesesuaian kurva terhadap data dan kemulusan kurva berupa parameter pemulus (λ) akan memberikan hasil kurva yang lebih halus seperti yang terlihat pada Gambar 4.9b.

Kurva model *B-spline* dari kabupaten/kota di Jawa Timur untuk persentase Penduduk Miskin secara keseluruhan dapat dilihat di Lampiran 15. Secara umum kurva yang mewakili kabupaten/kota menunjukkan tren yang menurun dari tahun ke tahun.

4.2.2. IPM

1. Kabupaten Sampang

Nilai GCV menurut banyaknya *knot*, letak *knot* dan derajat v pada fungsi *B-spline* IPM Kabupaten Sampang yang akan digunakan untuk menentukan model *B-spline* terbaik dapat dilihat pada Tabel 4.11 berikut ini.

Tabel 4.11. Nilai GCV menurut banyaknya knot, letak knot dan derajat v pada Fungsi IPM Kabupaten Sampang

Knot	$v=1$		$v=2$		$v=3$	
	Titik <i>knot</i>	GCV	Titik <i>knot</i>	GCV	Titik <i>knot</i>	GCV
1	0,266	2,235	0,523	0,974	0,807	1,463
2	0,487	0,385	0,562	0,905	0,499	0,912
	0,566		0,658		0,562	
3	0,205	0,104	0,437	0,499	0,375	0,988
	0,499		0,535		0,488	
	0,566		0,625		0,562	
4	0,205	0,094	0,312	0,507	0,375	0,818
	0,499		0,437		0,499	
	0,562		0,528		0,562	
	0,812		0,625		0,687	

Berdasarkan Tabel 4.11 diperoleh bahwa fungsi *B-spline* IPM Kabupaten Sampang pada derajat 1 sebanyak 4 *knot* memiliki nilai GCV paling minimum, pada derajat 2 fungsi *B-spline* sebanyak 3 *knot* memiliki nilai GCV paling minimum, dan pada derajat 3 fungsi *B-spline* sebanyak 4 *knot* memiliki nilai GCV paling minimum.

Pada penelitian ini dipilih fungsi *B-spline* pada derajat 3 dengan 4 *knot*, karena fungsi *B-spline* mempunyai turunan kedua jika berderajat $v > 2$. Titik *knot* fungsi *B-spline* kubik pada IPM Kota Surabaya terletak pada t sebesar 0,375, 0,499, 0,562, dan 0,687. Tabel 4.12 berikut adalah hasil estimasi parameter *B-spline* ($v=3$ dan $knot=4$) IPM Kabupaten Sampang.

Tabel 4.12. Estimasi Parameter *B-spline* IPM Kabupaten Sampang

Parameter	Koefisien	Std.Error	t _{hitung}	p-value	Keterangan
Intersep	49,420	0,616	80,149	0,000	Signifikan
α_1	4,854	1,600	3,034	0,016	Signifikan
α_2	5,999	1,378	4,354	0,002	Signifikan
α_3	10,126	1,100	9,204	0,000	Signifikan
α_4	4,130	1,028	4,017	0,003	Signifikan
α_5	7,796	1,517	5,138	0,001	Signifikan
α_6	8,419	1,382	6,092	0,000	Signifikan
α_7	10,589	0,873	12,121	0,000	Signifikan

Berdasarkan Tabel 4.12 dapat diperoleh fungsi *B-spline* IPM Kabupaten Sampang sebagai berikut.

$$\hat{y} = 49,420B_0 + 4,854B_1 + 5,999B_2 + 10,126B_3 + 4,130B_4 + 7,796B_5 + 8,419B_6 + 10,589B_7 \quad (4.4)$$

dengan

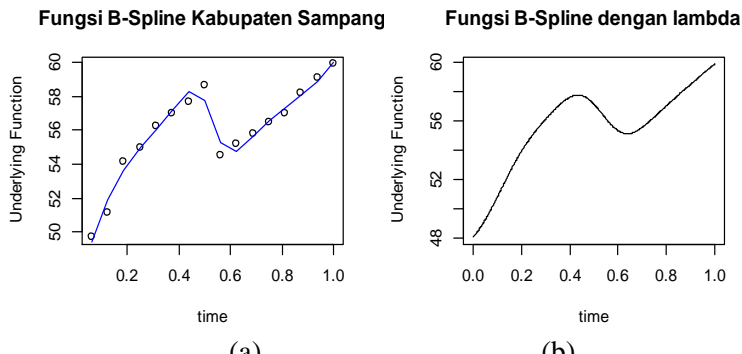
$$B_0 = B_{-3,4}(t), B_1 = B_{-2,4}(t), B_2 = B_{-1,4}(t), B_3 = B_{0,4}(t), B_4 = B_{1,4}(t), B_5 = B_{2,4}(t), \\ B_6 = B_{3,4}(t), B_7 = B_{4,4}(t)$$

Dari Tabel 4.12. Secara parsial estimasi untuk semua koefisien signifikan pada $\alpha=5\%$ dan dari Tabel 4.13 dapat dilihat bahwa secara simultan koefisien basis tersebut sangat signifikan.

Tabel 4.13. Kebaikan model *B-spline* IPM Kabupaten Sampang

RSE	0,640
Adj R ²	0,9454
Statistika Uji F	38,08
p-value	1,594e-05

Berdasarkan Tabel 4.13 dapat dilihat bahwa model *B-spline* pada IPM Kabupaten Sampang menghasilkan koefisien determinasi sebesar 94,54%, artinya model *B-spline* tersebut mampu menjelaskan variasi variabel IPM Kabupaten Sampang sebesar 94,54%. Secara visual, *fitted value* dari persamaan 4.4 disajikan pada gambar 4.10 berikut ini.



Gambar 4.10. Fungsi B-spline IPM di Kabupaten Sampang

Apabila fungsi *B-spline* pada Gambar 4.10a diberi pengontrol keseimbangan antara kesesuaian kurva terhadap data dan kemulusan kurva berupa parameter pemulus (λ) akan memberikan hasil kurva yang lebih halus seperti yang terlihat pada Gambar 4.10b.

2. Kabupaten Nganjuk

Nilai GCV menurut banyaknya *knot*, letak *knot* dan derajat v pada fungsi *B-spline* IPM Kabupaten Nganjuk yang akan digunakan untuk menentukan model *B-spline* terbaik dapat dilihat pada Tabel 4.14 berikut ini.

Tabel 4.14. Nilai GCV menurut banyaknya knot, letak knot dan derajat v pada Fungsi IPM Kabupaten Nganjuk

Knot	v=1		v=2		v=3	
	Titik knot	GCV	Titik knot	GCV	Titik knot	GCV
1	0,266	2,262	0,503	1,677	0,714	2,044
2	0,491	0,256	0,562	1,219	0,498	1,249
	0,562		0,643		0,562	
3	0,492	0,0982	0,437	0,402	0,4999	0,998
	0,567		0,530		0,588	
	0,720		0,625		0,687	
4	0,187	0,065	0,437	0,362	0,374	0,618
	0,496		0,539		0,499	
	0,567		0,625		0,562	
	0,721		0,750		0,687	

Berdasarkan Tabel 4.14 diperoleh bahwa fungsi *B-spline* IPM Kabupaten Nganjuk pada derajat 1 sebanyak 4 *knot* memiliki nilai GCV paling minimum, pada derajat 2 fungsi *B-spline* sebanyak 4 *knot* memiliki nilai GCV paling minimum, dan pada derajat 3 fungsi *B-spline* sebanyak 4 *knot* memiliki nilai GCV paling minimum.

Pada penelitian ini dipilih fungsi *B-spline* pada derajat 3 dengan 4 *knot*, karena fungsi *B-spline* mempunyai turunan kedua jika berderajat $v > 2$. Titik *knot* fungsi *B-spline* kubik pada IPM Kota Surabaya terletak pada t sebesar 0,372, 0,499, 0,562, dan 0,687, dimana t sudah distandarisasikan dari 0-1. Tabel 4.15 berikut adalah hasil estimasi parameter *B-spline* ($v=3$ dan $knot=4$) IPM Kabupaten Nganjuk.

Tabel 4.15. Estimasi Parameter *B-spline* IPM Kabupaten Nganjuk

Parameter	Koefisien	Std.Error	t _{hitung}	p-value	Keterangan
Intersep	64,497	0,5352	120,513	0,000	Signifikan
α_1	2,643	1,3878	1,904	0,093	Tidak Signifikan
α_2	2,917	1,1964	2,439	0,041	Tidak Signifikan
α_3	7,189	0,9552	7,526	0,000	Signifikan
α_4	-0,525	0,8921	-0,588	0,572	Tidak Signifikan
α_5	6,904	1,3178	5,239	0,001	Signifikan
α_6	4,777	1,200	3,981	0,004	Signifikan
α_7	6,322	0,7584	8,336	0,000	Signifikan

Berdasarkan Tabel 4.15 dapat diperoleh fungsi *B-spline* IPM Kabupataen Nganjuk sebagai berikut.

$$\hat{y} = 64,497B_0 + 2,643B_1 + 2,917B_2 + 7,189B_3 - 0,525B_4 + 6,904B_5 + 4,777B_6 + 6,322B_7 \quad (4.5)$$

dengan

$$B_0 = B_{-3,4}(t), B_1 = B_{-2,4}(t), B_2 = B_{-1,4}(t), B_3 = B_{0,4}(t), B_4 = B_{1,4}(t), B_5 = B_{2,4}(t),$$

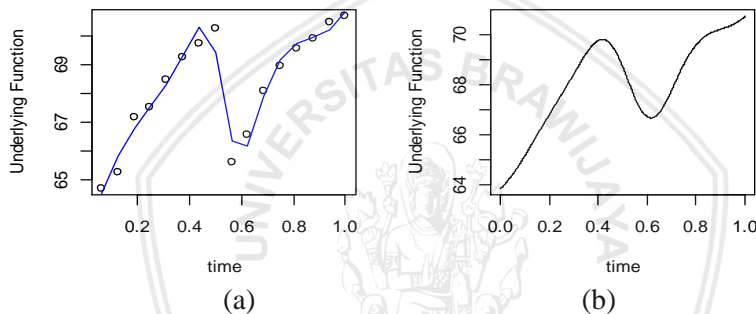
$$B_6 = B_{3,4}(t), B_7 = B_{4,4}(t)$$

Secara parsial estimasi untuk semua koefisien signifikan pada $\alpha=5\%$ kecuali koefisien pada basis $B_{-2,4}$, $B_{-1,4}$, dan $B_{1,4}$ tetapi secara simultan sangat signifikan, hal tersebut dapat dilihat dari *p-value* pada Tabel 4.16.

Tabel 4.16. Kebaikan model *B-spline* IPM Kabupaten Nganjuk

RSE	0,5559
Adj R ²	0,918
Statistika uji F	24,98
p-value	7,865e-05

Berdasarkan Tabel 4.16 dapat dilihat bahwa model *B-spline* pada IPM Kabupaten Nganjuk menghasilkan koefisien determinasi sebesar 91,80%, artinya model *B-spline* tersebut mampu menjelaskan variasi variabel IPM Kabupaten Nganjuk sebesar 94,54%. Secara visual, *fitted value* dari persamaan 4.5 disajikan pada gambar 4.11 berikut ini.

Fungsi B-Spline Kabupaten Nganju **Fungsi B-Spline dengan lambda****Gambar 4.11.** Fungsi *B-spline* IPM di Kabupaten Nganjuk

Apabila fungsi *B-spline* pada Gambar 4.11a diberi pengontrol keseimbangan antara kesesuaian kurva terhadap data dan kemulusan kurva berupa parameter pemulus (λ) akan memberikan hasil kurva yang lebih halus seperti yang terlihat pada Gambar 4.11b.

3. Kota Surabaya

Nilai GCV menurut banyaknya *knot*, letak *knot* dan derajat v pada fungsi *B-spline* IPM Kota Surabaya yang akan digunakan untuk menentukan model *B-spline* terbaik dapat dilihat pada Tabel 4.17 berikut ini.

Tabel 4.17. Nilai GCV menurut banyaknya knot, letak knot dan derajat v pada Fungsi IPM Kota Surabaya

Knot	$v=1$		$v=2$		$v=3$	
	Titik knot	GCV	Titik knot	GCV	Titik knot	GCV
1	0,2783	0,421	0,589	0,479	0,125	0,251
2	0,125	0,190	0,125	0,066	0,125	0,023
	0,250		0,250		0,250	
3	0,125	0,168	0,125	0,043	0,125	0,00862
	0,250		0,250		0,250	
	0,853		0,760		0,375	
4	0,125	0,201	0,125	0,033	0,125	0,00865
	0,250		0,250		0,250	
	0,500		0,375		0,375	
	0,843		0,500		0,874	

Berdasarkan Tabel 4.17 diperoleh bahwa fungsi *B-spline* IPM Kota Surabaya pada derajat 1 sebanyak 3 *knot* memiliki nilai GCV paling minimum, pada derajat 2 fungsi *B-spline* sebanyak 4 *knot* memiliki nilai GCV paling minimum, dan pada derajat 3 fungsi *B-spline* sebanyak 3 *knot* memiliki nilai GCV paling minimum.

Pada penelitian ini dipilih fungsi *B-spline* pada derajat 3 dengan 3 *knot*, karena fungsi *B-spline* mempunyai turunan kedua jika berderajat $v > 2$. Titik *knot* fungsi *B-spline* kubik pada IPM Kota Surabaya terletak pada t sebesar 0,125, 0,250 dan 0,375, dimana t sudah distandarisasi dari 0-1. Tabel 4.18 berikut adalah hasil estimasi parameter *B-spline* ($v=3$ dan $knot=3$) IPM Kota Surabaya.

Tabel 4.18. Estimasi Parameter *B-spline* IPM Kota Surabaya

Parameter	Koefisien	Std.Error	t_{hitung}	p-value	Keterangan
Intersep	72,00	0,069	1033,7	0,000	Signifikan
α_1	-6,138	0,264	-23,21	0,000	Signifikan
α_2	2,249	0,188	11,92	0,000	Signifikan
α_3	2,393	0,114	20,95	0,000	Signifikan
α_4	5,847	0,149	39,20	0,000	Signifikan
α_5	5,899	0,141	41,69	0,000	Signifikan
α_6	9,125	0,092	98,89	0,000	Signifikan

Berdasarkan Tabel 4.18 dapat diperoleh fungsi *B-spline* IPM Kota Surabaya sebagai berikut.

$$\hat{y} = 72,00B_0 - 6,138B_1 + 2,249B_2 + 2,393B_3 + 5,847B_4 + 5,899B_5 + 9,125B_6 \quad (4.6)$$

dengan

$$B_0 = B_{-3,4}(t), B_1 = B_{-2,4}(t), B_2 = B_{-1,4}(t), B_3 = B_{0,4}(t), B_4 = B_{1,4}(t), B_5 = B_{2,4}(t)$$

$$B_6 = B_{3,4}(t)$$

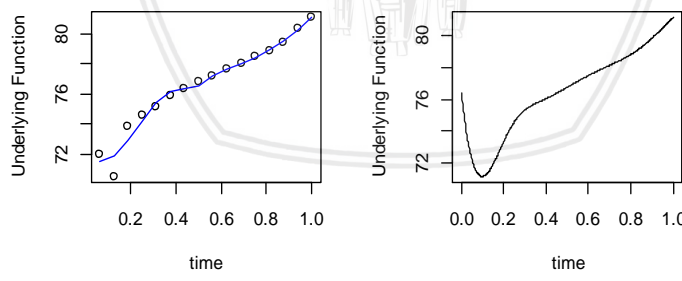
Dari Tabel 4.18 dapat dilihat bahwa secara parsial estimasi untuk semua koefisien signifikan pada $\alpha=5\%$ dan dari *p-value* statistika uji F pada Tabel 4.19 menunjukkan bahwa secara simultan semua koefisien sangat signifikan.

Tabel 4.19. Kebaikan model *B-spline* IPM Kota Surabaya

RSE	0.0696
Adj R ²	0.9994
Statistika uji F	38,08
<i>p-value</i>	4,622e-15

Berdasarkan Tabel 4.19 dapat dilihat bahwa model *B-spline* pada IPM Kota Surabaya menghasilkan koefisien determinasi sebesar 99,94%, artinya model *B-spline* tersebut mampu menjelaskan variasi variabel IPM Kota Surabaya sebesar 99,94%. Secara visual, *fitted value* dari persamaan 4.6 disajikan pada gambar 4.12 berikut ini.

Fungsi B-Spline Kota Surabaya Fungsi B-Spline dengan lambda



Gambar 4.12. Fungsi *B-spline* IPM di Kota Surabaya

Apabila fungsi *B-spline* pada Gambar 4.12a diberi pengontrol keseimbangan antara kesesuaian kurva terhadap data dan kemulusan

kurva berupa parameter pemulus (λ) akan memberikan hasil kurva yang lebih halus seperti yang terlihat pada Gambar 4.12b.

Kurva model *B-spline* dari kabupaten/kota Jawa Timur untuk variabel IPM secara keseluruhan dapat dilihat di Lampiran 18. Secara umum kurva yang mewakili kabupaten/kota menunjukkan tren yang menurun dari tahun ke tahun.

4.2.3. Pertumbuhan Ekonomi

1. Kabupaten Sampang

Nilai GCV menurut banyaknya *knot*, letak *knot* dan derajat v pada fungsi *B-spline* pertumbuhan ekonomi Kabupaten Sampang yang akan digunakan untuk menentukan model *B-spline* terbaik dapat dilihat pada Tabel 4.20 berikut ini.

Tabel 4.20. Nilai GCV menurut banyaknya knot, letak knot dan derajat v pada Fungsi *B-spline* Pertumbuhan Ekonomi Kabupaten Sampang

<i>Knot</i>	$v=1$		$v=2$		$v=3$	
	<i>Titik knot</i>	GCV	<i>Titik knot</i>	GCV	<i>Titik knot</i>	GCV
1	0,562	63,006	0,281	77,61	0,582	80.23
2	0,499	57,695	0,536	69,05	0,749	89.626
	0,562		0,625		0,874	
3	0,499	41,656	0,437	79,31	0,499	101.405
	0,562		0,517		0,562	
	0,687		0,625		0,687	
4	0,249	48,015	0,437	90,66	0,374	119.941
	0,499		0,523		0,493	
	0,562		0,625		0,562	
	0,687		0,750		0,687	

Berdasarkan Tabel 4.20 diperoleh bahwa fungsi *B-spline* pertumbuhan ekonomi Kabupaten Sampang pada derajat 1 sebanyak 3 *knot* memiliki nilai GCV paling minimum, pada derajat 2 fungsi *B-spline* sebanyak 2 *knot* memiliki nilai GCV paling minimum, dan pada derajat 3 fungsi *B-spline* sebanyak 1 *knot* memiliki nilai GCV paling minimum.

Pada penelitian ini dipilih fungsi *B-spline* pada derajat 3 dengan 1 *knot*, karena fungsi *B-spline* mempunyai turunan kedua jika berderajat 52

$v > 2$. Titik *knot* fungsi *B-spline* kubik pada IPM Kota Surabaya terletak pada t sebesar 0,582, dimana t sudah distandarisasikan dari 0-1. Tabel 4.21 berikut adalah hasil estimasi parameter *B-spline* ($v=3$ dan *knot*=1).

Tabel 4.21. Estimasi Parameter *B-spline* IPM Kota Surabaya

Parameter	Koefisien	Std.Error	t _{hitung}	p-value	Keterangan
Intersep	13,736	6,496	2,115	0,058	Tidak Signifikan
α_1	-18,66	14,888	-1,253	0,236	Tidak Signifikan
α_2	23,683	13,802	1,716	0,114	Tidak Signifikan
α_3	-17,947	12,761	-1,406	0,187	Tidak Signifikan
α_4	-8,075	9,056	-0,892	0,391	Tidak Signifikan

Berdasarkan Tabel 4.21 dapat diperoleh fungsi *B-spline* pertumbuhan ekonomi Kabupaten Sampang sebagai berikut.

$$\hat{y} = 13,736B_0 - 18,66B_1 + 23,683B_2 - 17,947B_3 - 8,075B_4 \quad (4.7)$$

dengan

$$B_0 = B_{-3,4}(t), B_1 = B_{-2,4}(t), B_2 = B_{-1,4}(t), B_3 = B_{0,4}(t), B_4 = B_{1,4}(t)$$

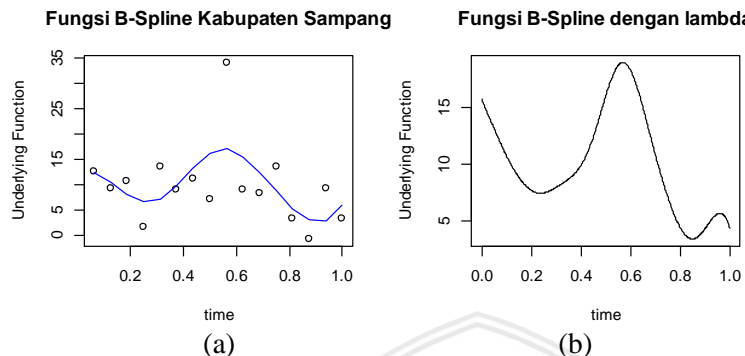
Dari Tabel 4.21 dapat dilihat bahwa secara parsial estimasi untuk semua koefisien tidak signifikan pada $\alpha=5\%$ dan dari *p-value* statistika uji F pada Tabel 4.22 dapat dilihat bahwa secara simultan juga tidak signifikan.

Tabel 4.22. Kebaikan model *B-spline* pertumbuhan ekonomi Kabupaten Sampang

RSE	7,427
Adj R ²	0,08
Statistika Uji F	1,326
<i>p-value</i>	0,3202

Berdasarkan Tabel 4.22 dapat dilihat bahwa model *B-spline* pada pertumbuhan ekonomi Kabupaten Sampang menghasilkan koefisien determinasi sebesar 8%, artinya model *B-spline* tersebut hanya mampu

menjelaskan variasi variabel pertumbuhan ekonomi Kabupaten Sampang sebesar 8%. Secara visual, *fitted value* dari persamaan 4.7 disajikan pada gambar 4.13 berikut ini.



Gambar 4.13. Fungsi *B-spline* Pertumbuhan Ekonomi Kabupaten Sampang

Apabila fungsi *B-spline* pada Gambar 4.13a diberi pengontrol keseimbangan antara kesesuaian kurva terhadap data dan kemulusan kurva berupa parameter pemulus (λ) akan memberikan hasil kurva yang lebih halus seperti yang terlihat pada Gambar 4.13b.

2. Kota Blitar

Pada penentuan model *B-spline* ini akan dipilih derajat v dan banyaknya *knot* yang memiliki GCV paling minimum. Tabel 4.23 berikut adalah nilai GCV menurut banyaknya *knot*, letak *knot* dan derajat v pada fungsi *B-spline* pertumbuhan ekonomi Kota Blitar yang akan digunakan untuk menentukan model *B-spline* terbaik.

Tabel 4.23. Nilai GCV menurut banyaknya knot, letak knot dan derajat v pada Fungsi Pertumbuhan ekonomi Kota Blitar

Knot	$v=1$		$v=2$		$v=3$	
	Titik <i>knot</i>	GCV	Titik <i>knot</i>	GCV	Titik <i>knot</i>	GCV
1	0,562	212.00	0.298	261.163	0.553	282.15
2	0.499	198.14	0.499	229.307	0.625	312.87
	0.562		0.590		0.687	
3	0.499	105.791	0.543	219.058	0.499	286.77
	0.562		0.625		0.562	
	0.687		0.750		0.687	

Knot	<i>v=1</i>		<i>v=2</i>		<i>v=3</i>	
	Titik <i>knot</i>	GCV	Titik <i>knot</i>	GCV	Titik <i>knot</i>	GCV
4	0.249	111,212	0.437	230.919	0.499	331.79
	0.499		0.523		0.562	
	0.562		0.625		0.687	
	0.687		0.750		0.812	

Berdasarkan Tabel 4.23 diperoleh bahwa fungsi *B-spline* pertumbuhan ekonomi Kota Blitar pada derajat 1 sebanyak 3 *knot* memiliki nilai GCV paling minimum, pada derajat 2 fungsi *B-spline* sebanyak 3 *knot* memiliki nilai GCV paling minimum, dan pada derajat 3 fungsi *B-spline* sebanyak 1 *knot* memiliki nilai GCV paling minimum.

Pada penelitian ini dipilih fungsi *B-spline* derajat 3 dengan 1 *knot*, karena fungsi *B-spline* mempunyai turunan kedua jika berderajat $v > 2$. Titik *knot* fungsi *B-spline* kubik pada pertumbuhan ekonomi Kota Blitar terletak pada t sebesar 0,553, dimana t sudah distandarisasi dari 0-1. Tabel 4.24 berikut adalah hasil estimasi parameter fungsi *B-spline* ($v=3$ dan $knot=1$) pertumbuhan ekonomi Kota Blitar.

Tabel 4.24. Estimasi Parameter *B-spline* Pertumbuhan ekonomi Kota Blitar

Parameter	Koefisien	Std.Error	<i>t_{hitung}</i>	<i>p-value</i>	Keterangan
Intersep	18,41	12,27	1,501	0,162	Tidak Signifikan
α_1	-31,41	27,52	-1,142	0,278	Tidak Signifikan
α_2	41,32	25,99	1,589	0,14	Tidak Signifikan
α_3	-23,8	24,27	-0,98	0,348	Tidak Signifikan
α_4	-10,35	16,97	-0,61	0,554	Tidak Signifikan

Berdasarkan Tabel 4.24 dapat diperoleh fungsi *B-spline* pertumbuhan ekonomi Kota Blitar pada persamaan (4.8) berikut ini.

$$\hat{y} = 18,41B_0 - 31,41B_1 + 41,32B_2 - 23,8B_3 - 10,35B_4 \quad (4.8)$$

dengan

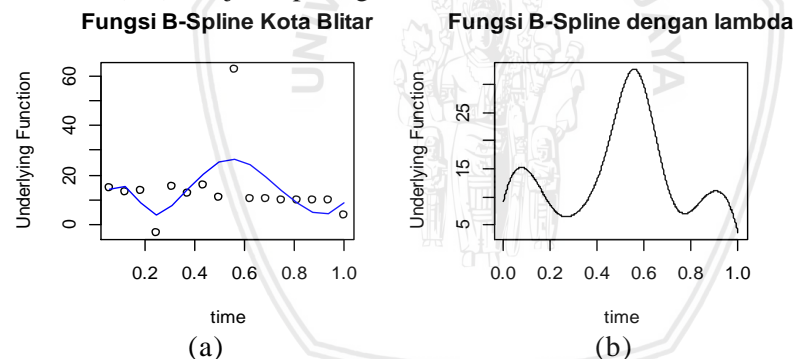
$$B_0 = B_{-3,4}(t), B_1 = B_{-2,4}(t), B_2 = B_{-1,4}(t), B_3 = B_{0,4}(t), B_4 = B_{1,4}(t)$$

Berdasarkan Tabel 4.24 dapat dilihat bahwa secara parsial estimasi untuk semua koefisien tidak signifikan pada $\alpha=5\%$ dan dari p -value statistika uji F pada Tabel 4.25 dapat dilihat bahwa model *B-spline* secara simultan juga tidak signifikan.

Tabel 4.25. Kebaikan Model *B-spline* Pertumbuhan ekonomi Kota Blitar

RSE	13,93
<i>Adj R</i> ²	0,003
Statistika uji F	0,987
<i>p</i> -value	0,454

Model *B-spline* pada pertumbuhan ekonomi Kota Blitar menghasilkan koefisien determinasi sebesar 0,3%, artinya model *B-spline* tersebut mampu menjelaskan variasi variabel pertumbuhan ekonomi Kota Blitar sebesar 0,3%. Secara visual, *fitted value* dari persamaan (4.8) disajikan pada gambar 4.14 berikut ini.



Gambar 4.14. Fungsi *B-spline* Pertumbuhan ekonomi di Kota Blitar

Apabila fungsi *B-spline* pada Gambar 4.14a diberi pengontrol keseimbangan antara kesesuaian kurva terhadap data dan kemulusan kurva berupa parameter pemulus (λ) akan memberikan hasil kurva yang lebih halus seperti yang terlihat pada Gambar 4.14b. Dari fungsi *B-spline* pertumbuhan ekonomi Kota Blitar tersebut dapat dihitung *Velocity* dari turunan pertama fungsi *B-spline* dan *Acceleration* dari turunan kedua fungsi *B-spline*.

3. Kabupaten Bojonegoro

Nilai GCV menurut banyaknya *knot*, letak *knot* dan derajat *v* pada fungsi *B-spline* Pertumbuhan Ekonomi Kabupaten Bojonegoro yang akan digunakan untuk menentukan model *B-spline* terbaik dapat dilihat pada Tabel 4.26 berikut ini.

Tabel 4.26. Nilai GCV menurut banyaknya knot, letak knot dan derajat *v* pada Fungsi Pertumbuhan Ekonomi Kabupaten Bojonegoro

<i>Knot</i>	<i>v=1</i>		<i>v=2</i>		<i>v=3</i>	
	<i>Titik knot</i>	GCV	<i>Titik knot</i>	GCV	<i>Titik knot</i>	GCV
1	0,250	681,72	0,822	649,4	0,728	773,5
2	0,563	613,86	0,556	730,2	0,486	827,9
	0,863		0,625		0,562	
3	0,499	607,65	0,437	663,9	0,249	668,3
	0,562		0,515		0,316	
	0,701		0,625		0,533	
4	0,249	478,10	0,187	530,2	0,249	774,06
	0,493		0,281		0,334	
	0,562		0,526		0,562	
	0,702		0,625		0,638	

Berdasarkan Tabel 4.26 diperoleh bahwa fungsi *B-spline* pertumbuhan ekonomi Kabupaten Bojonegoro pada derajat 1 sebanyak 4 *knot* memiliki nilai GCV paling minimum, pada derajat 2 fungsi *B-spline* sebanyak 4 *knot* memiliki nilai GCV paling minimum, dan pada derajat 3 fungsi *B-spline* sebanyak 3 *knot* memiliki nilai GCV paling minimum.

Pada penelitian ini dipilih fungsi *B-spline* pada derajat 3 dengan 3 *knot*, karena fungsi *B-spline* mempunyai turunan kedua jika berderajat *v* >2. Titik *knot* fungsi *B-spline* kubik pada pertumbuhan ekonomi Kabupaten Bojonegoro terletak pada *t* sebesar 0,249, 0,316, dan 0,533, dimana *t* sudah distandarisasikan dari 0-1. Tabel 4.26 berikut adalah hasil estimasi parameter *B-spline* (*v*=3 dan *knot*=3) pertumbuhan ekonomi Kabupaten Bojonegoro.

Tabel 4.27. Estimasi Parameter *B-spline* Pertumbuhan Ekonomi Kabupaten Bojonegoro

Parameter	Koefisien	Std.Error	t _{hitung}	p-value	Keterangan
Intersep	16,71	19,29	0,866	0,409	Tidak Signifikan
α_1	-74,63	49,56	-1,506	0,166	Tidak Signifikan
α_2	88,54	36,19	2,447	0,037	Signifikan
α_3	-33,18	31,32	-1,06	0,317	Tidak Signifikan
α_4	93,07	41,28	2,255	0,051	Tidak Signifikan
α_5	-86,88	37,81	-2,298	0,047	Signifikan
α_6	30,11	26,03	1,157	0,277	Tidak Signifikan

Berdasarkan Tabel 4.27 dapat diperoleh fungsi *B-spline* pertumbuhan ekonomi Kabupaten Bojonegoro sebagai berikut.

$$\hat{y} = 16,71B_0 - 74,63B_1 + 88,54B_2 - 33,18B_3 + 93,07B_4 - 86,88B_5 + 30,11B_6 \quad (4.9)$$

dengan

$$B_0 = B_{-3,4}(t), B_1 = B_{-2,4}(t), B_2 = B_{-1,4}(t), B_3 = B_{0,4}(t), B_4 = B_{1,4}(t), B_5 = B_{2,4}(t),$$

$$B_6 = B_{3,4}(t)$$

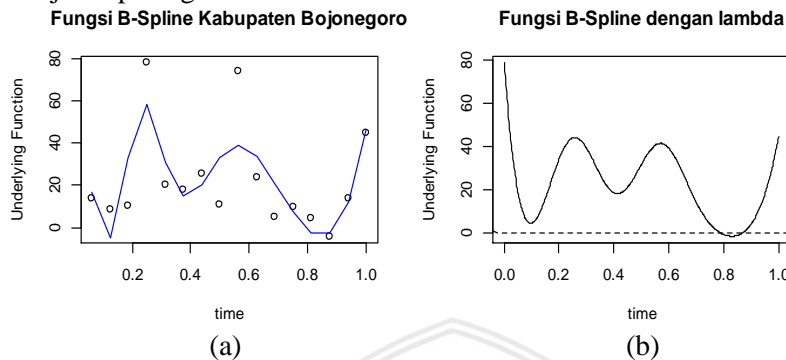
Secara parsial estimasi hanya terdapat beberapa koefisien yang signifikan pada $\alpha=5\%$, dan dari dari p-value pada Tabel 4.28 dapat dilihat bahwa secara simultan juga tidak signifikan.

Tabel 4.28. Kebaikan model *B-spline* Pertumbuhan Ekonomi Kabupaten Bojonegoro

RSE	19,41
Adj R ²	0,3285
Statistika Uji F	2,223
p-value	0,1355

Berdasarkan Tabel 4.28 dapat dilihat bahwa model *B-spline* pada pertumbuhan ekonomi Kabupaten Bojonegoro menghasilkan koefisien determinasi sebesar 32%, artinya model *B-spline* tersebut mampu

menjelaskan variasi variabel pertumbuhan ekonomi Kabupaten Bojonegoro sebesar 32%. Secara visual, *fitted value* dari persamaan 4.9 disajikan pada gambar 4.15 berikut ini.



Gambar 4.15. Fungsi *B-spline* Pertumbuhan Ekonomi Kabupaten Bojonegoro

Apabila fungsi *B-spline* pada Gambar 4.15a diberi pengontrol keseimbangan antara kesesuaian kurva terhadap data dan kemulusan kurva berupa parameter pemulus (λ) akan memberikan hasil kurva yang lebih halus seperti yang terlihat pada Gambar 4.15b.

Kurva model *B-spline* dari kabupaten/kota Jawa Timur untuk variabel pertumbuhan ekonomi secara keseluruhan dapat dilihat di Lampiran 21, tetapi dalam pembahasan ini hanya mengambil beberapa kabupaten/kota saja, pemilihan Kabupaten/kota dipertimbangkan dari nilai rata-rata kabupaten/kota paling rendah, sedang, dan paling tinggi. Secara umum kurva yang mewakili kabupaten/kota menunjukkan pola acak atau tidak memiliki pola tertentu.

4.3. Estimasi Kurva *Velocity*

Estimasi laju perubahan fungsi indikator penelitian (kecepatan/*Velocity*) dilakukan dengan menghitung turunan pertama dari fungsi yang mendasarinya. Keuntungan menggunakan FCA pada penelitian ini adalah dapat menghitung laju perubahan dari fungsi yang mendasarinya serta dapat menghitung laju perubahan kecepatan (percepatan/*Acceleration*) dari fungsi yang mendasarinya. Dalam pembahasan ini hanya mengambil beberapa kabupaten/kota saja, pemilihan Kabupaten/kota dipertimbangkan dari nilai rata-rata kabupaten/kota paling rendah, sedang, dan paling tinggi.

4.3.1. Persentase Penduduk Miskin

1. Kota Malang

Berikut adalah estimasi parameter fungsi *Velocity* dari turunan pertama fungsi persentase penduduk miskin Kota Malang.

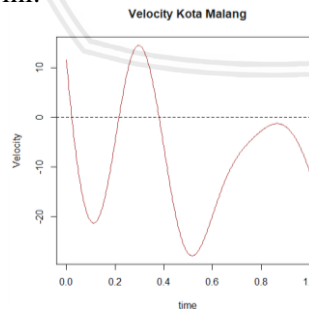
Tabel 4.29. Estimasi Parameter Turunan Pertama *B-spline* Persentase Penduduk Miskin Kota Malang

Parameter	Koefisien	Std.Error	t _{hitung}	p-value	Keterangan
Intersep	-21,738	2,659	-8,176	0,000	Signifikan
α_1	6,700	6,020	1,113	0,298	Tidak Signifikan
α_2	-15,798	7,497	-2,107	0,068	Tidak Signifikan
α_3	16,173	5,702	2,836	0,021	Signifikan
α_4	27,675	4,082	6,779	0,000	Signifikan
α_5	-6,467	5,959	-1,085	0,309	Tidak Signifikan
α_6	31,312	5,672	5,520	0,000	Signifikan
α_7	16,932	3,655	4,633	0,002	Signifikan

Berdasarkan Tabel 4.29 dapat diperoleh fungsi *Velocity* dari turunan pertama fungsi *B-spline* persentase penduduk miskin Kota Malang sebagai berikut.

$$\hat{y} = -21,738B_0 + 6,7B_1 - 15,798B_2 + 16,173B_3 + 27,675B_4 - 6,467B_5 + 31,312B_6 + 16,932B_7 \quad (4.10)$$

Secara visual, *fitted value* dari persamaan 4.10 disajikan pada gambar 4.16 berikut ini.



Gambar 4.16. Fungsi *Velocity* Persentase Penduduk Miskin Kota Malang

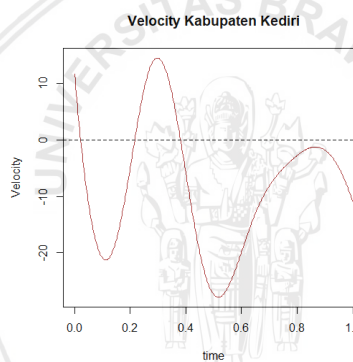
Berdasarkan Gambar 4.16 dapat dilihat bahwa laju perubahan (kecepatan/*velocity*) dari fungsi persentase penduduk miskin Kota Malang mengalami naik turun di sekitar -25 sampai 10. Hal tersebut menunjukkan bahwa laju perubahan presentase penduduk miskin Kota Malang tidak terlalu cepat.

2. Kabupaten Kediri

Estimasi parameter fungsi *Velocity* dari turunan pertama fungsi persentase penduduk miskin Kabupaten Kediri dapat dilihat pada Lampiran 9 dan diperoleh fungsi *Velocity* dari turunan fungsi *B-spline* persentase penduduk miskin Kabupaten Kediri sebagai berikut.

$$\hat{y} = 11,734B_0 - 14,960B_1 + 3,996B_2 - 75,725B_3 + 25,533B_4 - 34,139B_5 + 22,730B_6 - 9,900B_7 \quad (4.11)$$

Secara visual, *fitted value* dari persamaan (4.11) disajikan pada Gambar 4.17 berikut ini.



Gambar 4.17. Fungsi *Velocity* Persentase Penduduk Miskin Kabupaten Kediri

Berdasarkan Gambar 4.17 dapat dilihat bahwa laju perubahan (kecepatan/*velocity*) dari fungsi persentase penduduk miskin Kabupaten Kediri mengalami mengalami naik turun di sekitar -25 sampai 10. Hal tersebut menunjukkan bahwa laju perubahan presentase penduduk miskin Kabupaten Kediri pergerakannya tidak terlalu cepat dari waktu ke waktu.

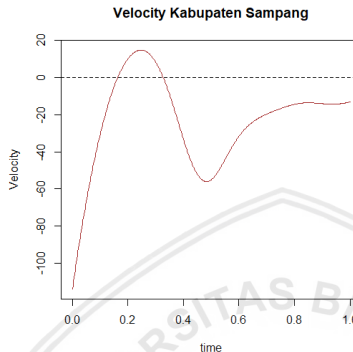
3. Kabupaten Sampang

Estimasi parameter fungsi *Velocity* dari turunan pertama fungsi persentase penduduk miskin Kabupaten Sampang dapat dilihat pada

Lampiran 9 dan diperoleh fungsi *Velocity* dari turunan pertama fungsi *B-spline* Persentase penduduk miskin Kabupaten Sampang sebagai berikut.

$$\hat{y} = -110,42B_0 - 22,84B_1 + 190,75B_2 + 21,52B_3 + 87,90B_4 + 100,62B_5 \quad (4.12)$$

Secara visual, *fitted value* dari persamaan (4.12) disajikan pada gambar 4.18 berikut ini.



Gambar 4.18. Fungsi *Velocity* Persentase Penduduk Miskin Kabupaten Sampang

Berdasarkan Gambar 4.18 dapat dilihat bahwa laju perubahan (kecepatan/*velocity*) dari fungsi persentase penduduk miskin Kabupaten Sampang mengalami kenaikan kecepatan yang besar pada periode awal, lalu kecepatan turun sampai periode pertengahan dan naik sesaat hingga pada periode akhir laju perubahan persentase penduduk miskin Kabupaten Sampang cenderung stabil.

Kurva *velocity* dari kabupaten/kota Jawa Timur untuk variabel persentase penduduk miskin secara keseluruhan dapat dilihat di Lampiran 16. Secara umum kurva yang mewakili kabupaten/kota menunjukkan fluktuasi dari tahun ke tahun

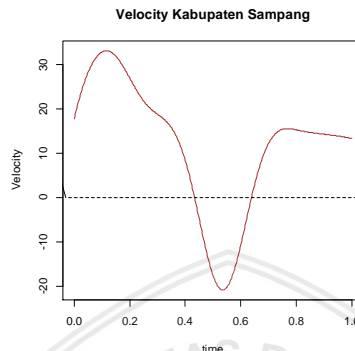
4.3.2. IPM

1. Kabupaten Sampang

Estimasi parameter fungsi *Velocity* dari turunan pertama fungsi IPM Kabupaten Sampang dapat dilihat pada Lampiran 10 dan diperoleh fungsi *Velocity* dari turunan pertama fungsi *B-spline* IPM Kabupaten Sampang sebagai berikut.

$$\hat{y} = 17,427B_0 + 4,712B_1 + 32,477B_2 - 6,223B_3 + 7,797B_4 - 94,526B_5 + 32,738B_6 - 4,505B_7 \quad (4.13)$$

Secara visual, *fitted value* dari persamaan (4.13) disajikan pada Gambar 4.19 berikut ini.



Gambar 4.19. Fungsi *Velocity* IPM Kabupaten Sampang

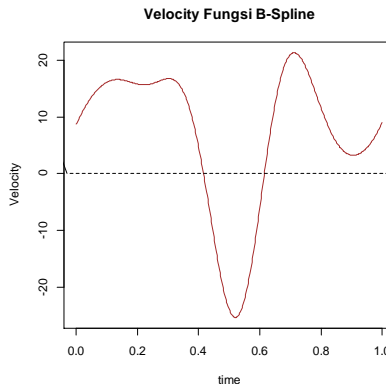
Berdasarkan Gambar 4.19 dapat dilihat bahwa laju perubahan (kecepatan/*velocity*) dari fungsi IPM Kabupaten Sampang mengalami naik turun di sekitar -20 sampai 30. Hal tersebut menunjukkan bahwa laju perubahan IPM Kota Malang jalannya tidak terlalu cepat. Kenaikan kecepatan terjadi sesaat di periode awal, lalu kecepatan mengalami penurunan secara drastis sampai periode pertengahan dan naik beberapa saat hingga pada periode akhir laju perubahan IPM Kabupaten Sampang cenderung stabil.

2. Kabupaten Nganjuk

Estimasi parameter fungsi *Velocity* dari turunan pertama fungsi IPM Kabupaten Nganjuk dapat dilihat pada Lampiran 10 dan diperoleh fungsi *Velocity* dari turunan pertama fungsi *B-spline* IPM Kabupaten Nganjuk sebagai berikut.

$$\hat{y} = 8,316B_0 + 4,615B_1 + 9,828B_2 - 7,577B_3 + 11,559B_4 - 99,588B_5 + 73,304B_6 - 3,373B_7 \quad (4.14)$$

Secara visual, *fitted value* dari persamaan (4.14) disajikan pada Gambar 4.20 berikut ini.



Gambar 4.20. Fungsi *Velocity* IPM Kabupaten Nganjuk

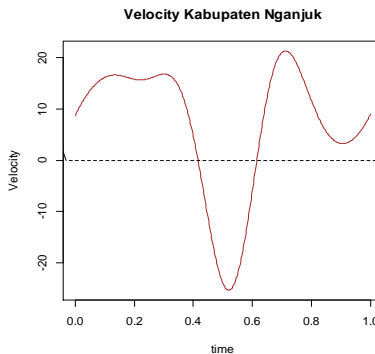
Berdasarkan Gambar 4.20 dapat dilihat bahwa laju perubahan (kecepatan/*velocity*) dari fungsi IPM Kabupaten Nganjuk mengalami kenaikan kecepatan sesaat pada periode awal, lalu kecepatan cenderung stabil pada beberapa saat dan kemudian mengalami penurunan secara drastis sampai periode pertengahan, lalu kembali naik hingga mencapai kecepatan tertinggi. Kecepatan fungsi IPM Kabupaten Nganjuk kembali mengalami penurunan dan kemudian naik pada periode akhir.

3. Kota Surabaya

Estimasi parameter fungsi *Velocity* dari turunan pertama fungsi IPM Kota Surabaya dapat dilihat pada Lampiran 10 dan diperoleh fungsi *Velocity* dari turunan pertama fungsi *B-spline* IPM Kota Surabaya sebagai berikut.

$$\begin{aligned} \hat{y} = & -121,128B_0 - 24,566B_1 + 181,71B_2 + 127,60B_3 + 126,75B_4 + 127,75B_5 \\ & + 128,816B_6 \end{aligned} \quad (4.15)$$

Secara visual, *fitted value* dari persamaan (4.15) disajikan pada gambar 4.21 berikut ini.



Gambar 4.21. Fungsi *Velocity* IPM Kota Surabaya

Berdasarkan Gambar 4.21 dapat dilihat bahwa laju perubahan (kecepatan/*velocity*) dari fungsi IPM Kota Surabaya mengalami kenaikan kecepatan yang cukup tinggi pada periode awal, kemudian pada periode pertengahan hingga akhir periode IPM Kota Surabaya cenderung stabil.

Kurva *velocity* dari kabupaten/kota Jawa Timur untuk variabel IPM secara keseluruhan dapat dilihat di Lampiran 19. Secara umum kurva yang mewakili kabupaten/kota menunjukkan fluktuasi dari tahun ke tahun dan pada periode pertengahan selalu mengalami penurunan yang sangat signifikan. Hal ini menunjukkan bahwa pada pertengahan periode tersebut terjadi laju perubahan sangat besar pada IPM yang disebabkan oleh perubahan metode perhitungan variabel IPM

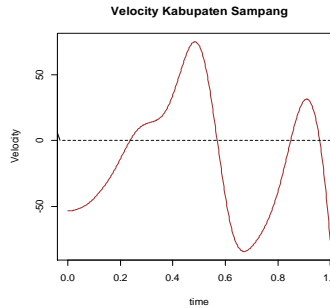
4.3.3. Pertumbuhan Ekonomi

1. Kabupaten Sampang

Estimasi parameter fungsi *Velocity* dari turunan pertama fungsi pertumbuhan ekonomi Kabupaten Bojonegoro dapat dilihat pada Lampiran 11 dan diperoleh fungsi *Velocity* dari turunan pertama fungsi *B-spline* pertumbuhan ekonomi Kabupaten Sampang sebagai berikut.

$$\hat{y} = -35,5B_0 - 119,41B_1 + 270,53B_2 - 82,6B_3 - 18,36B_4 \quad (4.16)$$

Secara visual, *fitted value* dari persamaan (4.16) disajikan pada gambar 4.22 berikut ini.



Gambar 4.22. Fungsi *Velocity* Pertumbuhan Ekonomi Kabupaten Sampang

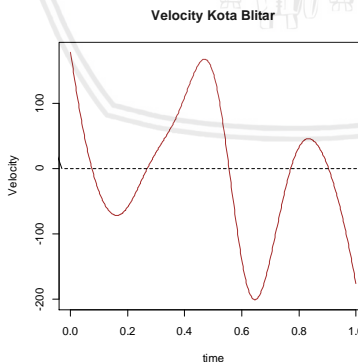
Berdasarkan Gambar 4.22 dapat dilihat bahwa laju perubahan (kecepatan/*velocity*) dari fungsi pertumbuhan ekonomi Kabupaten Sampang mengalami mengalami naik turun di sekitar -70 sampai 70. Hal tersebut menunjukkan bahwa laju perubahan pertumbuhan ekonomi Kabupaten Sampang pergerakannya cukup cepat dari waktu ke waktu.

2. Kota Blitar

Estimasi parameter fungsi *Velocity* dari turunan pertama fungsi pertumbuhan ekonomi Kota Blitar dapat dilihat pada Lampiran 11 dan diperoleh fungsi *Velocity* dari turunan pertama fungsi *B-spline* pertumbuhan ekonomi Kota Blitar sebagai berikut.

$$\hat{y} = 258,42B_0 - 604,99B_1 + 276,02B_2 - 581,25B_3 - 212,92B_4 \quad (4.17)$$

Secara visual, *fitted value* dari persamaan (4.17) disajikan pada gambar 4.22 berikut ini.



Gambar 4.23. Fungsi *Velocity* Pertumbuhan Ekonomi Kota Blitar

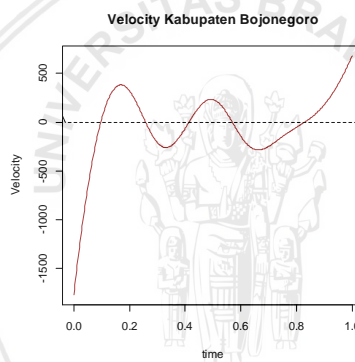
Berdasarkan Gambar 4.23 dapat dilihat bahwa laju perubahan (kecepatan/*velocity*) dari fungsi pertumbuhan ekonomi Kota Blitar mengalami naik turun di sekitar -200 sampai 150. Hal tersebut menunjukkan bahwa laju perubahan pertumbuhan ekonomi Kota Blitar sangat cepat hingga periode akhir.

3. Kabupaten Bojonegoro

Estimasi parameter fungsi *Velocity* dari turunan pertama fungsi pertumbuhan ekonomi Kabupaten Bojonegoro dapat dilihat pada Lampiran 11 dan diperoleh fungsi *Velocity* dari turunan pertama fungsi *B-spline* pertumbuhan ekonomi Kabupaten Bojonegoro sebagai berikut.

$$\hat{y} = -1754,6B_0 - 235,8B_1 + 1689,1B_2 + 2133,9B_3 + 1416,7B_4 + 1791,1B_5 + 1595,1B_6 \quad (4.18)$$

Secara visual, *fitted value* dari persamaan (4.18) disajikan pada gambar 4.24 berikut ini.



Gambar 4.24. Fungsi *Velocity* Pertumbuhan Ekonomi Kabupaten Bojonegoro

Berdasarkan Gambar 4.24 dapat dilihat bahwa laju perubahan (kecepatan/*velocity*) dari fungsi pertumbuhan ekonomi Kabupaten Bojonegoro mengalami laju perubahan yang sangat cepat pada periode awal, kemudian kecepatan kembali turun sampai di sekitar nilai 0 dan pertumbuhan ekonomi Kabupaten Bojonegoro mengalami naik turun di sekitar nilai 0 hingga periode akhir. Hal tersebut menunjukkan bahwa laju perubahan pertumbuhan ekonomi Kabupaten Sampang pada periode pertengahan hingga akhir jalannya tidak terlalu cepat.

Kurva *velocity* dari kabupaten/kota Jawa Timur untuk variabel pertumbuhan ekonomi secara keseluruhan dapat dilihat di Lampiran 22. Secara umum kurva yang mewakili kabupaten/kota menunjukkan fluktuasi dari tahun ke tahun dan terdapat beberapa kabupaten/kota yang stabil pada akhir periode.

4.4. Estimasi Kurva *Acceleration*

Pendugaan laju perubahan kecepatan (percepatan/ *Acceleration*) dilakukan dengan menghitung hasil turunan kedua dari fungsi yang mendasarinya.

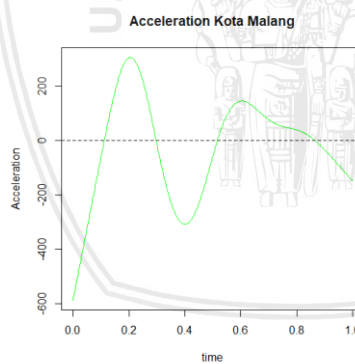
4.4.1. Persentase Penduduk Miskin

1. Kota Malang

Estimasi parameter fungsi *Acceleration* dari turunan kedua fungsi persentase penduduk miskin Kota Malang dapat dilihat pada Lampiran 12 dan dapat diperoleh fungsi *Acceleration* dari turunan kedua fungsi *B-spline* Persentase penduduk miskin Kota Malang sebagai berikut.

$$\hat{y} = -29,933B_0 + 106,829B_1 - 210,409B_2 + 515,655B_3 - 196,927B_4 + 222,347B_5 - 5,511B_6 + 28,832B_7 \quad (4.19)$$

Secara visual, *fitted value* dari persamaan (4.19) disajikan pada gambar 4.25 berikut ini.



Gambar 4.25. Fungsi *Acceleration* Persentase Penduduk Miskin Kota Malang

Berdasarkan Gambar 4.25 dapat dilihat bahwa laju perubahan kecepatan (percepatan/*velocity*) dari fungsi persentase penduduk miskin Kota Malang mengalami naik turun di sekitar -600 sampai 250. Hal

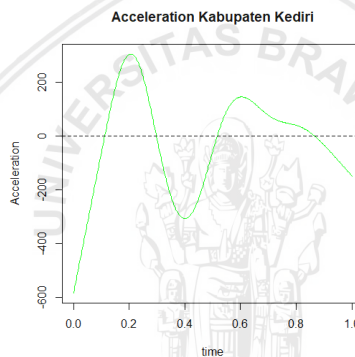
tersebut menunjukkan bahwa laju perubahan kecepatan presentase penduduk miskin Kota Malang terjadi sangat cepat dari waktu ke waktu.

2. Kabupaten Kediri

Estimasi parameter fungsi *Acceleration* dari turunan kedua fungsi Persentase penduduk miskin Kabupaten Kediri dapat dilihat pada Lampiran 12 dan diperoleh fungsi *Acceleration* dari turunan kedua fungsi *B-spline* persentase penduduk miskin Kabupaten Kediri sebagai berikut.

$$\hat{y} = -586,87B_0 + 92,65B_1 + 22,85B_2 + 665,88B_3 + 1108,50B_4 \\ - 422,38B_5 + 1421,26B_6 + 521,43B_7 \quad (4.20)$$

Secara visual, *fitted value* dari persamaan (4.20) disajikan pada gambar 4.26 berikut ini.



Gambar 4.26. Fungsi *Acceleration* Persentase Penduduk Miskin Kabupaten Kediri

Berdasarkan Gambar 4.26 dapat dilihat bahwa laju perubahan kecepatan (*percepatan/velocity*) dari fungsi persentase penduduk miskin Kabupaten Kediri mengalami kenaikan percepatan yang cukup besar pada periode awal, kemudian percepatan mengalami penurunan pada pertengahan periode dan persentase penduduk miskin Kabupaten Kediri mengalami kenaikan kembali hingga pada akhir periode percepatan berlanjut turun.

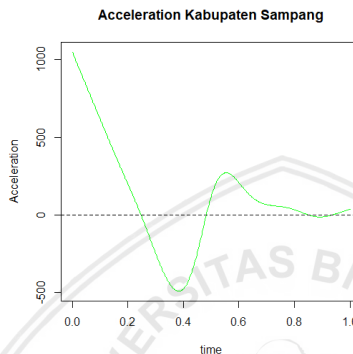
3. Kabupaten Sampang

Estimasi parameter fungsi *Acceleration* dari turunan kedua fungsi persentase penduduk miskin Kabupaten Sampang dapat dilihat pada

Lampiran 12 dan diperoleh fungsi *Acceleration* dari turunan kedua fungsi *B-spline* persentase penduduk miskin Kabupaten Bojonegoro sebagai berikut.

$$\hat{y} = 1033,69B_0 + 84,09B_1 - 660,49B_2 - 1947,55B_3 - 27,91B_4 - 1146,19B_5 \quad (4.21)$$

Secara visual, *fitted value* dari persamaan (4.21) disajikan pada gambar 4.27 berikut ini.



Gambar 4.27. Fungsi *Acceleration* Persentase Penduduk Miskin Kabupaten Sampang

Berdasarkan Gambar 4.27 dapat dilihat bahwa laju perubahan kecepatan (percepatan/*velocity*) dari fungsi persentase penduduk miskin Kabupaten Sampang mengalami penurunan percepatan yang cukup besar pada periode awal sampai pertengahan periode, kemudian percepatan mengalami kenaikan sesaat dan persentase penduduk miskin Kabupaten Sampang pada akhir periode percepatan berlahan turun dan cenderung stabil di sekitar nilai 0 atau cenderung bernilai tetap.

Kurva *acceleration* dari kabupaten/kota Jawa Timur untuk variabel persentase penduduk miskin secara keseluruhan dapat dilihat di Lampiran 17. Secara umum kurva yang mewakili kabupaten/kota menunjukkan fluktuasi dari tahun ke tahun.

4.4.2. IPM

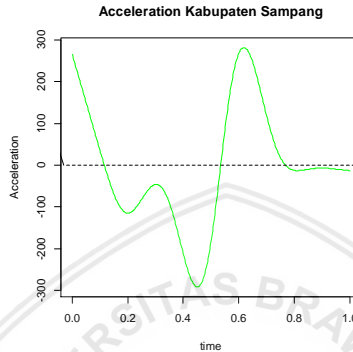
1. Kabupaten Sampang

Estimasi parameter fungsi *Acceleration* dari turunan kedua fungsi IPM Kabupaten Sampang dapat dilihat pada Lampiran 13 dan diperoleh

fungsi *Acceleration* dari turunan kedua fungsi *B-spline* IPM Kabupaten Sampang sebagai berikut.

$$\hat{y} = 239,24B_0 + 247,46B_1 - 712,80B_2 - 69,22B_3 - 713,68B_4 - 16,04B_5 + 118,43B_6 - 327,19B_7 \quad (4.22)$$

Secara visual, *fitted value* dari persamaan (4.22) disajikan pada gambar 4.28 berikut ini.



Gambar 4.28. Fungsi *Acceleration* IPM Kabupaten Sampang

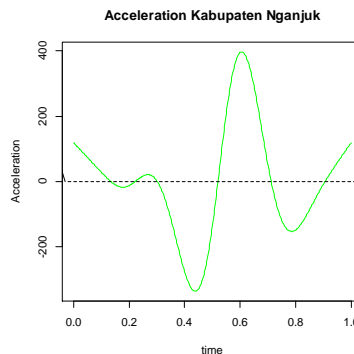
Berdasarkan Gambar 4.28 dapat dilihat bahwa laju perubahan kecepatan (percepatan/*velocity*) dari fungsi IPM Kabupaten Sampang mengalami naik turun di awal hingga pertengahan periode dan percepatan fungsi IPM Kabupaten Sampang pada akhir periode cenderung stabil dan berada di sekitar nilai 0 yang berarti cenderung bernilai tetap di akhir periode.

2. Kabupaten Nganjuk

Estimasi parameter fungsi *Acceleration* dari turunan kedua fungsi IPM Kabupaten Nganjuk dapat dilihat pada Lampiran 13 dan diperoleh fungsi *Acceleration* dari turunan kedua fungsi *B-spline* IPM Kabupaten Nganjuk sebagai berikut.

$$\hat{y} = 95,28B_0 + 228,91B_1 - 505,87B_2 + 256,21B_3 - 850,00B_4 + 651,22B_5 + 36,5B_6 - 346,99B_7 \quad (4.23)$$

Secara visual, *fitted value* dari persamaan (4.23) disajikan pada gambar 4.29 berikut ini.



Gambar 4.29. Fungsi *Acceleration* IPM Kabupaten Nganjuk

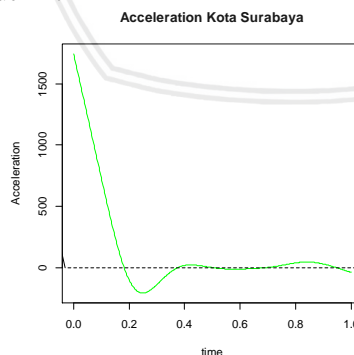
Berdasarkan Gambar 4.29 dapat dilihat bahwa laju perubahan kecepatan (*percepatan/velocity*) dari fungsi IPM Kabupaten Nganjuk mengalami naik turun di sekitar angka -350 sampai 400 hingga akhir periode.

3. Kota Surabaya

Estimasi parameter fungsi *Acceleration* dari turunan kedua fungsi IPM Kota Surabaya dapat dilihat pada Lampiran 13 dan dapat diperoleh fungsi *Acceleration* dari turunan kedua fungsi *B-spline* IPM Kota Surabaya sebagai berikut.

$$\hat{y} = 1744,3B_0 - 517,1B_1 + 342,1B_2 - 1098,8B_3 - 2556,1B_4 - 1294,5B_5 - 1790,6B_6 \quad (4.24)$$

Secara visual, *fitted value* dari persamaan (4.24) disajikan pada gambar 4.30 berikut ini.



Gambar 4.30. Fungsi *Acceleration* IPM Kota Surabaya

Berdasarkan Gambar 4.30 dapat dilihat bahwa laju perubahan kecepatan (percepatan/*velocity*) dari fungsi IPM Kota Surabaya mengalami penurunan percepatan di awal periode dan pada pertengahan periode hingga akhir periode percepatan fungsi IPM Kota Surabaya cenderung stabil di sekitar nilai 0 yang berarti percepatan IPM Kota Surabaya cenderung tetap.

Kurva *acceleration* dari kabupaten/kota Jawa Timur untuk variabel IPM secara keseluruhan dapat dilihat di Lampiran 20. Secara umum kurva yang mewakili kabupaten/kota menunjukkan fluktuasi dari tahun ke tahun.

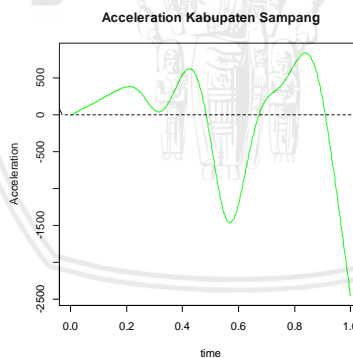
4.4.3. Pertumbuhan Ekonomi

1. Kabupaten Sampang

Berikut adalah estimasi parameter fungsi *Acceleration* dari turunan kedua fungsi pertumbuhan ekonomi Kabupaten Sampang dapat dilihat pada Lampiran 14 dan diperoleh fungsi *Acceleration* dari turunan kedua fungsi *B-spline* pertumbuhan ekonomi Kabupaten Bojonegoro sebagai berikut.

$$\hat{y} = 8,984B_0 - 127,852B_1 + 1509,04B_2 - 1887,87B_3 + 1154,728B_4 \quad (4.25)$$

Secara visual, *fitted value* dari persamaan (4.25) disajikan pada gambar 4.30 berikut ini.



Gambar 4.31. Fungsi *Acceleration* Pertumbuhan Ekonomi Kabupaten Sampang

Berdasarkan Gambar 4.31 dapat dilihat bahwa laju perubahan kecepatan (percepatan/*velocity*) dari fungsi pertumbuhan ekonomi Kabupaten Sampang mengalami kenaikan percepatan secara berlahan

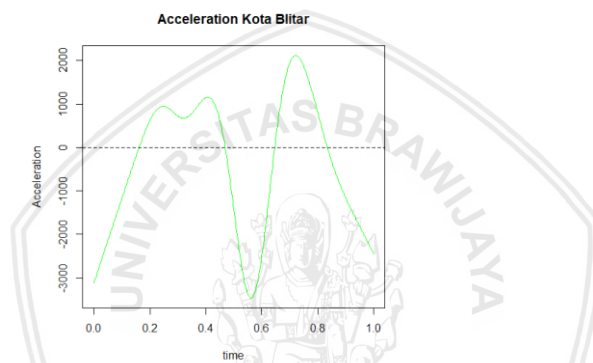
hingga di pertengahan periode, percepatan mengalami penurunan sesaat dan naik kembali, kemudian pada akhir periode percepatan pertumbuhan ekonomi mengalami penurunan yang sangat drastis.

2. Kota Blitar

Estimasi parameter fungsi *Acceleration* dari turunan kedua fungsi pertumbuhan ekonomi Kota Blitar dapat dilihat pada Lampiran 14 dan diperoleh fungsi *Acceleration* dari turunan kedua fungsi *B-spline* pertumbuhan ekonomi Kota Blitar sebagai berikut.

$$\hat{y} = -3501,5B_0 + 1982,7B_1 + 6973,5B_2 + 263,8B_3 + 5761,4B_4 \quad (4.26)$$

Secara visual, *fitted value* dari persamaan (4.26) disajikan pada Gambar 4.32 berikut ini.



Gambar 4.32. Fungsi *Acceleration* Pertumbuhan Ekonomi Kota Blitar

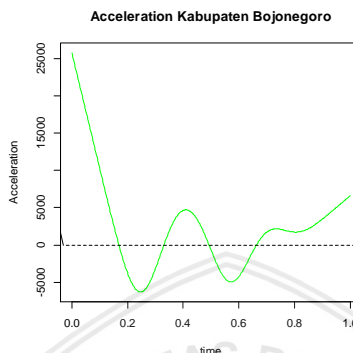
Berdasarkan Gambar 4.32 dapat dilihat bahwa laju perubahan kecepatan (*percepatan/velocity*) dari fungsi pertumbuhan ekonomi Kota Blitar mengalami naik turun di sekitar angka -3000 sampai 2000 dari waktu ke waktu. Hal ini menunjukkan bahwa pertumbuhan ekonomi Kota Blitar mengalami percepatan yang pergerakannya sangat cepat.

3. Kabupaten Bojonegoro

Estimasi parameter fungsi *Acceleration* dari turunan kedua fungsi pertumbuhan ekonomi Kabupaten Bojonegoro dapat dilihat pada Lampiran 14 dan diperoleh fungsi *Acceleration* dari turunan kedua fungsi *B-spline* pertumbuhan ekonomi Kabupaten Bojonegoro sebagai berikut.

$$\hat{y} = 26101B_0 - 6415B_1 + 1819B_2 - 38624B_3 - 12388B_4 - 36015B_5 - 22485B_6 \quad (4.27)$$

Secara visual, *fitted value* dari persamaan (4.27) disajikan pada gambar 4.33 berikut ini.



Gambar 4.33. Fungsi *Acceleration* Pertumbuhan Ekonomi Kabupaten Bojonegoro

Berdasarkan Gambar 4.33 dapat dilihat bahwa laju perubahan kecepatan (*percepatan/velocity*) dari fungsi pertumbuhan ekonomi Kabupaten Bojonegoro mengalami penurunan percepatan pada awal periode, kemudian percepatan pertumbuhan ekonomi Kabupaten Bojonegoro mengalami naik turun di sekitar nilai 0 pada pertengahan periode hingga akhir periode yang berarti pertumbuhan ekonomi Kabupaten Bojonegoro pergerakannya tidak terlalu cepat.

Kurva *acceleration* dari kabupaten/kota Jawa Timur untuk variabel pertumbuhan ekonomi secara keseluruhan dapat dilihat di Lampiran 23. Secara umum kurva yang mewakili kabupaten/kota menunjukkan fluktuasi dari tahun ke tahun.

4.5. Functional Cluster Analysis (FCA)

4.5.1. Penentuan Jumlah Cluster Optimal

Untuk menentukan jumlah *cluster* yang optimal, dapat dilihat berdasarkan nilai BIC. Semakin besar nilai BIC maka menunjukkan bukti yang kuat untuk model. Sehingga pada penelitian ini mencari jumlah *cluster* yang menghasilkan nilai BIC terbesar. Secara lengkap nilai BIC untuk persentase penduduk miskin, IPM, dan pertumbuhan ekonomi pada $k=2,3,4$, dan 5 dapat dilihat pada Lampiran 15 dan diringkas pada Tabel 4.30.

Tabel 4.30. Nilai BIC untuk Persentase Penduduk Miskin, IPM, dan Pertumbuhan Ekonomi

<i>k</i>	BIC		
	Persentase Penduduk Miskin	IPM	Pertumbuhan Ekonomi
2	-4292,11	-3554,14	-2964,10
3	-3230,55	-4073,97	-19517,07
4	-4568,69	-3799,92	-8013,71
5	-4017,37	-2692,87	-9128,45

Berdasarkan Tabel 4.30 dapat dilihat bahwa nilai BIC presentase penduduk miskin terbesar adalah pada $k=3$ sehingga dapat disimpulkan bahwa jumlah *cluster* yang optimal untuk variabel persentase penduduk miskin adalah 3 *cluster* dan pada IPM nilai BIC terbesar adalah pada $k=5$ sehingga dapat disimpulkan bahwa jumlah *cluster* yang optimal untuk variabel IPM adalah 5 *cluster*. Sedangkan untuk pertumbuhan ekonomi nilai BIC terbesar adalah saat $k=2$ sehingga dapat disimpulkan bahwa jumlah *cluster* yang optimal untuk variabel pertumbuhan ekonomi adalah 2 *cluster*.

4.5.2. Penentuan Jarak Kurva ke Pusat

Setelah didapatkan banyaknya *cluster* optimal yang terbentuk, selanjutnya teknik pengelompokan berbasis model ini mendefinisikan ukuran jarak untuk setiap kurva. Pada pendekatan BSD, jarak ke setiap pusat *cluster* dihitung untuk setiap kurva dengan menentukan jumlah jarak kuadrat antara kurva dan pusat *cluster* pada titik waktu yang tersedia dan membaginya dengan jumlah titik waktu untuk kurva yang sesuai. Pusat *cluster* dan jarak antara kurva dengan pusat *cluster* dapat dilihat pada Lampiran 25. Penentuan anggota *cluster* kurva dilakukan dengan membandingkan jarak kurva dari setiap pusat *cluster*. Jarak kurva dengan pusat *cluster* terkecil akan masuk dalam satu *cluster* tersebut.

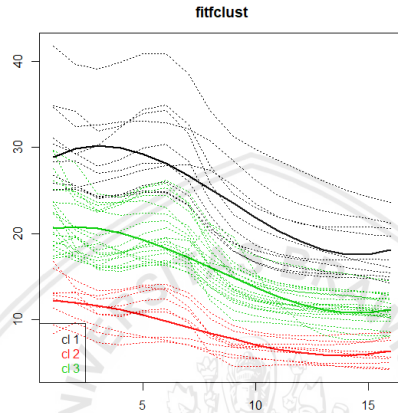
4.5.3. Pengelompokan Kurva

Pengelompokan kurva dilakukan dengan menggunakan pendekatan berbasis model pada masing-masing variabel berdasarkan

banyaknya *cluster* yang optimal. Berikut adalah hasil pengelompokan Kabupaten/kota di Jawa Timur untuk masing-masing variabel.

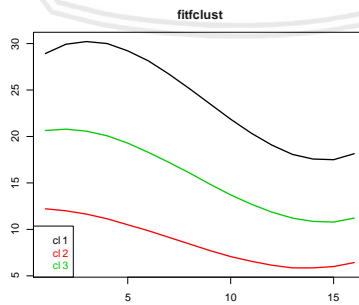
1. Pengelompokan Kurva Persentase Penduduk Miskin

Pengelompokan kabupaten/kota di Jawa Timur berdasarkan persentase penduduk miskin ini dilakukan menggunakan FCA. Gambar 4.34 berikut adalah gambaran mengenai banyaknya *cluster* yang terbentuk untuk variabel persentase penduduk miskin.

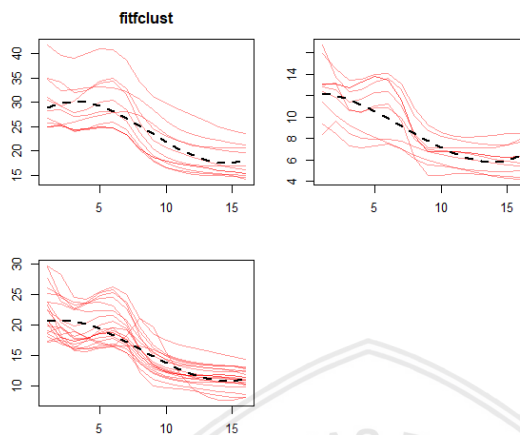


Gambar 4.34. Pengelompokan Kabupaten/kota berdasarkan Variabel Persentase Penduduk Miskin

Berdasarkan Gambar 4.34 dapat dilihat bahwa *cluster* optimal yang terbentuk untuk variabel Persentase penduduk miskin adalah sebanyak 3 *cluster*. Dari pengelompokan kurva tersebut didapatkan plot pusat *cluster* yang dapat dilihat pada Gambar 4.35 dan plot terpisah untuk setiap *cluster* dengan jarak ke pusat *cluster* pada Gambar 4.36.



Gambar 4.35. Pusat *Cluster* dari Variabel Persentase Penduduk Miskin



Gambar 4.36. Plot Terpisah untuk Setiap *Cluster* dari Variabel Persentase Penduduk Miskin

Dari proses pengelompokan kurva berbasis model tersebut dihasilkan anggota *cluster* untuk variabel persentase penduduk miskin yang dapat dilihat pada Lampiran 25 dan disajikan di Tabel 4.33. Estimasi parameter kurva pada Gambar 4.35 dapat dilihat pada Lampiran 25.

Tabel 4.31. Anggota *Cluster* untuk Variabel Persentase Penduduk Miskin

Cluster	Jumlah Anggota	Anggota
1	10	Kabupaten Pacitan, Kabupaten Bondowoso, Kabupaten Probolinggo, Kabupaten Ngawi, Kabupaten Bojonegoro, Kabupaten Tuban, Kabupaten Bangkalan, Kabupaten Sampang, Kabupaten Pamekasan, Kabupaten Sumenep.
2	9	Kabupaten Sidoarjo, Kota Kediri, Kota Blitar, Kota Malang, Kota Pasuruan, Kota Mojokerto, Kota Madiun, Kota Surabaya, Kota Batu.

3	19	Kabupaten Ponorogo, Kabupaten Trenggalek, Kabupaten Tulungagung, Kabupaten Blitar, Kabupaten Kediri, Kabupaten Malang, Kabupaten Lumajang, Kabupaten Jember, Kabupaten Banyuwangi, Kabupaten Situbondo, Kabupaten Pasuruan, Kabupaten Mojokerto, Kabupaten Jombang, Kabupaten Nganjuk, Kabupaten Madiun, Kabupaten Magetan, Kabupaten Lamongan, Kabupaten Gresik, Kota Probolinggo.
---	----	---

Identifikasi karakteristik tiap *cluster* menggambarkan keadaan umum *cluster* yang terbentuk dari hasil FCA. Anggota masing-masing *cluster* memiliki karakteristik yang berbeda-beda dengan *cluster* lain. Berikut ringkasan statistika deskriptif masing-masing *cluster* untuk variabel persentase penduduk miskin.

Tabel 4.32. Statistika Deskriptif Hasil Cluster Variabel Persentase Penduduk Miskin

Cluster	Rata-rata	Minimum	Maksimum
1	24,30	20,04	33,18
2	8,53	6,21	11,07
3	15,90	12,79	20,84

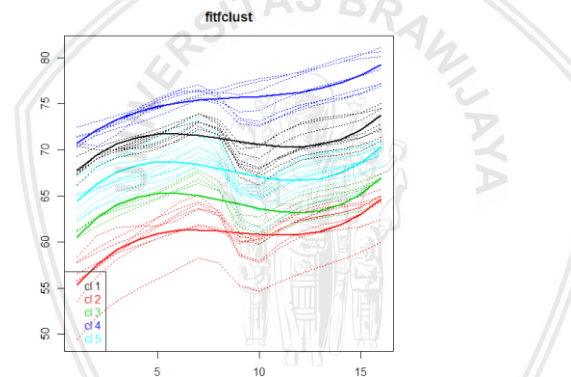
Karakteristik masing-masing *cluster* untuk persentase penduduk miskin berdasarkan Tabel 4.32 dapat dilihat bahwa dalam periode waktu 2002 hingga 2017, sebagian besar persentase penduduk miskin di Jawa Timur pada *cluster* 1 adalah sebesar 24,30%. Persentase penduduk miskin terendah pada *cluster* 1 adalah 20,04% yang dicapai oleh Kabupaten Ngawi. Sedangkan pada periode waktu yang sama, persentase penduduk miskin tertinggi pada *cluster* 1 adalah sebesar 33,18% yang diduduki oleh Kabupaten Sampang. Pada *cluster* 2 sebagian besar persentase penduduk miskin di Jawa Timur adalah sebesar 8,53%. Persentase penduduk miskin terendah pada *cluster* 2 adalah 6,21% yang dicapai oleh Kota Malang. Sedangkan pada periode waktu yang sama, persentase penduduk miskin tertinggi pada *cluster* 2 adalah sebesar 11,07% yang dicapai oleh Kota Kediri. Pada *cluster* 3 sebagian besar persentase penduduk miskin di Jawa Timur adalah sebesar 15,90%. Persentase penduduk miskin terendah pada *cluster* 3 adalah 12,79% yang dicapai oleh Kabupaten Banyuwangi. Sedangkan

pada periode waktu yang sama, persentase penduduk miskin tertinggi pada *cluster* 3 adalah sebesar 20,84% yang diduduki oleh Kabupaten Lamongan.

Dari hasil deskripsi tersebut dapat disimpulkan bahwa *cluster* 1 memiliki persentase penduduk miskin tertinggi dibandingkan dengan *cluster* yang lain, sedangkan pada *cluster* 2 memiliki persentase penduduk miskin terendah dibandingkan dengan *cluster* yang lain. Sehingga wilayah pada *cluster* 1 tersebut membutuhkan bantuan pemerintah yang lebih dalam rangka menurunkan persentase penduduk miskin untuk mencapai pemerataaan wilayah di Jawa Timur.

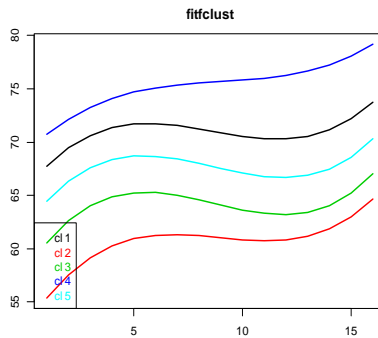
2. Pengelompokan Kurva IPM

Pengelompokan kabupaten/kota di Jawa Timur berdasarkan IPM ini dilakukan menggunakan *Functional Cluster Analysis* (FCA). Gambar 4.35 berikut adalah gambaran mengenai banyaknya *cluster* yang terbentuk untuk variabel IPM.

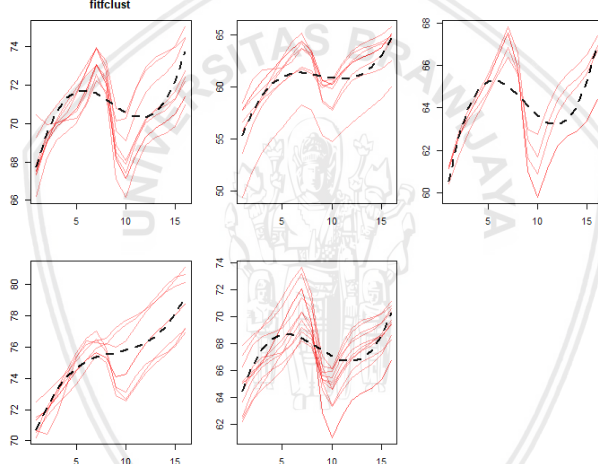


Gambar 4.37. Pengelompokan kabupaten/kota berdasarkan variabel IPM

Berdasarkan Gambar 4.35 dapat dilihat bahwa *cluster* optimal yang terbentuk untuk variabel IPM adalah sebanyak 5 *cluster*. Dari pengelompokan kurva tersebut didapatkan plot pusat *cluster* IPM yang dapat dilihat pada Gambar 4.38 dan plot terpisah untuk setiap *cluster* dengan jarak ke pusat *cluster* pada Gambar 4.39. Estimasi parameter kurva pada Gambar 4.38 dapat dilihat pada Lampiran 25.



Gambar 4.38. Pusat *Cluster* dari Variabel IPM



Gambar 4.39. Plot terpisah untuk Setiap *Cluster* dari Variabel IPM

Dari proses pengelompokan kurva berbasis model tersebut dihasilkan anggota *cluster* untuk variabel IPM yang dapat dilihat pada Tabel 4.35.

Tabel 4.33. Anggota *Cluster* untuk Variabel IPM

Cluster	Jumlah Anggota	Anggota
1	8	Kabupaten Tulungagung, Kabupaten Mojokerto, Kabupaten Jombang, Kabupaten

Cluster	Jumlah Anggota	Anggota
		Magetan, Kabupaten Gresik, Kota Probolinggo, Kota Pasuruan, dan Kota Batu
2	8	Kabupaten Jember, Kabupaten Situbondo, Kabupaten Bondowoso, Kabupaten Probolinggo, Kabupaten Bangkalan, Kabupaten Sampang, Kabupaten Pamekasan, dan Kabupaten Sumenep
3	4	Kabupaten Lumajang, Kabupaten Pasuruan, Kabupaten Bojonegoro, Kabupaten Tuban,
4	7	Kabupaten Sidoarjo, Kota Kediri, Kota Blitar, Kota Malang, Kota Mojokerto, Kota Madiun, Kota Surabaya.
5	11	Kabupaten Pacitan, Kabupaten Ponorogo, Kabupaten Trenggalek, Kabupaten Blitar, Kabupaten Kediri, Kabupaten Malang, Kabupaten Banyuwangi, Kabupaten Nganjuk, Kabupaten Madiun, Kabupaten Ngawi, Kabupaten Lamongan.

Identifikasi karakteristik tiap *cluster* menggambarkan keadaan umum *cluster* yang terbentuk dari hasil FCA. Anggota masing-masing *cluster* memiliki karakteristik yang berbeda-beda dengan *cluster* lain. Berikut ringkasan statistika deskriptif masing-masing *cluster* untuk variabel IPM.

Tabel 4.34. Statistika Deskriptif Hasil *Cluster* Variabel IPM

Cluster	Rata-rata	Minimun	Maksimum
1	70,75	69,24	72,27
2	60,71	55,98	62,04
3	64,15	63,42	64,65
4	75,37	73,95	76,65
5	67,47	66,18	68,83

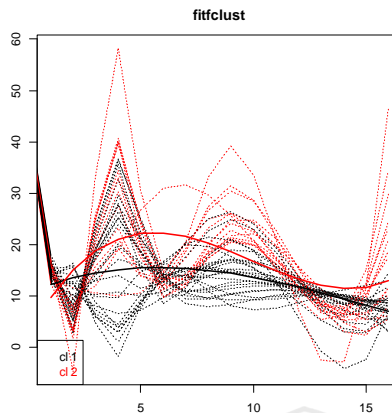
Karakteristik masing-masing *cluster* untuk IPM berdasarkan Tabel 4.34 dapat dilihat bahwa dalam periode waktu 2002 hingga 2017, sebagian besar IPM di Jawa Timur pada *cluster* 1 adalah sebesar 70,75.

IPM terendah pada *cluster* 1 adalah 69,24. Sedangkan pada periode waktu yang sama, IPM tertinggi pada *cluster* 1 adalah sebesar 72,27. Pada *cluster* 2 sebagian besar IPM di Jawa Timur adalah sebesar 60,71. IPM terendah pada *cluster* 2 adalah 55,98. Sedangkan pada periode waktu yang sama, IPM tertinggi pada *cluster* 2 adalah sebesar 62,04. Pada *cluster* 3 sebagian besar IPM di Jawa Timur adalah sebesar 64,65. IPM terendah pada *cluster* 3 adalah 63,42. Sedangkan pada periode waktu yang sama, IPM tertinggi pada *cluster* 3 adalah sebesar 64,15. Pada *cluster* 4 sebagian besar IPM di Jawa Timur adalah sebesar 75,37. IPM terendah pada *cluster* 4 adalah 73,95. Sedangkan pada periode waktu yang sama, IPM tertinggi pada *cluster* 4 adalah sebesar 76,65. Pada *cluster* 5 sebagian besar IPM di Jawa Timur adalah sebesar 67,47. IPM terendah pada *cluster* 5 adalah 66,18. Sedangkan pada periode waktu yang sama, IPM tertinggi pada *cluster* 5 adalah sebesar 68,83.

Dari hasil deskripsi tersebut dapat disimpulkan bahwa *cluster* 2 memiliki IPM terendah dibandingkan dengan *cluster* yang lain, sedangkan pada *cluster* 4 memiliki IPM tertinggi dibandingkan dengan *cluster* yang lain. Urutan *cluster* yang memiliki rata-rata IPM terendah hingga tertinggi adalah *cluster* 2, *cluster* 3, *cluster* 5, *cluster* 1, *cluster* 4. Sehingga wilayah pada *cluster* 2 tersebut membutuhkan bantuan pemerintah yang lebih banyak dalam meningkatkan pembangunan di bidang pendidikan, kesehatan, dan pendapatan untuk mencapai penyetaraan IPM di Jawa Timur.

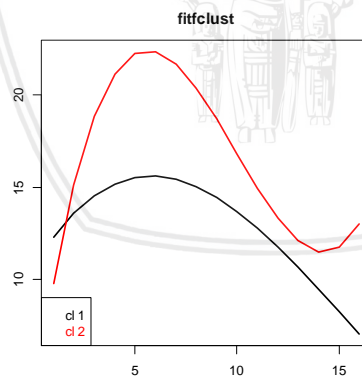
3. Pengelompokan Kurva Pertumbuhan Ekonomi

Pengelompokan kabupaten/kota di Jawa Timur berdasarkan pertumbuhan ekonomi ini dilakukan menggunakan *Functional Cluster Analysis* (FCA). Gambar 4.34 berikut adalah gambaran mengenai banyaknya *cluster* yang terbentuk untuk variabel IPM.



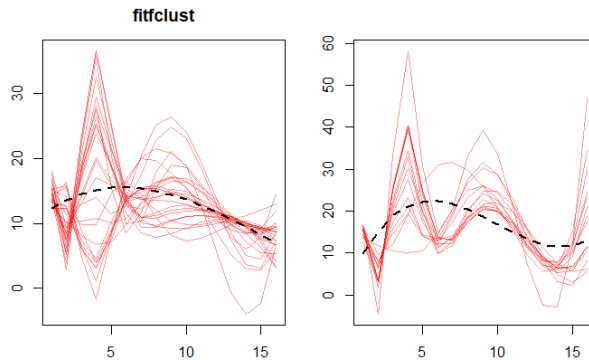
Gambar 4.40. Pengelompokan Kabupaten/kota berdasarkan Variabel Pertumbuhan Ekonomi

Berdasarkan Gambar 4.40 dapat dilihat bahwa *cluster* optimal yang terbentuk untuk variabel pertumbuhan ekonomi adalah sebanyak 2 *cluster*. Dari pengelompokan kurva tersebut didapatkan plot pusat *cluster* yang dapat dilihat pada Gambar 4.41 dan plot terpisah untuk setiap *cluster* dengan jarak ke pusat *cluster* pada Gambar 4.42.



Gambar 4.41. Pusat *Cluster* dari Variabel Pertumbuhan Ekonomi

Estimasi parameter kurva pada Gambar 4.41 dapat dilihat pada Lampiran 25. Estimasi parameter dilakukan dengan menggunakan algoritma EM.



Gambar 4.42. Plot terpisah untuk Setiap *Cluster* dari Variabel Pertumbuhan Ekonomi

Dari proses pengelompokan kurva berbasis model tersebut dihasilkan anggota *cluster* untuk variabel pertumbuhan ekonomi yang dapat dilihat pada Tabel 4.35.

Tabel 4.35. Anggota *Cluster* untuk Variabel Pertumbuhan ekonomi

Cluster	Jumlah Anggota	Anggota
1	24	Kabupaten Sampang, Kota Probolinggo, Kota Mojokerto, Kabupaten Bangkalan, Kabupaten Pacitan, Kota Kediri, Kabupaten Bondowoso, Kota Pasuruan, Kabupaten Pamekasan, Kabupaten Ponorogo, Kabupaten Situbondo, Kota Madiun, Kabupaten Lumajang, Kabupaten Probolinggo, Kabupaten Ngawi, Kota Malang, Kabupaten Trenggalek, Kabupaten Magetan, Kabupaten Gresik, Kota Blitar, Kabupaten Nganjuk, Kabupaten Sidoarjo, Kabupaten Tulungagung, Kota Surabaya.
2	14	Kabupaten Kediri, Kabupaten Madiun, Kabupaten Tuban, Kabupaten Sumenep, Kabupaten Jember, Kota Batu, Kabupaten Mojokerto, Kabupaten Blitar, Kabupaten Banyuwangi, Kabupaten Malang, Kabupaten

Cluster	Jumlah Anggota	Anggota
		Jombang, Kabupaten Lamongan, Kabupaten Pasuruan, Kabupaten Bojonegoro, Kota Pasuruan.

Identifikasi karakteristik tiap *cluster* menggambarkan keadaan umum *cluster* yang terbentuk dari hasil FCA. Anggota masing-masing *cluster* memiliki karakteristik yang berbeda-beda dengan *cluster* lain. Berikut ringkasan statistika deskriptif masing-masing *cluster* untuk variabel pertumbuhan ekonomi.

Tabel 4.36. Statistika Deskriptif Hasil *Cluster* Variabel Pertumbuhan Ekonomi

Cluster	Rata-rata	Minimum	Maksimum
1	12,56	9,67	14,61
2	16,63	14,93	22,33

Karakteristik masing-masing *cluster* untuk pertumbuhan ekonomi berdasarkan Tabel 4.36 dapat dilihat bahwa dalam periode waktu 2002 hingga 2017, sebagian besar pertumbuhan ekonomi di jawa timur pada *cluster* 1 adalah sebesar 12,56%. pertumbuhan ekonomi terendah pada *cluster* 1 adalah 9,67%. Sedangkan pada periode waktu yang sama, pertumbuhan ekonomi tertinggi pada *cluster* 1 adalah sebesar 14,61%. Pada *cluster* 2 sebagian besar pertumbuhan ekonomi di jawa timur adalah sebesar 16,63%. pertumbuhan ekonomi terendah pada *cluster* 2 adalah 14,93%. Sedangkan pada periode waktu yang sama, pertumbuhan ekonomi tertinggi pada *cluster* 2 adalah sebesar 22,33%.

Dari hasil deskripsi tersebut dapat disimpulkan bahwa *cluster* 1 memiliki rata-rata pertumbuhan ekonomi lebih rendah dibandingkan dengan *cluster* 2, sehingga wilayah pada *cluster* 1 tersebut membutuhkan bantuan pemerintah yang lebih banyak dalam meningkatkan produksi untuk meningkatkan perekonomian daerah sehingga tercapai pemerataan pertumbuhan ekonomi di jawa timur.

BAB V

PENUTUP

5.1. Kesimpulan

Berdasarkan hasil analisis dan pembahasan *Functional Cluster Analysis* (FCA) yang telah dilakukan pada penelitian ini, maka dapat disimpulkan bahwa:

1. Fungsi dasar untuk membentuk FCA dari setiap kabupaten/kota pada variabel persentase penduduk miskin memiliki pola menurun dari waktu ke waktu, sedangkan untuk variabel IPM memiliki pola naik pada periode awal kemudian pada periode pertengahan selama satu periode turun secara serentak yang disebabkan oleh perubahan metode dalam menghitung IPM, dan kemudian naik secara terus-menerus sampai akhir periode. Untuk variabel pertumbuhan ekonomi terjadi fluktuasi dari waktu ke waktu dan memiliki pola acak atau tidak memiliki pola tertentu.
2. Laju perubahan dari fungsi dasar kabupaten/kota Jawa Timur untuk variabel persentase penduduk miskin, IPM, dan pertumbuhan ekonomi menunjukkan fluktuasi yang berbeda-beda di setiap kabupaten/kota dari waktu ke waktu dan pada variabel persentase penduduk miskin terdapat beberapa kabupaten/kota yang stabil pada akhir periode, sedangkan pada variabel IPM selalu terjadi penurunan pada pertengahan periode.
3. Laju perubahan kecepatan dari fungsi *velocity* dari kabupaten/kota Jawa Timur untuk variabel persentase penduduk miskin, IPM, dan pertumbuhan ekonomi menunjukkan fluktuasi dari tahun ke tahun.
4. Penerapan FCA untuk segmentasi wilayah menghasilkan jumlah *cluster* dan anggota *cluster* yang berbeda-beda pada setiap variabel. *Cluster* yang memiliki rata-rata persentase penduduk miskin tertinggi dan *cluster* yang memiliki rata-rata IPM dan pertumbuhan ekonomi terendah akan diprioritaskan pemerintah dalam pemberian bantuan dana agar pemerataan pembangunan wilayah dapat tercapai.

5.2. Saran

Saran yang dapat diberikan berdasarkan hasil FCA ini, yaitu:

1. Untuk penelitian selanjutnya, peneliti dapat menggunakan metode pembentukan kurva nonparametrik selain model *B-spline*, yaitu

- dapat menggunakan pendekatan *kernel*, *spline*, *K-Nearest Neigbor*, dan *Estimator Deret Fourier*.
2. Segmentasi wilayah ini dapat digunakan pemerintah dalam memetakan Dana Alokasi Umum untuk pembangunan secara merata dan mengutamakan pada wilayah-wilayah yang tergolong dalam kelompok persentase penduduk miskin yang tinggi, IPM yang rendah, serta pertumbuhan ekonomi yang rendah.



DAFTAR PUSTAKA

- Badan Pusat Statistik, 2014. *Kajian Indikator Sustainable Development Goals (SDGs)*. Badan Pusat Statistik, Jakarta.
- Badan Pusat Statistik, 2007. *Analisis dan Perhitungan Tingkat Kemiskinan Tahun 2007*, Jakarta.
- Benko, M., 2004. Functional Principal Components Analysis, Implementation and Applications. *Thesis*. Center of Applied Statistics and Economics, Humboldt University, Berlin.
- Boediono, 1999. Teori Pertumbuhan Ekonomi. BPFE, Yogyakarta.
- Budiantara, I.N., 2006. Model Spline dengan knots optimal. *Jurnal Ilmu Dasar*, 7, hal.77-85.
- Budiantara, I N., 2009. *Spline Dalam Regresi Nonparametrik dan Semiparametrik: Sebuah Pemodelan Statistika Masa Kini dan Masa Mendatang*. Institut Teknologi Sepuluh November, Surabaya.
- Burnham, K.P. and Anderson, D.R. 2002. Model Selection and Inference: A Practical Information-Theoretic Approach. 2nd Edition, Springer-Verlag, New York.
- Dass, M. dan Shropshire, C., 2012. Introducing Functional Data Analysis to Managerial Science. *Organizational Research Methods*, 15(4), hal. 693-721.
- Eubank, R., 1999. *Nonparametric Regression and Spline Smoothing*. Marcel Dekker, New York.
- Fernandes, A.A.R., 2015, *Spline Estimator for Bi-Responses and Multi-Predictors Nonparametric Regression Model in Case of Longitudinal Data*, Disertasi, Institut Teknologi Sepuluh November, Surabaya.
- Gaffney, S., 2004. Probabilistic Curve-aligned Clustering and Prediction with Regression Mixture Models. *Disertasi*. University of California, Irvine).

- Gyorfy, L., 2002. *A Distribution-Free Theory of Nonparametric Regression*. Springer-Verlag, New York.
- Hair, J.F., Black, W.C., Babin, B. J. dan Anderson, R.E. 2010. Multivariate Data Analysis, 7th. Pearson Prentice Hall, New Jersey.
- Härdle, W. 1990. *Applied Nonparametric Regression*. Cambridge University Press, New York.
- Hayati, B. T. dan Alfana, M. A. F., 2016. Kebijakan Kependudukan di Kabupaten Sleman Pasca Berakhirnya MDGs. *Jurnal Kajian*
- Jacques, J. dan Preda, C., 2014. Functional Data clustering: a survey. *Advances in Data Analysis and Classifications*, 8(3), hal. 24.
- James, G.M. dan Sugar, C.A., 2003. Clustering for sparsely sampled functional data. *Journal of the American Statistical Association*, 98(462), hal. 397-408.
- Jhingan, M.L., 2000. Ekonomi Pembangunan dan Perencanaan. PT Raja Grafindo Persada, Jakarta.
- Johnson, R.A. and Wichern, D.W., 2007. *Applied Multivariate Statistical Analysis*. Pearson Education, New Jersey.
- Ordonez, C., Barzola, O.R., dan Sierra, C., 2016. Sediment Particle Size Distributions Apportionment by Means of Functional Cluster Analysis (FCA). *Catena*, 137, hal. 31-36.
- Ramsay, J.O dan Silverman, B.W., 2005. *Functional Data Analysis*, 2nd. Springer, New York.
- Reddy, S. K., & Dass, M., 2006. Modeling on-line art auction dynamics using functional data analysis. *Statistical Science*, 21(2), hal. 179-193.
- Rencher, A.C., 2002. *Methods of Multivariate Analysis*, 2nd. Springer, New York.
- Santoso, 2010. *Statistik Multivariat, Konsep dan Aplikasi dengan SPSS*. PT Alex Media Komputindo, Jakarta.

- Siswadi dan Suharjo, 1998. *Analisis Regresi dan Korelasi Data Peubah Ganda*. IPB Press kampus IPB Taman Kencana Bogor. Bogor.
- Strandberg, J., 2013. *Cluster analysis for functional data*. Master Thesis.
Department of Mathematics and Mathematical Statistics, Umeå University Supervisors: Konrad Abramowicz and Lina Schelin.
- Wu, H. dan Zhang, J.T., 2006. *Nonparametric Regression Methods for Longitudinal Data Analysis*. Wiley-Interscience, USA.





LAMPIRAN

Lampiran 1. Data IPM, Indeks Pembangunan, dan Pertumbuhan Ekonomi tiap Kabupaten/kota di Provinsi Jawa Timur pada periode 2002 hingga 2017

No	Wilayah	Tahun	PM (%)	IPM	PE (%)
1	Kabupaten Pacitan	2002	25,02	65,7	12,96
		2003	24,98	64,07	9,82
		2004	24,73	67,59	10,83
		2005	24,25	68,09	-3,19
		2006	25,39	69,78	14,76
		2007	23,31	70,48	11,68
		2008	21,17	70,91	14,71
		2009	19,01	71,45	9,95
		2010	19,50	61,14	23,66
		2011	18,10	62,03	11,36
		2012	17,23	62,94	11,66
		2013	16,66	63,38	11,07
		2014	16,18	63,81	11,43
		2015	16,68	64,92	10,47
		2016	15,49	65,74	10,15
		2017	15,42	66,51	8,17
2	Kabupaten Ponorogo	2002	20,82	62,6	13,33
		2003	17,76	62,65	10,54
		2004	17,61	65,65	11,11
		2005	17,60	66,45	19,19
		2006	18,45	67,13	15,14
		2007	18,23	68,55	12,55
		2008	16,62	69,07	15,4
		2009	14,63	69,75	12,41
		2010	13,22	64,13	17,04
		2011	12,30	65,28	11,15
		2012	11,72	66,16	10,92
		2013	11,87	67,03	10,01
		2014	11,53	67,4	10,21
		2015	11,91	68,16	11,36
		2016	11,75	68,93	10,08
		2017	11,39	69,26	8,17

Lampiran 1. Lanjutan

No	Wilayah	Tahun	PM (%)	IPM	PE (%)
3	Kabupaten Trenggalek	2002	29,55	68,2	13,75
		2003	24,12	67,8	10,32
		2004	24,09	69,42	11,39
		2005	23,17	70,18	22,57
		2006	24,74	71,22	16,66
		2007	22,79	71,68	12,56
		2008	20,64	72,15	16,02
		2009	18,27	72,72	11,47
		2010	16,00	63,67	28,42
		2011	14,90	64,27	12,33
		2012	14,16	65,01	11,46
		2013	13,50	65,76	10,42
		2014	13,10	66,16	11,71
		2015	13,39	67,25	10,88
		2016	13,24	67,78	9,4
		2017	12,96	68,1	8,05
4	Kabupaten Tulungagung	2002	18,12	67,6	15,4
		2003	16,70	68,79	11,72
		2004	16,44	69,93	12,03
		2005	17,56	70,48	48,88
		2006	19,44	70,7	16,09
		2007	17,83	72	13,05
		2008	12,41	72,45	15,27
		2009	10,60	72,93	10,42
		2010	10,64	67,28	5,31
		2011	9,90	67,76	12,42
		2012	9,37	68,29	11,45
		2013	9,03	69,3	10,64
		2014	8,75	69,49	10,86
		2015	8,57	70,07	10,22
		2016	8,23	70,82	9,54
		2017	8,04	71,24	8,4

Lampiran 1. Lanjutan

No	Wilayah	Tahun	PM (%)	IPM	PE (%)
5	Kabupaten Blitar	2002	18,57	67,4	13,63
		2003	17,19	67,67	11,11
		2004	16,13	69,45	11,21
		2005	16,11	70,33	53,58
		2006	17,91	72,05	16,73
		2007	16,47	72,28	14,06
		2008	14,53	72,74	15,43
		2009	13,19	73,22	10,11
		2010	12,13	64,79	40,71
		2011	11,30	65,47	11,1
		2012	10,71	66,17	10,3
		2013	10,53	66,49	9,5
		2014	10,22	66,88	10,96
		2015	9,97	68,13	10,93
		2016	9,88	68,88	9,54
		2017	9,80	69,33	7,91
6	Kabupaten Kediri	2002	19,88	66,1	13,7
		2003	19,62	68,39	10,2
		2004	17,27	68,15	11,41
		2005	17,64	68,67	20,61
		2006	19,28	69,34	15,11
		2007	18,98	70,39	13,82
		2008	18,85	70,85	14,5
		2009	17,05	71,33	9,26
		2010	15,52	66,24	59,4
		2011	14,40	66,84	11,89
		2012	13,67	67,29	10,6
		2013	13,17	68,01	11,12
		2014	12,77	68,44	10,56
		2015	12,91	68,91	9,88
		2016	12,72	69,87	8,9
		2017	12,25	70,47	8

Lampiran 1. Lanjutan

No	Wilayah	Tahun	PM (%)	IPM	PE (%)
7	Kabupaten Malang	2002	19,05	65,2	14,55
		2003	18,24	65,94	11,49
		2004	16,22	66,44	11,56
		2005	16,17	66,92	52,8
		2006	17,10	68,39	18,26
		2007	15,66	69,07	12,98
		2008	15,08	69,55	13,85
		2009	13,57	70,09	9,5
		2010	12,54	63,47	36,77
		2011	11,70	63,97	12,71
		2012	11,01	64,71	11,54
		2013	11,44	65,2	10,34
		2014	11,07	65,59	11,55
		2015	11,53	66,63	11,24
		2016	11,49	67,51	10,05
		2017	11,04	68,47	22,98
8	Kabupaten Lumajang	2002	22,31	61,4	14,05
		2003	19,77	61,96	10,77
		2004	17,96	64,02	11,69
		2005	18,95	64,5	30,91
		2006	20,02	65,9	15,59
		2007	20,09	66,2	12,03
		2008	18,17	66,65	13,38
		2009	15,83	67,26	9,82
		2010	13,98	59,62	13,47
		2011	13,00	60,72	12,75
		2012	12,36	61,31	10,6
		2013	12,09	61,87	10,42
		2014	11,75	62,33	11,95
		2015	11,52	63,02	11,07
		2016	11,22	63,74	9,16
		2017	10,87	64,23	7,69

Lampiran 1. Lanjutan

No	Wilayah	Tahun	PM (%)	IPM	PE (%)
9	Kabupaten Jember	2002	18,68	58,1	15,39
		2003	19,76	58,62	10,99
		2004	17,24	60,9	11,91
		2005	18,55	61,72	37,77
		2006	18,54	63,04	16,32
		2007	18,57	63,27	12,79
		2008	17,74	63,71	14,39
		2009	15,43	64,33	10,14
		2010	13,27	59,94	45,38
		2011	12,40	60,64	10,62
		2012	11,77	61,31	10,54
		2013	11,63	62,43	8,38
		2014	11,28	62,64	11,69
		2015	11,22	63,04	10,83
		2016	10,97	64,01	10,26
		2017	11,00	64,96	6,39
10	Kabupaten Banyuwangi	2002	17,40	62,6	14,8
		2003	17,85	64,56	10,68
		2004	15,90	65,35	12,35
		2005	15,58	66,02	52,31
		2006	16,64	66,8	16,32
		2007	15,33	67,24	13,4
		2008	13,91	67,8	15,76
		2009	12,16	68,36	11,58
		2010	11,25	64,54	41,3
		2011	10,50	65,48	13,24
		2012	9,94	66,12	13,42
		2013	9,57	66,74	11,91
		2014	9,29	67,31	12,29
		2015	9,17	68,08	12,33
		2016	8,79	69	9,85
		2017	8,64	69,64	1,87

Lampiran 1. Lanjutan

No	Wilayah	Tahun	PM (%)	IPM	PE (%)
11	Kabupaten Bondowoso	2002	25,81	54,1	14,02
		2003	25,43	54,85	10,37
		2004	24,36	59	11,06
		2005	24,31	59,9	-2,98
		2006	26,23	60,36	16,59
		2007	24,23	60,76	12,43
		2008	22,23	61,26	13
		2009	20,18	62,11	9,85
		2010	17,89	59,47	25,49
		2011	16,70	60,46	12,18
		2012	15,76	62,24	11,32
		2013	15,23	63,21	10,89
		2014	14,76	63,43	10,88
		2015	14,96	63,95	10,79
		2016	15,00	64,52	9,51
		2017	14,54	64,75	8,16
12	Kabupaten Situbondo	2002	23,71	56,2	13,71
		2003	20,57	55,89	11,32
		2004	18,54	59,94	12,13
		2005	18,51	60,23	28,38
		2006	17,43	61,79	16,6
		2007	15,60	62,64	12,53
		2008	18,02	63,06	14,06
		2009	15,99	63,69	9,99
		2010	16,23	60,07	2,65
		2011	15,10	60,82	11,79
		2012	14,30	62,23	11,56
		2013	13,59	63,43	10,77
		2014	13,15	63,91	11,08
		2015	13,63	64,53	10,31
		2016	13,34	65,08	9,43
		2017	13,05	65,68	14,76

Lampiran 1. Lanjutan

No	Wilayah	Tahun	PM (%)	IPM	PE (%)
13	Kabupaten Probolinggo	2002	25,01	56,8	14,43
		2003	25,29	57,2	9,61
		2004	26,17	59,12	11,19
		2005	26,08	59,75	37,14
		2006	28,06	60,63	16,71
		2007	27,42	60,97	13,29
		2008	30,13	61,44	14,1
		2009	27,69	62,13	10,25
		2010	25,22	59,83	11,12
		2011	23,50	60,3	12,29
		2012	22,15	61,33	11,39
		2013	21,12	62,61	10,82
		2014	20,44	63,04	11,17
		2015	20,82	63,83	10,93
		2016	20,98	64,12	9,27
		2017	20,52	65,68	6,86
14	Kabupaten Pasuruan	2002	22,48	61,5	15,95
		2003	20,51	62,05	10,91
		2004	20,27	63,68	12,34
		2005	20,16	64,17	7,52
		2006	21,67	65,29	49,81
		2007	19,88	65,52	19,5
		2008	18,04	66,02	34,07
		2009	15,58	66,84	3,79
		2010	13,18	60,79	60,48
		2011	12,30	61,43	12,66
		2012	11,54	62,31	10,69
		2013	11,22	63,74	8,47
		2014	10,86	64,35	10,79
		2015	10,72	65,04	9,57
		2016	10,57	65,71	8,82
		2017	10,34	65,68	17,89

Lampiran 1. Lanjutan

No	Wilayah	Tahun	PM (%)	IPM	PE (%)
15	Kabupaten Sidoarjo	2002	13,15	71,7	13,96
		2003	13,01	71,05	9,62
		2004	12,77	73,32	10,46
		2005	14,02	73,98	48
		2006	12,97	74,54	11,52
		2007	13,05	74,87	12,39
		2008	8,35	75,35	12,91
		2009	6,91	75,88	8,38
		2010	7,45	73,75	32,68
		2011	7,00	74,48	12,49
		2012	6,42	75,14	11,64
		2013	6,69	76,39	9,49
		2014	6,40	76,78	9,93
		2015	6,44	77,43	9,21
		2016	6,39	78,17	7,85
		2017	6,23	66,69	13,26
16	Kabupaten Mojokerto	2002	20,18	67,7	10,87
		2003	17,18	70,03	9,87
		2004	16,09	69,54	10,94
		2005	16,00	70,26	44,23
		2006	16,90	70,61	15,17
		2007	14,86	71,99	12,08
		2008	14,61	72,51	14,69
		2009	13,24	72,93	9,54
		2010	12,23	68,14	48,24
		2011	11,40	68,71	12,15
		2012	10,67	69,17	11,03
		2013	10,94	69,84	9,22
		2014	10,56	70,22	10,09
		2015	10,57	70,85	9,55
		2016	10,61	71,38	8,89
		2017	10,19	72,26	19,52

Lampiran 1. Lanjutan

No	Wilayah	Tahun	PM (%)	IPM	PE (%)
17	Kabupaten Jombang	2002	25,15	66	14,09
		2003	24,57	68,81	9,91
		2004	24,13	68,68	11,41
		2005	24,07	69,43	51,33
		2006	23,34	70,29	15,83
		2007	21,21	71,44	12,19
		2008	16,46	71,85	13,13
		2009	14,46	72,33	8,04
		2010	13,84	66,2	42,11
		2011	12,90	66,84	11,51
		2012	12,19	67,82	10,14
		2013	11,12	68,63	9,48
		2014	10,80	69,07	10,21
		2015	10,79	69,59	10,08
		2016	10,70	70,03	9,17
		2017	10,48	70,88	36,26
18	Kabupaten Nganjuk	2002	27,55	64,7	13,28
		2003	23,53	65,26	10,69
		2004	23,38	67,16	11,33
		2005	23,35	67,51	42,35
		2006	25,83	68,47	16,49
		2007	23,79	69,25	13,65
		2008	19,77	69,73	14,2
		2009	17,22	70,27	10,18
		2010	14,91	65,6	15,2
		2011	13,90	66,58	11,48
		2012	13,17	68,07	10,8
		2013	13,55	68,98	10,91
		2014	13,14	69,59	10,36
		2015	12,69	69,9	10,89
		2016	12,25	70,5	10,42
		2017	11,98	70,69	8,42

Lampiran 1. Lanjutan

No	Wilayah	Tahun	PM (%)	IPM	PE (%)
19	Kabupaten Madiun	2002	26,10	64,2	14,44
		2003	24,46	67,07	11,18
		2004	23,71	66,33	12,12
		2005	21,32	66,9	33,88
		2006	22,66	67,75	14,59
		2007	20,98	68,24	11,48
		2008	18,50	68,63	15,18
		2009	16,97	69,28	9,59
		2010	15,45	64,87	39,57
		2011	14,40	65,98	11,82
		2012	13,66	67,32	11,2
		2013	12,40	68,07	10,46
		2014	12,04	68,6	10,62
		2015	12,54	69,39	10,58
		2016	12,69	69,67	9,23
		2017	12,28	70,27	17,63
20	Kabupaten Magetan	2002	17,16	67,4	15,72
		2003	17,39	69,78	10,53
		2004	17,14	69,78	11,96
		2005	17,12	69,91	32,37
		2006	18,27	70,55	15,47
		2007	16,87	71,2	11,94
		2008	15,67	71,79	15
		2009	13,97	72,32	9,65
		2010	12,94	67,58	24,33
		2011	12,00	68,52	11,22
		2012	11,46	69,56	10,13
		2013	12,14	69,86	10,78
		2014	11,80	70,29	10,9
		2015	11,35	71,39	10,33
		2016	11,03	71,94	9,35
		2017	10,48	72,6	8,89

Lampiran 1. Lanjutan

No	Wilayah	Tahun	PM (%)	IPM	PE (%)
21	Kabupaten Ngawi	2002	26,70	62,3	14,01
		2003	25,17	64,18	9,72
		2004	25,26	64,39	10,79
		2005	23,43	65,15	21,84
		2006	25,31	65,96	16,22
		2007	23,33	67,52	12,36
		2008	20,86	68,02	14,18
		2009	19,01	68,41	10,4
		2010	18,26	64,52	30,18
		2011	16,70	65,84	12,5
		2012	15,94	66,72	11,93
		2013	15,38	67,25	12,17
		2014	14,88	67,78	10,26
		2015	15,61	68,32	12,5
		2016	15,27	68,96	10,15
		2017	14,91	69,27	4,43
22	Kabupaten Bojonegoro	2002	28,34	60,6	13,59
		2003	28,12	61,22	8,67
		2004	27,70	63,24	10,43
		2005	27,12	63,6	78,1
		2006	28,38	64,93	20,15
		2007	26,37	65,5	18,01
		2008	23,87	65,83	25,45
		2009	21,27	66,38	10,74
		2010	18,78	62,19	74,21
		2011	17,50	63,22	23,67
		2012	16,60	64,2	5,17
		2013	15,95	64,85	9,75
		2014	15,48	65,27	4,6
		2015	15,71	66,17	-4,14
		2016	14,60	66,73	14
		2017	14,34	67,28	44,8

Lampiran 1. Lanjutan

No	Wilayah	Tahun	PM (%)	IPM	PE (%)
23	Kabupaten Tuban	2002	30,39	61,1	13,6
		2003	29,10	63,27	11,11
		2004	28,36	63,63	12,64
		2005	28,28	64,21	3,62
		2006	30,52	66,46	19,47
		2007	28,51	66,61	14,27
		2008	25,84	67,02	15,54
		2009	23,01	67,68	11,1
		2010	20,19	61,33	54,96
		2011	18,80	62,47	11,59
		2012	17,78	63,36	11,16
		2013	17,16	64,14	10,21
		2014	16,64	64,58	11,74
		2015	17,08	65,52	9,35
		2016	17,14	66,19	8,15
		2017	16,87	66,77	25,12
24	Kabupaten Lamongan	2002	29,66	63,9	13,34
		2003	27,81	64,79	9,89
		2004	25,74	66,59	12,69
		2005	23,13	66,86	24,29
		2006	25,74	67,41	17,21
		2007	25,79	67,88	12,61
		2008	22,51	68,33	15,32
		2009	20,47	69,03	11,13
		2010	18,70	65,4	69,78
		2011	17,40	66,21	12,03
		2012	16,64	67,51	12,41
		2013	16,12	68,9	11,75
		2014	15,68	69,42	11,63
		2015	15,38	69,84	11,77
		2016	14,89	70,34	10,27
		2017	14,42	71,11	28,79

Lampiran 1. Lanjutan

No	Wilayah	Tahun	PM (%)	IPM	PE (%)
25	Kabupaten Gresik	2002	23,67	69,3	15,62
		2003	23,20	70,36	11,95
		2004	23,07	70,77	12,63
		2005	22,95	71,64	11,8
		2006	25,19	72,51	15,77
		2007	23,98	73	13,47
		2008	21,43	73,49	12,92
		2009	19,14	73,98	10,54
		2010	16,42	69,9	55,19
		2011	15,30	71,11	12,45
		2012	14,30	72,12	9,97
		2013	13,89	72,47	9,56
		2014	13,41	72,84	11,48
		2015	13,63	73,57	6,13
		2016	13,19	74,46	5,89
		2017	12,80	74,84	4,39
26	Kabupaten Bangkalan	2002	34,68	57,6	12,44
		2003	32,35	59,35	9,13
		2004	32,88	59,49	10,25
		2005	32,81	60,24	35
		2006	33,53	62,72	12,55
		2007	31,56	62,97	10,03
		2008	32,70	63,4	11,19
		2009	30,45	64	7,11
		2010	28,12	57,23	44,89
		2011	26,20	58,63	10,4
		2012	24,62	59,65	0,81
		2013	23,14	60,19	7,23
		2014	22,38	60,71	10,13
		2015	22,57	61,49	-12,35
		2016	21,41	62,06	3,18
		2017	21,32	62,3	4,42

Lampiran 1. Lanjutan

No	Wilayah	Tahun	PM (%)	IPM	PE (%)
27	Kabupaten Sampang	2002	41,78	49,7	12,5
		2003	39,41	51,12	9,22
		2004	39,75	54,16	10,61
		2005	39,68	54,98	1,6
		2006	41,03	56,27	13,49
		2007	39,42	56,99	9,04
		2008	34,53	57,66	11,25
		2009	31,94	58,68	7,03
		2010	32,47	54,49	34,06
		2011	30,20	55,17	9,04
		2012	27,88	55,78	8,27
		2013	26,97	56,45	13,42
		2014	25,80	56,98	3,25
		2015	25,69	58,18	-0,7
		2016	24,11	59,09	9,25
		2017	23,56	59,9	3,31
28	Kabupaten Pamekasan	2002	34,87	58,3	12,76
		2003	33,93	61,04	9,96
		2004	32,39	61,18	11,18
		2005	32,46	61,78	7,91
		2006	34,14	61,98	14,36
		2007	32,43	62,49	10,27
		2008	26,32	63,13	11,64
		2009	24,32	63,81	7,69
		2010	22,47	59,37	29,66
		2011	20,90	60,42	13,37
		2012	19,54	61,21	12,26
		2013	18,45	62,27	11,33
		2014	17,74	62,66	11,68
		2015	17,41	63,1	11,13
		2016	16,70	63,98	9,99
		2017	16,00	64,93	8,22

Lampiran 1. Lanjutan

No	Wilayah	Tahun	PM (%)	IPM	PE (%)
29	Kabupaten Sumenep	2002	31,08	56,5	13,8
		2003	29,15	55,3	9,67
		2004	30,34	60,5	11,8
		2005	32,50	61,19	39,15
		2006	34,86	63,08	18,02
		2007	32,98	63,71	11,05
		2008	29,46	64,24	12,39
		2009	26,89	64,82	9,62
		2010	24,61	57,27	41,84
		2011	23,10	58,7	15,33
		2012	21,88	60,08	15,02
		2013	21,13	60,84	26,3
		2014	20,49	61,43	11,64
		2015	20,20	62,38	-4,08
		2016	20,09	63,42	6,68
		2017	19,62	64,28	5,55
30	Kota Kediri	2002	15,97	70,8	13,29
		2003	14,45	70,89	11,13
		2004	13,58	72,68	13,76
		2005	13,62	73,22	30,83
		2006	13,85	73,59	14,8
		2007	13,67	74,45	9,01
		2008	11,71	75,11	12,91
		2009	10,41	75,68	11,18
		2010	9,31	72,2	2,82
		2011	8,60	72,93	10,29
		2012	8,11	73,66	12,04
		2013	8,20	74,18	9,28
		2014	7,95	74,62	9,24
		2015	8,51	75,67	10,35
		2016	8,40	76,33	8,96
		2017	8,49	77,13	1,91

Lampiran 1. Lanjutan

No	Wilayah	Tahun	PM (%)	IPM	PE (%)
31	Kota Blitar	2002	12,82	71	14,94
		2003	12,39	69,59	13,13
		2004	11,75	74,61	13,65
		2005	11,67	75,1	-3,29
		2006	11,99	75,58	15,42
		2007	12,02	75,88	12,59
		2008	9,34	76,6	15,98
		2009	7,56	76,98	10,88
		2010	7,63	72,56	62,84
		2011	7,10	73,08	10,56
		2012	6,73	73,53	10,38
		2013	7,39	74,53	10,02
		2014	7,15	75,26	9,84
		2015	7,29	76	9,87
		2016	7,18	76,71	9,69
		2017	8,03	77,1	3,83
32	Kota Malang	2002	9,37	71,4	16,29
		2003	8,50	68,33	11,82
		2004	7,22	73,19	13,42
		2005	7,20	73,85	48,72
		2006	7,42	75,34	15,52
		2007	7,19	75,72	13,13
		2008	7,22	76,19	17,55
		2009	5,58	76,69	7,89
		2010	5,90	76,69	11,16
		2011	5,50	77,36	10,6
		2012	5,19	78,04	10,01
		2013	4,85	78,44	9,69
		2014	4,80	78,96	8,07
		2015	4,60	80,05	10,61
		2016	4,33	80,46	9,66
		2017	4,17	80,65	0,9

Lampiran 1. Lanjutan

No	Wilayah	Tahun	PM (%)	IPM	PE (%)
33	Kota Probolinggo	2002	23,25	67,7	15,65
		2003	18,71	68,28	11,83
		2004	18,07	70,52	11,57
		2005	17,98	71,31	-1,12
		2006	17,82	71,51	15,96
		2007	16,19	72,76	12,15
		2008	23,29	73,29	13,69
		2009	21,06	73,73	7,7
		2010	19,03	67,3	17,21
		2011	17,70	68,14	8,05
		2012	18,33	68,93	9,5
		2013	17,35	70,05	9,61
		2014	8,37	70,49	9,19
		2015	8,17	71,01	10,11
		2016	7,97	71,5	9,11
		2017	7,84	72,09	3,17
34	Kota Pasuruan	2002	16,76	67,7	14,62
		2003	13,63	68,02	12,07
		2004	12,50	70,77	12,92
		2005	12,43	71,44	-12,12
		2006	13,71	71,98	17,41
		2007	12,61	72,2	16,19
		2008	11,20	72,6	15,71
		2009	9,34	73,01	10,8
		2010	9,00	69,69	35,82
		2011	8,40	70,41	10,31
		2012	7,88	72,01	9,13
		2013	7,57	72,89	8,79
		2014	7,34	73,23	10,03
		2015	7,47	73,78	10,43
		2016	7,62	74,11	9,48
		2017	7,53	74,39	11,04

Lampiran 1. Lanjutan

No	Wilayah	Tahun	PM (%)	IPM	PE (%)
35	Kota Mojokerto	2002	12,38	72,8	13,19
		2003	11,78	72,27	12,66
		2004	10,76	74,22	10,56
		2005	10,70	74,64	7,35
		2006	10,72	75,15	19,19
		2007	10,46	75,66	13,29
		2008	8,88	76,11	15,89
		2009	7,19	76,43	11,07
		2010	7,41	72,78	3,79
		2011	6,90	73,47	10,05
		2012	6,46	74,2	9,67
		2013	6,63	74,91	9,08
		2014	6,42	75,04	8,9
		2015	6,16	75,54	9,39
		2016	5,73	76,38	9,42
		2017	5,73	76,77	7,9
36	Kota Madiun	2002	11,38	70,7	15,91
		2003	10,16	71,94	12,64
		2004	9,09	73,51	12,28
		2005	9,11	73,88	-6,92
		2006	7,87	74,35	16,28
		2007	7,07	75,42	15,38
		2008	6,69	75,89	16,31
		2009	5,93	76,23	10,78
		2010	6,11	75,98	45,23
		2011	5,70	76,48	11,54
		2012	5,35	77,21	10,05
		2013	5,00	78,41	10,59
		2014	4,86	78,81	9,64
		2015	4,89	79,48	10,23
		2016	5,16	80,01	9,37
		2017	4,94	80,13	2,27

Lampiran 1. Lanjutan

No	Wilayah	Tahun	PM (%)	IPM	PE (%)
37	Kota Surabaya	2002	8,40	72	17,26
		2003	9,44	70,53	12,95
		2004	9,21	73,88	13,08
		2005	7,35	74,6	34,17
		2006	8,08	75,11	17,05
		2007	7,98	75,87	14,66
		2008	8,23	76,36	17,09
		2009	6,72	76,82	10,36
		2010	7,07	77,2	20,84
		2011	6,60	77,62	12,52
		2012	6,23	78,05	11,33
		2013	5,97	78,51	11,17
		2014	5,79	78,87	10,98
		2015	5,82	79,47	10,61
		2016	5,63	80,38	10,61
		2017	5,39	81,07	4,64
38	Kota Batu	2002	13,34	70,6	14,87
		2003	12,97	69,71	10,89
		2004	11,36	69,89	10,81
		2005	9,85	71	23,24
		2006	11,61	71,45	16,69
		2007	9,71	72,83	12,34
		2008	6,18	73,33	15,89
		2009	4,81	73,88	11,17
		2010	5,08	68,66	73,1
		2011	4,70	69,76	12,29
		2012	4,45	70,62	10,66
		2013	4,75	71,55	9,97
		2014	4,59	71,89	10,53
		2015	4,71	72,62	9,4
		2016	4,48	73,57	8,94
		2017	4,31	74,26	1,85

Lampiran 2. *Output Statistika Deskriptif*

IPM

Variable	N	N*	Mean	SE Mean	StDev	Minimum	Q1
Median			Q3	Maximum			
PM	608	0	16.205	0.300	7.387	4.170	10.887

15.355 20.623 41.78

IPM

Variable	N	N*	Mean	SE Mean	StDev	Minimum	Q1
IPM	608	0	67.843	0.224	5.522	49.700	63.955
Median			Q3	Maximum			

68.020 71.767 81.070

Pertumbuhan Ekonomi

Variable	N	N*	Mean	SE Mean	StDev	Minimum
PE	608	0	14.061	0.426	10.499	-12.350
Q1	Median		Q3	Maximum		

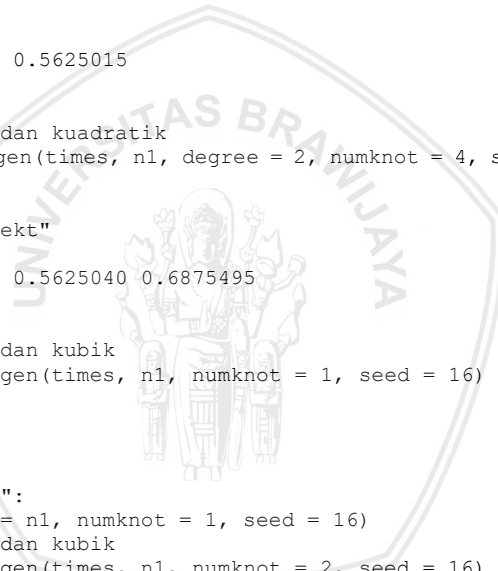
10.022 11.410 14.098 78.100

Lampiran 3. Output Pemilihan Model *B-spline* IPM

IPM Kota Malang

```
> library(freeknotsplines)
> library(splines2)
> ##knot Kota Malang untuk IPM
> times <- seq(0.0625,1,0.0625)
> data=read.csv("D://IPM untuk fitfclust.csv",sep=",",header=T)
> n1 <- data$Kota.Malang
> n1
[1] 9.37 8.50 7.22 7.20 7.42 7.19 7.42 5.58 5.90 5.50 5.21
[12] 4.87 4.80 4.60 4.33 4.17
> #####penentuan titik knot
> #banyak titik knot=1 dan linier
> xy.freek11 <- freelsgen(times, n1, degree = 1, numknot = 1, seed
= 16)
> xy.freek11
Slot "optknot":
[1] 0.1866824
Slot "GCV":
[1] 0.1783773
> #banyak titik knot=2 dan linier
> xy.freek12 <- freelsgen(times, n1, degree = 1, numknot = 2, seed
= 16)
> xy.freek12
Slot "optknot":
[1] 0.1968061 0.3125015
Slot "GCV":
[1] 0.173845
> #banyak titik knot=3 dan linier
> xy.freek13 <- freelsgen(times, n1, degree = 1, numknot = 3, seed
= 16)
> xy.freek13
Slot "optknot":
[1] 0.1924403 0.4374895 0.5000064
Slot "GCV":
[1] 0.03111885
> #banyak titik knot=4 dan linier
> xy.freek14 <- freelsgen(times, n1, degree = 1, numknot = 4, seed
= 16)
> xy.freek14
Slot "optknot":
[1] 0.1925067 0.4374977 0.5000116 0.6250194
Slot "GCV":
[1] 0.03341188
> #banyak titik knot=2 dan kuadratik
> xy.freek21 <- freelsgen(times, n1, degree = 2, numknot = 1, seed
= 16)
> xy.freek21
Slot "optknot":
[1] 0.1993613
Slot "GCV":
```

```
[1] 0.2141492
Slot "call":
freelsgen(x = times, y = n1, degree = 2, numknot = 1, seed = 16)
> #banyak titik knot=1 dan kuadratik
> xy.freek22 <- freelsgen(times, n1, degree = 2, numknot = 2, seed
= 16)
> xy.freek22
An object of class "freakt"
Slot "optknot":
[1] 0.2822930 0.4343405
Slot "GCV":
[1] 0.1488074
> #banyak titik knot=3 dan kuadratik
> xy.freek23 <- freelsgen(times, n1, degree = 2, numknot = 3, seed
= 16)
> xy.freek23
An object of class "freakt"
Slot "x":
Slot "optknot":
[1] 0.3749961 0.4523413 0.5625015
Slot "GCV":
[1] 0.1192293
> #banyak titik knot=4 dan kuadratik
> xy.freek24 <- freelsgen(times, n1, degree = 2, numknot = 4, seed
= 16)
> xy.freek24
An object of class "freakt"
Slot "optknot":
[1] 0.3749685 0.4587694 0.5625040 0.6875495
Slot "GCV":
[1] 0.1300389
> #banyak titik knot=1 dan kubik
> xy.freek31 <- freelsgen(times, n1, numknot = 1, seed = 16)
> xy.freek31
Slot "optknot":
[1] 0.2898566
Slot "GCV":
[1] 0.2080056
Slot "call":
freelsgen(x = times, y = n1, numknot = 1, seed = 16)
> #banyak titik knot=2 dan kubik
> xy.freek32 <- freelsgen(times, n1, numknot = 2, seed = 16)
> xy.freek32
Slot "optknot":
[1] 0.4280614 0.5000130
Slot "GCV":
[1] 0.1682075
> #banyak titik knot=3 dan kubik
> xy.freek33 <- freelsgen(times, n1, numknot = 3, seed = 16)
> xy.freek33
Slot "optknot":
[1] 0.1250136 0.3749992 0.4754551
Slot "GCV":
[1] 0.1639247
> #banyak titik knot=4 dan kubik
```



```
> xy.freekt34 <- freelsgen(times, n1, numknot = 4, seed = 16)
> xy.freekt34
Slot "optknot":
[1] 0.1250247 0.4374910 0.5000418 0.6250176
Slot "GCV":
[1] 0.1578975
```

IPM Kabupaten Kediri

```
> #banyak titik knot=1 dan kubik
> xy.freekt31 <- freelsgen(times, n2, numknot = 1, seed = 16)
> xy.freekt31
An object of class "freakt"
Slot "optknot":
[1] 0.3119001
Slot "GCV":
[1] 0.9467996
> #banyak titik knot=2 dan kubik
> xy.freekt32 <- freelsgen(times, n2, numknot = 2, seed = 16)
> xy.freekt32
Slot "optknot":
[1] 0.4374948 0.5460070
Slot "GCV":
[1] 0.4799838
> #banyak titik knot=3 dan kubik
> xy.freekt33 <- freelsgen(times, n2, numknot = 3, seed = 16)
> xy.freekt33
An object of class "freakt"
Slot "optknot":
[1] 0.1856065 0.3074031 0.5893039
Slot "GCV":
[1] 0.1472782
> #banyak titik knot=4 dan kubik
> xy.freekt34 <- freelsgen(times, n2, numknot = 4, seed = 16)
> xy.freekt34
An object of class "freakt"
Slot "optknot":
[1] 0.1874255 0.2658102 0.4374763 0.5213476
Slot "GCV":
[1] 0.1473627
```

IPM Kabupaten Sampang

```
> #banyak titik knot=1 dan kubik
> xy.freekt31 <- freelsgen(times, n3, numknot = 1, seed = 16)
> xy.freekt31
An object of class "freakt"
Slot "optknot":
[1] 0.1884215
Slot "GCV":
[1] 4.239913
> #banyak titik knot=2 dan kubik
> xy.freekt32 <- freelsgen(times, n3, numknot = 2, seed = 16)
```

```
> xy.freekt32
An object of class "freakt"
Slot "optknot":
[1] 0.4348152 0.5000053
Slot "GCV":
[1] 2.860487
> #banyak titik knot=3 dan kubik
> xy.freekt33 <- freelsgen(times, n3, numknot = 3, seed = 16)
> xy.freekt33
An object of class "freakt"
Slot "optknot":
[1] 0.4374913 0.5000008 0.6250047
Slot "GCV":
[1] 3.163191
> #banyak titik knot=4 dan kubik
> xy.freekt34 <- freelsgen(times, n3, numknot = 4, seed = 16)
> xy.freekt34
An object of class "freakt"
Slot "optknot":
[1] 0.3123987 0.4374423 0.5000060 0.6250086
Slot "GCV":
[1] 3.718475
```



Lampiran 4. Output Pemilihan Model *B-spline* IPM

IPM Kabupaten Sampang

```
> ##knot Kabupaten Sampang untuk IPM
> times <- seq(0.0625,1,0.0625)
> data=read.csv("D://IPM untuk fitfclust.csv",sep=",",header=T)
> n4 <- data$Kabupaten.Sampang
> #####penentuan titik knot
> #banyak titik knot=1 dan linier
> xy.freek11 <- freelsgen(times, n4, degree = 1, numknot = 1, seed
= 16)
> xy.freek11
Slot "optknot":
[1] 0.2664254
Slot "GCV":
[1] 2.23568
> #banyak titik knot=2 dan linier
> xy.freek12 <- freelsgen(times, n4, degree = 1, numknot = 2, seed
= 16)
> xy.freek12
Slot "optknot":
[1] 0.4873507 0.5668125
Slot "GCV":
[1] 0.3855537
> #banyak titik knot=3 dan linier
> xy.freek13 <- freelsgen(times, n4, degree = 1, numknot = 3, seed
= 16)
> xy.freek13
Slot "optknot":
[1] 0.2052915 0.4999948 0.5668197
Slot "GCV":
[1] 0.1036953
> #banyak titik knot=4 dan linier
> xy.freek14 <- freelsgen(times, n4, degree = 1, numknot = 4, seed
= 16)
> xy.freek14
Slot "optknot":
[1] 0.2054583 0.4999700 0.5625101 0.8124175
Slot "GCV":
[1] 0.09406256
> #banyak titik knot=1 dan kuadratik
> xy.freek21 <- freelsgen(times, n4, degree = 2, numknot = 1, seed
= 16)
> xy.freek21
Slot "optknot":
[1] 0.522916
Slot "GCV":
[1] 0.974101
> #banyak titik knot=2 dan kuadratik
> xy.freek22 <- freelsgen(times, n4, degree = 2, numknot = 2, seed
= 16)
> xy.freek22
```

```
Slot "optknot":  
[1] 0.5624972 0.6588613  
Slot "GCV":  
[1] 0.9053243  
> #banyak titik knot=1 dan kubik  
> xy.freek31 <- freelsgen(times, n4, numknot = 1, seed = 16)  
> xy.freek31  
Slot "optknot":  
[1] 0.8070511  
Slot "GCV":  
[1] 1.463206  
> #banyak titik knot=2 dan kubik  
> xy.freek32 <- freelsgen(times, n4, numknot = 2, seed = 16)  
> xy.freek32  
Slot "optknot":  
[1] 0.4999962 0.5625095  
Slot "GCV":  
[1] 0.9127446  
> #banyak titik knot=3 dan kubik  
> xy.freek33 <- freelsgen(times, n4, numknot = 3, seed = 16)  
> xy.freek33  
Slot "optknot":  
[1] 0.3749377 0.4884736 0.5625025  
Slot "GCV":  
[1] 0.9884564  
> #banyak titik knot=4 dan kubik  
> xy.freek34 <- freelsgen(times, n4, numknot = 4, seed = 16)  
> xy.freek34  
Slot "optknot":  
[1] 0.3749427 0.4999958 0.5625013 0.6875161  
Slot "GCV":  
[1] 0.8189325
```

IPM Kabupaten Nganjuk

```
> #banyak titik knot=1 dan kubik  
> xy.freek31 <- freelsgen(times, n5, degree = 3, numknot = 1, seed  
= 16)  
> xy.freek31  
Slot "optknot":  
[1] 0.7139237  
Slot "GCV":  
[1] 2.043999  
> #banyak titik knot=2 dan kubik  
> xy.freek32 <- freelsgen(times, n5, degree = 3, numknot = 2, seed  
= 16)  
> xy.freek32  
Slot "optknot":  
[1] 0.4982304 0.5625007  
Slot "GCV":  
[1] 1.24973  
> #banyak titik knot=3 dan kubik
```

```
> xy.freekt33 <- freelsgen(times, n5, degree = 3, numknot = 3, seed  
= 16)  
> xy.freekt33  
Slot "optknot":  
[1] 0.4999965 0.5884838 0.6875118  
Slot "GCV":  
[1] 0.9989496
```

IPM Kota Surabaya

```
> #banyak titik knot=1 dan kubik  
> xy.freekt31 <- freelsgen(times, n6, degree = 3, numknot = 1, seed  
= 16)  
> xy.freekt31  
Slot "optknot":  
[1] 0.1250014  
Slot "GCV":  
[1] 0.2513917  
> #banyak titik knot=2 dan kubik  
> xy.freekt32 <- freelsgen(times, n6, degree = 3, numknot = 2, seed  
= 16)  
> xy.freekt32  
Slot "optknot":  
[1] 0.1250127 0.2500391  
Slot "GCV":  
[1] 0.02374308  
> #banyak titik knot=3 dan kubik  
> xy.freekt33 <- freelsgen(times, n6, degree = 3, numknot = 3, seed  
= 16)  
> xy.freekt33  
Slot "optknot":  
[1] 0.1250089 0.2500176 0.3750209  
Slot "GCV":  
[1] 0.008626194  
> #banyak titik knot=4 dan kubik  
> xy.freekt34 <- freelsgen(times, n6, degree = 3, numknot = 4, seed  
= 16)  
> xy.freekt34  
Slot "optknot":  
[1] 0.1250266 0.2500155 0.3751014 0.8749905  
Slot "GCV":  
[1] 0.008653874
```

Lampiran 5. Output Pemilihan Model *B-spline* Pertumbuhan Ekonomi

Pertumbuhan Ekonomi Kabupaten Sampang

```
> library(freeknotsplines)
> library(splines2)
> library(fda)
> ##knot Kota Malang untuk IPM
> times <- seq(0.0625,1,0.0625)
> data=read.csv("D://PE untuk fifclust.csv",sep=",",header=T)
> n7 <- data$Kabupaten.Sampang
> n7
[1] 12.50  9.22 10.61  1.60 13.49  9.04 11.25  7.03 34.06  9.04
8.27 13.42  3.25
[14] -0.70  9.25  3.31
> #####penentuan titik knot
> #banyak titik knot=1 dan linier
> xy.freek11 <- freelsgen(times, n7, degree = 1, numknot = 1, seed
= 16)
> xy.freek11
Slot "optknot":
[1] 0.5624988
Slot "GCV":
[1] 63.00658
> #banyak titik knot=2 dan linier
> xy.freek12 <- freelsgen(times, n7, degree = 1, numknot = 2, seed
= 16)
> xy.freek12
Slot "optknot":
[1] 0.4999824 0.5625034
Slot "GCV":
[1] 57.69502
> #banyak titik knot=3 dan linier
> xy.freek13 <- freelsgen(times, n7, degree = 1, numknot = 3, seed
= 16)
> xy.freek13
Slot "optknot":
[1] 0.4999991 0.5625126 0.6875348
Slot "GCV":
[1] 41.65648
> #banyak titik knot=4 dan linier
> xy.freek14 <- freelsgen(times, n7, degree = 1, numknot = 4, seed
= 16)
> xy.freek14
Slot "optknot":
[1] 0.2498719 0.4999831 0.5625056 0.6875313
Slot "GCV":
[1] 48.01548
> #banyak titik knot=1 dan kuadratik
> xy.freek21 <- freelsgen(times, n7, degree = 2, numknot = 1, seed
= 16)
```

```
> #banyak titik knot=1 dan kubik
> xy.freek31 <- freelsgen(times, n7, degree = 3, numknot = 1, seed
= 16)
> xy.freek31
Slot "optknot":
[1] 0.5822196
Slot "GCV":
[1] 80.22531
> #banyak titik knot=2 dan kubik
> xy.freek32 <- freelsgen(times, n7, degree = 3, numknot = 2, seed
= 16)
> xy.freek32
Slot "optknot":
[1] 0.7499903 0.8749816
Slot "GCV":
[1] 89.62628
> #banyak titik knot=3 dan kubik
> xy.freek33 <- freelsgen(times, n7, degree = 3, numknot = 3, seed
= 16)
> xy.freek33
Slot "optknot":
[1] 0.4999633 0.5625256 0.6875090
Slot "GCV":
[1] 101.4051
> #banyak titik knot=4 dan kubik
> xy.freek34 <- freelsgen(times, n7, degree = 3, numknot = 4, seed
= 16)
> xy.freek34
Slot "optknot":
[1] 0.3748397 0.4936251 0.5625060 0.6875161
Slot "GCV":
[1] 119.9416
```

Pertumbuhan Ekonomi Kota Blitar

```
> #banyak titik knot=1 dan kubik
> xy.freek31 <- freelsgen(times, n8, degree = 3, numknot = 1,
seed = 16)
> xy.freek31
Slot "optknot":
[1] 0.5537728
Slot "GCV":
[1] 282.1559
> #banyak titik knot=2 dan kubik
> xy.freek32 <- freelsgen(times, n8, degree = 3, numknot = 2,
seed = 16)
> xy.freek32
Slot "optknot":
[1] 0.6249860 0.6875049
Slot "GCV":
[1] 312.8777
> #banyak titik knot=3 dan kubik
```

```
> xy.freekt33 <- freelsgen(times, n8, degree = 3, numknot = 3,  
seed = 16)  
> xy.freekt33  
An object of class "freakt"  
Slot "optknot":  
[1] 0.4999945 0.5625372 0.6875032  
Slot "GCV":  
[1] 286.7733  
> #banyak titik knot=4 dan kubik  
> xy.freekt34 <- freelsgen(times, n8, degree = 3, numknot = 4,  
seed = 16)  
> xy.freekt34  
Slot "optknot":  
[1] 0.4999453 0.5625053 0.6875752 0.8126867  
Slot "GCV":  
[1] 331.7959
```

Pertumbuhan Ekonomi Kabupaten Bojonegoro

```
> #banyak titik knot=1 dan kubik  
> xy.freekt31 <- freelsgen(times, n9, degree = 3, numknot = 1, seed  
= 16)  
> xy.freekt31  
Slot "optknot":  
[1] 0.728186  
Slot "GCV":  
[1] 773.5821  
> #banyak titik knot=2 dan kubik  
> xy.freekt32 <- freelsgen(times, n9, degree = 3, numknot = 2, seed  
= 16)  
> xy.freekt32  
Slot "optknot":  
[1] 0.486319 0.562500  
Slot "GCV":  
[1] 827.9025  
> #banyak titik knot=3 dan kubik  
> xy.freekt33 <- freelsgen(times, n9, degree = 3, numknot = 3, seed  
= 16)  
> xy.freekt33  
Slot "optknot":  
[1] 0.2499945 0.3161752 0.5335048  
Slot "GCV":  
[1] 668.3085  
> #banyak titik knot=4 dan kubik  
> xy.freekt34 <- freelsgen(times, n9, degree = 3, numknot = 4, seed  
= 16)  
> xy.freekt34  
Slot "optknot":  
[1] 0.2499830 0.3344188 0.5624826 0.6383493  
Slot "GCV":  
[1] 774.0682
```

Lampiran 6. Output Estimasi Parameter Fungsi *B-spline* IPM

Estimasi Parameter Fungsi IPM Kota Malang

Coefficients:

		Std.		
	Estimate	Error	t value	Pr(> t)
(Intercept)	9.37	0.281	33.348	7.14E-10
bSpline(times)1	0.5013	0.6362	0.788	0.453441
bSpline(times)2	-4.4043	0.7923	-5.559	0.000535
bSpline(times)3	-0.3436	0.6026	-0.57	0.584235
bSpline(times)4	-3.9148	0.4314	-9.074	1.74E-05
bSpline(times)5	-3.7924	0.6297	-6.022	0.000316
bSpline(times)6	-5.1089	0.5994	-8.523	2.76E-05
bSpline(times)7	-5.1615	0.3862	-13.363	9.41E-07

Residual standard error: 0.281 on 8 degrees of freedom
 Multiple R-squared: 0.983, Adjusted R-squared: 0.9682
 F-statistic: 66.15 on 7 and 8 DF, p-value: 1.886e-06

Estimasi Parameter Fungsi IPM Kabupaten Kediri

Coefficients:

		Std.		
	Estimate	Error	t value	Pr(> t)
(Intercept)	19.8796	0.2717	73.172	1.36E-12
bSpline(times)1	2.0431	0.7326	2.789	0.023609
bSpline(times)2	-4.2237	0.6062	-6.967	0.000116
bSpline(times)3	-0.8401	0.5449	-1.542	0.161691
bSpline(times)4	0.4759	0.4415	1.078	0.312493
bSpline(times)5	-8.0447	0.5643	-14.255	5.72E-07
bSpline(times)6	-6.4697	0.5759	-11.235	3.54E-06
bSpline(times)7	-7.5756	0.3682	-20.577	3.26E-08

Residual standard error: 0.2717 on 8 degrees of freedom
 Multiple R-squared: 0.9952, Adjusted R-squared: 0.9911
 F-statistic: 239.4 on 7 and 8 DF, p-value: 1.183e-08

IPM Kabupaten Sampang

Coefficients:

		Std.			
	Estimate	Error	t value	Pr(> t)	
(Intercept)	41.742	1.26	33.132	1.48E-11	***
bSpline(times)1	-6.587	3.211	-2.052	0.067327	.
bSpline(times)2	4.519	2.059	2.195	0.052918	.
bSpline(times)3	-17.104	2.563	-6.674	5.54E-05	***
bSpline(times)4	-14.244	2.638	-5.399	0.000302	***
bSpline(times)5	-18.47	1.767	-10.454	1.06E-06	***

Residual standard error: 1.337 on 10 degrees of freedom
 Multiple R-squared: 0.9752, Adjusted R-squared: 0.9628
 F-statistic: 78.65 on 5 and 10 DF, p-value: 1.066e-07

Lampiran 7. Output Estimasi Parameter Fungsi *B-spline* IPM

Estimasi Parameter Fungsi IPM Kabupaten Sampang

Coefficients:

		Std.		
	Estimate	Error	t value	Pr(> t)
(Intercept)	49.42	0.6166	80.149	6.55e-13 ***
bSpline(times)1	4.8549	1.6004	3.034	0.016222 *
bSpline(times)2	5.9998	1.3781	4.354	0.002433 **
bSpline(times)3	10.1263	1.1002	9.204	1.57e-05 ***
bSpline(times)4	4.1309	1.0283	4.017	0.003856 **
bSpline(times)5	7.7967	1.5174	5.138	0.000887 ***
bSpline(times)6	8.4193	1.3821	6.092	0.000292 ***
bSpline(times)7	10.5896	0.8736	12.121	1.99e-06 ***

Residual standard error: 0.6404 on 8 degrees of freedom
 Multiple R-squared: 0.9709, Adjusted R-squared: 0.9454
 F-statistic: 38.08 on 7 and 8 DF, p-value: 1.594e-05

Estimasi Parameter Fungsi IPM Kabupaten Nganjuk

Coefficients:

		Std.		
	Estimate	Error	t value	Pr(> t)
(Intercept)	64.4975	0.5352	120.513	2.51E-14
bSpline(times)1	2.643	1.3878	1.904	0.093333
bSpline(times)2	2.9176	1.1964	2.439	0.040653
bSpline(times)3	7.1896	0.9552	7.526	6.76E-05
bSpline(times)4	-0.525	0.8921	-0.588	0.572448
bSpline(times)5	6.9043	1.3178	5.239	0.000784
bSpline(times)6	4.7772	1.2	3.981	0.004057
bSpline(times)7	6.3222	0.7584	8.336	3.24E-05

Residual standard error: 0.5559 on 8 degrees of freedom
 Multiple R-squared: 0.9562, Adjusted R-squared: 0.918
 F-statistic: 24.98 on 7 and 8 DF, p-value: 7.865e-05

Estimasi Parameter Fungsi IPM Kabupaten Nganjuk

Coefficients:

		Std.		
	Estimate	Error	t value	Pr(> t)
(Intercept)	72	0.06965	1033.7	< 2e-16
bSpline(times)1	-6.1387	0.26444	-23.21	2.43E-09
bSpline(times)2	2.24919	0.18875	11.92	8.17E-07
bSpline(times)3	2.39366	0.11429	20.95	6.04E-09
bSpline(times)4	5.84732	0.14917	39.2	2.28E-11
bSpline(times)5	5.89964	0.14152	41.69	1.31E-11
bSpline(times)6	9.12549	0.09228	98.89	5.61E-15

Residual standard error: 0.06965 on 9 degrees of freedom
 Multiple R-squared: 0.9997, Adjusted R-squared: 0.9994
 F-statistic: 4363 on 6 and 9 DF, p-value: 4.622e-15

Lampiran 8. Output Estimasi Parameter Fungsi *B-spline* Pertumbuhan Ekonomi

Estimasi Parameter Fungsi Pertumbuhan Ekonomi Kabupaten Sampang

Coefficients:

	Estimate	Error	t value	Pr(> t)
(Intercept)	13.736	6.496	2.115	0.0581
bSpline(times)1	-18.66	14.888	-1.253	0.236
bSpline(times)2	23.683	13.802	1.716	0.1142
bSpline(times)3	-17.947	12.761	-1.406	0.1872
bSpline(times)4	-8.075	9.056	-0.892	0.3917
Residual standard error:	7.427	on 11 degrees of freedom		
Multiple R-squared:	0.3254,	Adjusted R-squared:	0.08006	
F-statistic:	1.326	on 4 and 11 DF,	p-value:	0.3202

Estimasi Parameter Fungsi Pertumbuhan Ekonomi Kota Blitar

Coefficients:

	Estimate	Error	t value	Pr(> t)
(Intercept)	18.41	12.27	1.501	0.162
bSpline(times)1	-31.41	27.52	-1.142	0.278
bSpline(times)2	41.32	25.99	1.589	0.14
bSpline(times)3	-23.8	24.27	-0.98	0.348
bSpline(times)4	-10.35	16.97	-0.61	0.554
Residual standard error:	13.93	on 11 degrees of freedom		
Multiple R-squared:	0.2642,	Adjusted R-squared:	-0.003354	
F-statistic:	0.9875	on 4 and 11 DF,	p-value:	0.4538

Estimasi Parameter Fungsi Pertumbuhan Ekonomi Kabupaten Bojonegoro

Coefficients:

	Estimate	Error	t value	Pr(> t)
(Intercept)	16.71	19.29	0.866	0.4089
bSpline(times)1	-74.63	49.56	-1.506	0.1664
bSpline(times)2	88.54	36.19	2.447	0.0369
bSpline(times)3	-33.18	31.32	-1.06	0.3169
bSpline(times)4	93.07	41.28	2.255	0.0506
bSpline(times)5	-86.88	37.81	-2.298	0.0472
bSpline(times)6	30.11	26.03	1.157	0.2771
Residual standard error:	19.41	on 9 degrees of freedom		
Multiple R-squared:	0.5971,	Adjusted R-squared:	0.3285	
F-statistic:	2.223	on 6 and 9 DF,	p-value:	0.1355

Lampiran 9. *Output Estimasi Parameter Fungsi Velocity Persentase Penduduk Miskin*

Fungsi Velocity IPM Kota Malang

Coefficients:

		Std.		
	Estimate	Error	t value	Pr(> t)
(Intercept)	-21.738	2.659	-8.176	3.73E-05
bSpline(times)1	6.7	6.02	1.113	0.29806
bSpline(times)2	-15.798	7.497	-2.107	0.068154
bSpline(times)3	16.173	5.702	2.836	0.021937
bSpline(times)4	27.675	4.082	6.779	0.000141
bSpline(times)5	-6.467	5.959	-1.085	0.309389
bSpline(times)6	31.312	5.672	5.52	0.00056
bSpline(times)7	16.932	3.655	4.633	0.001682

Fungsi Velocity IPM Kabupaten Kediri

Coefficients:

		Std.		
	Estimate	Error	t value	Pr(> t)
(Intercept)	11.734	8.55	1.373	0.20715
bSpline(times)1	-14.96	23.055	-0.649	0.53461
bSpline(times)2	3.996	19.077	0.209	0.83932
bSpline(times)3	-75.725	17.146	-4.417	0.00224
bSpline(times)4	25.533	13.894	1.838	0.10341
bSpline(times)5	-51.027	17.759	-2.873	0.02072
bSpline(times)6	-34.139	18.122	-1.884	0.09634
bSpline(times)7	-9.9	11.586	-0.855	0.41766

Fungsi Velocity IPM Kabupaten Sampang

Coefficients:

		Std.			
	Estimate	Error	t value	Pr(> t)	
(Intercept)	-110.42	10.61	-10.403	1.11E-06	***
bSpline(times)1	-22.84	27.05	-0.844	0.41821	
bSpline(times)2	190.75	17.35	10.996	6.61E-07	***
bSpline(times)3	21.52	21.59	0.997	0.34244	
bSpline(times)4	87.9	22.23	3.954	0.00271	**
bSpline(times)5	100.62	14.88	6.76	4.98E-05	***

Lampiran 10. Output Estimasi Parameter Fungsi Velocity IPM

Fungsi Velocity IPM Kabupaten Sampang

Coefficients:

		Std.			
	Estimate	Error	t value	Pr(> t)	
(Intercept)	17.427	3.11	5.604	0.000508	***
bSpline(times)1	4.712	8.072	0.584	0.575471	
bSpline(times)2	32.477	6.95	4.673	0.001597	**
bSpline(times)3	-6.223	5.549	-1.121	0.294611	
bSpline(times)4	7.797	5.186	1.503	0.171167	
bSpline(times)5	-94.526	7.653	-12.352	1.72E-06	***
bSpline(times)6	32.738	6.971	4.696	0.001548	**
bSpline(times)7	-4.505	4.406	-1.022	0.336489	

Fungsi Velocity IPM Kabupaten Nganjuk

Coefficients:

		Std.			
	Estimate	Error	t value	Pr(> t)	
(Intercept)	8.316	4.731	1.758	0.116852	
bSpline(times)1	4.615	12.269	0.376	0.716599	
bSpline(times)2	9.828	10.577	0.929	0.379992	
bSpline(times)3	7.577	8.445	0.897	0.39576	
bSpline(times)4	11.559	7.887	1.466	0.18092	
bSpline(times)5	-99.588	11.65	-8.548	2.7e-05	
bSpline(times)6	73.304	10.609	6.91	0.000123	
bSpline(times)7	-3.373	6.705	-0.503	0.628489	

Fungsi Velocity IPM Kota Surabaya

Coefficients:

		Std.			
	Estimate	Error	t value	Pr(> t)	
(Intercept)	-121.128	7.451	-16.256	5.60E-08	
bSpline(times)1	-24.566	14.225	-1.727	0.118	
bSpline(times)2	181.71	14.478	12.55	5.25E-07	
bSpline(times)3	127.604	13.549	9.418	5.88E-06	
bSpline(times)4	126.753	13.855	9.148	7.47E-06	
bSpline(times)5	127.754	14.192	9.002	8.52E-06	
bSpline(times)6	128.816	10.301	12.506	5.41E-07	

Lampiran 11. Output Estimasi Parameter Fungsi Velocity Pertumbuhan Ekonomi

Fungsi Velocity Pertumbuhan Ekonomi Kabupaten Sampang

Coefficients:

		Estimate	Error	t value	Pr(> t)
(Intercept)		-35.5	32.36	-1.097	0.2961
bSpline(times)1		-119.41	74.17	-1.61	0.13573
bSpline(times)2		270.53	68.76	3.934	0.00234
bSpline(times)3		-82.6	63.58	-1.299	0.22046
bSpline(times)4		-18.36	45.12	-0.407	0.6918

Fungsi Velocity Pertumbuhan Ekonomi Kota Blitar

Coefficients:

		Estimate	Error	t value	Pr(> t)
(Intercept)		258.42	93.75	2.757	0.01867
bSpline(times)1		-604.99	210.24	-2.878	0.01503
bSpline(times)2		276.02	198.61	1.39	0.19209
bSpline(times)3		-581.25	185.47	-3.134	0.00951
bSpline(times)4		-212.92	129.64	-1.642	0.12876

Fungsi Velocity Pertumbuhan Ekonomi Kabupaten Bojonegoro

Coefficients:

		Estimate	Error	t value	Pr(> t)
(Intercept)		-1754.6	291.3	-6.023	0.000197
bSpline(times)1		-235.8	748.4	-0.315	0.759914
bSpline(times)2		1689.1	546.4	3.091	0.012902
bSpline(times)3		2133.9	472.9	4.513	0.001462
bSpline(times)4		1416.7	623.3	2.273	0.049123
bSpline(times)5		1791.1	570.9	3.137	0.011981
bSpline(times)6		1595.1	393	4.059	0.002846

Lampiran 12. Output Estimasi Parameter Fungsi Acceleration Persentase Penduduk Miskin

Fungsi Acceleration IPM Kota Malang

Coefficients:

	Estimate	Error	t value	Pr(> t)	Std.
(Intercept)	-29.933	43.331	-0.691	0.509233	
bSpline(times) 1	106.829	98.12	1.089	0.307966	
bSpline(times) 2	-210.409	122.178	-1.722	0.123344	
bSpline(times) 3	515.655	92.934	5.549	0.000542	
bSpline(times) 4	-196.927	66.53	-2.96	0.018147	
bSpline(times) 5	222.347	97.115	2.29	0.051303	
bSpline(times) 6	-5.511	92.443	-0.06	0.953924	
bSpline(times) 7	28.832	59.565	0.484	0.641328	

Fungsi Acceleration IPM Kabupaten Kediri

Coefficients:

	Estimate	Error	t value	Pr(> t)	Std.
(Intercept)	-586.87	132.55	-4.428	0.002204	
bSpline(times) 1	92.65	357.43	0.259	0.802029	
bSpline(times) 2	22.85	295.75	0.077	0.940318	
bSpline(times) 3	665.88	265.82	2.505	0.036653	
bSpline(times) 4	1108.5	215.4	5.146	0.000878	
bSpline(times) 5	-422.38	275.32	-1.534	0.163534	
bSpline(times) 6	1421.26	280.95	5.059	0.000979	
bSpline(times) 7	521.43	179.61	2.903	0.019798	

Fungsi Acceleration IPM Kabupaten Sampang

Coefficients:

	Estimate	Error	t value	Pr(> t)	Std.
(Intercept)	1033.69	194.12	5.325	0.000335	***
bSpline(times) 1	84.09	494.71	0.17	0.868418	.
bSpline(times) 2	-660.49	317.25	-2.082	0.063988	.
bSpline(times) 3	-1947.55	394.85	-4.932	0.000594	***
bSpline(times) 4	-27.91	406.53	-0.069	0.946613	**
bSpline(times) 5	-1146.19	272.2	-4.211	0.001798	**

Lampiran 13. Output Estimasi Parameter Fungsi Acceleration IPM

Fungsi Acceleration IPM Kabupaten Sampang

Coefficients:

		Std.		
	Estimate	Error	t value	Pr(> t)
(Intercept)	239.24	143.5	1.667	0.134
bSpline(times)1	247.46	372.45	0.664	0.5251
bSpline(times)2	-712.8	320.7	-2.223	0.0569 *
bSpline(times)3	-69.22	256.05	-0.27	0.7937
bSpline(times)4	-713.68	239.31	-2.982	0.0175
bSpline(times)5	-16.04	353.12	-0.045	0.9649
bSpline(times)6	118.43	321.65	0.368	0.7223
bSpline(times)7	-327.19	203.32	-1.609	0.1462

Fungsi Acceleration IPM Kabupaten Nganjuk

Coefficients:

		Std.		
	Estimate	Error	t value	Pr(> t)
(Intercept)	95.28	175.28	0.544	0.6015
bSpline(times)1	228.91	454.53	0.504	0.6281
bSpline(times)2	-505.87	391.84	-1.291	0.2328
bSpline(times)3	256.21	312.85	0.819	0.4365
bSpline(times)4	-850.33	292.17	-2.91	0.0196 *
bSpline(times)5	651.22	431.6	1.509	0.1698
bSpline(times)6	36.5	393.02	0.093	0.9283
bSpline(times)7	-346.99	248.38	-1.397	0.1999

Fungsi Acceleration IPM Kota Surabaya

Coefficients:

		Std.		
	Estimate	Error	t value	Pr(> t)
(Intercept)	1744.3	160.7	10.854	1.80E-06
bSpline(times)1	-517.1	610.1	-0.848	0.41867
bSpline(times)2	342.1	435.5	0.786	0.45231
bSpline(times)3	-1098.8	263.7	-4.167	0.00242
bSpline(times)4	-2556.1	344.2	-7.427	3.99E-05
bSpline(times)5	-1294.5	326.5	-3.964	0.00328
bSpline(times)6	-1790.6	212.9	-8.41	1.48E-05

Lampiran 14. Output Estimasi Parameter Fungsi *Acceleration* Pertumbuhan Ekonomi

Fungsi *Acceleration* Pertumbuhan Ekonomi Kabupaten Sampang

Coefficients:

		Std.		
	Estimate	Error	t value	Pr(> t)
(Intercept)	8.984	630.588	0.014	0.989
bSpline(times) 1	-127.852	1445.259	-0.088	0.931
bSpline(times) 2	1509.04	1339.842	1.126	0.284
bSpline(times) 3	-1887.87	1238.792	-1.524	0.156
bSpline(times) 4	1154.728	879.153	1.313	0.216

Fungsi *Acceleration* Pertumbuhan Ekonomi Kota Blitar

Coefficients:

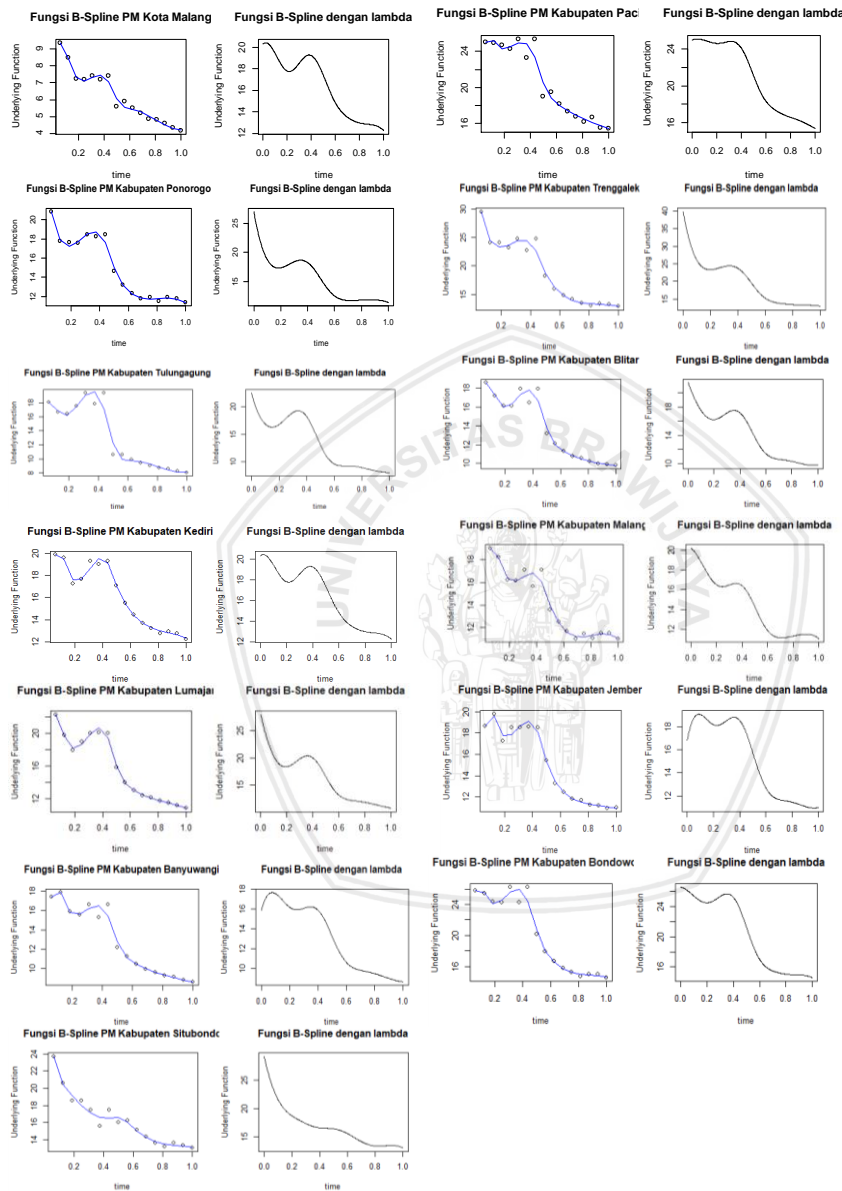
		Std.		
	Estimate	Error	t value	Pr(> t)
(Intercept)	-3501.5	1790.1	-1.956	0.0763
bSpline(times) 1	1982.7	4014.4	0.494	0.6311
bSpline(times) 2	6973.5	3792.4	1.839	0.0931
bSpline(times) 3	263.8	3541.4	0.074	0.942
bSpline(times) 4	5761.4	2475.5	2.327	0.0401

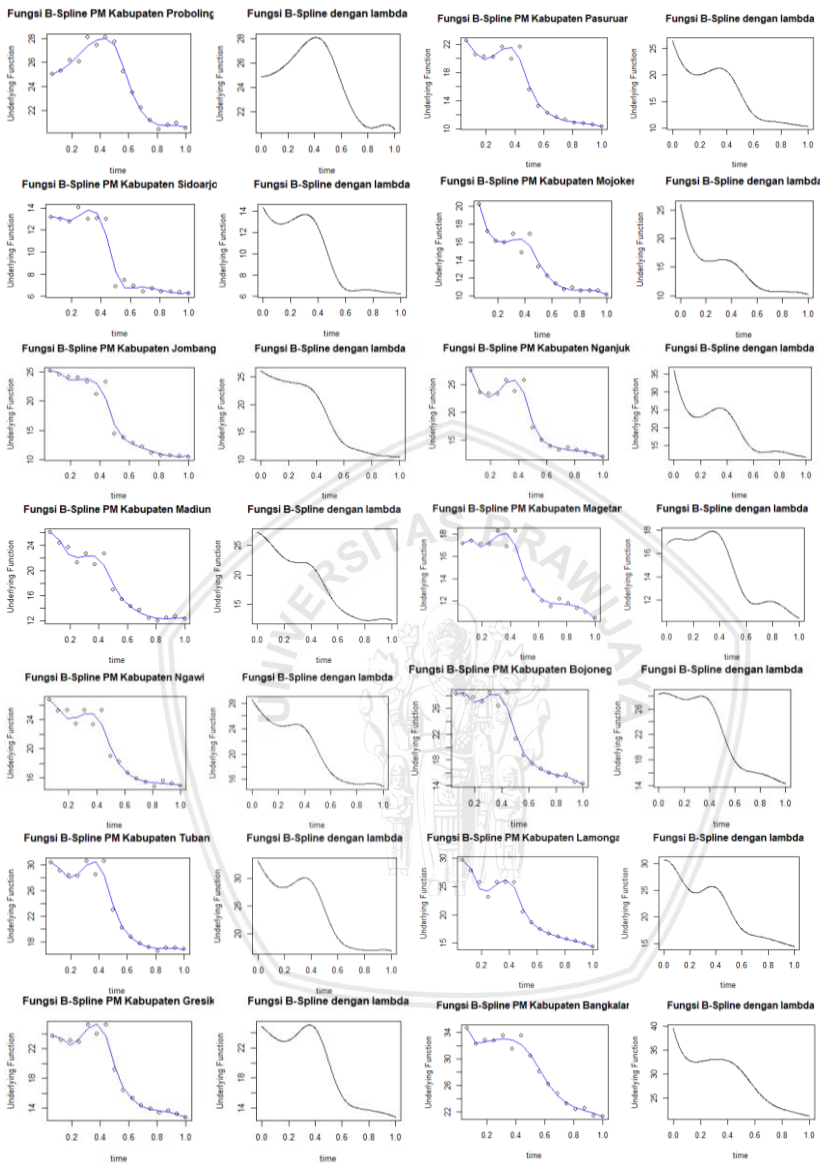
Fungsi *Acceleration* Pertumbuhan Ekonomi Kabupaten Bojonegoro

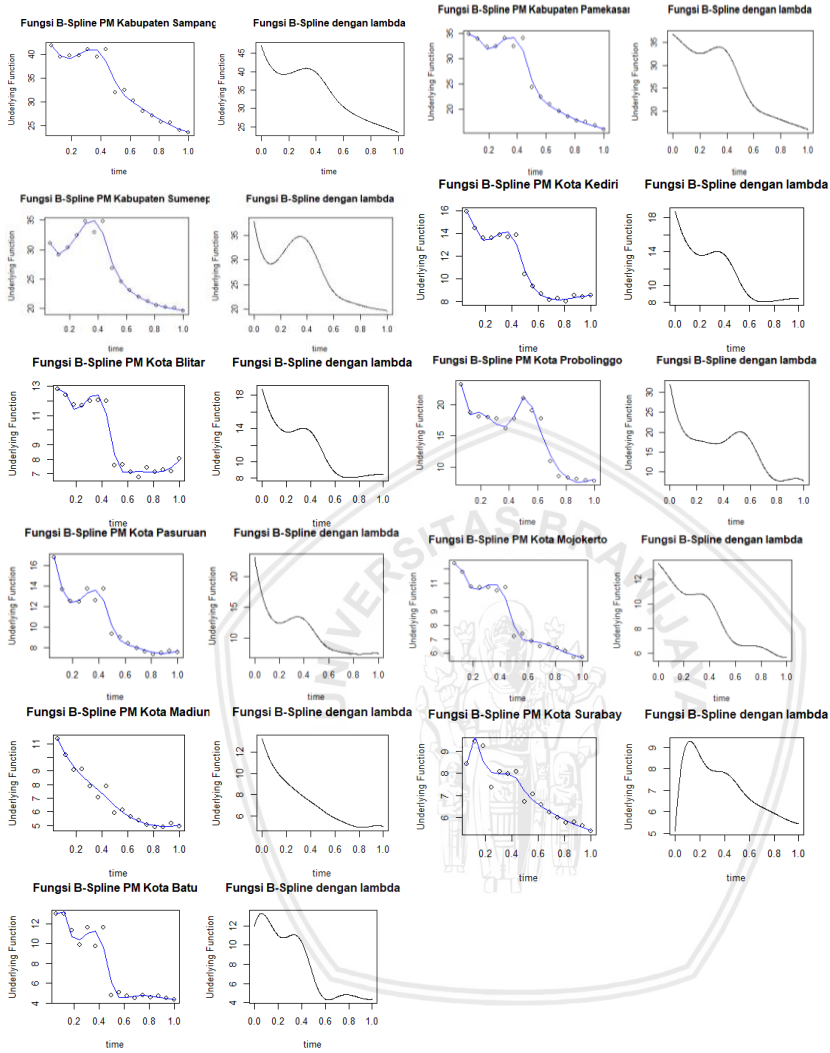
Coefficients:

		Std.		
	Estimate	Error	t value	Pr(> t)
(Intercept)	26101	4319	6.043	0.000192
bSpline(times) 1	-6415	11096	-0.578	0.577357
bSpline(times) 2	1819	8101	0.225	0.827375
bSpline(times) 3	-38624	7011	-5.509	0.000376
bSpline(times) 4	-12388	9241	-1.341	0.212903
bSpline(times) 5	-36015	8465	-4.255	0.002128
bSpline(times) 6	-22485	5827	-3.859	0.003852

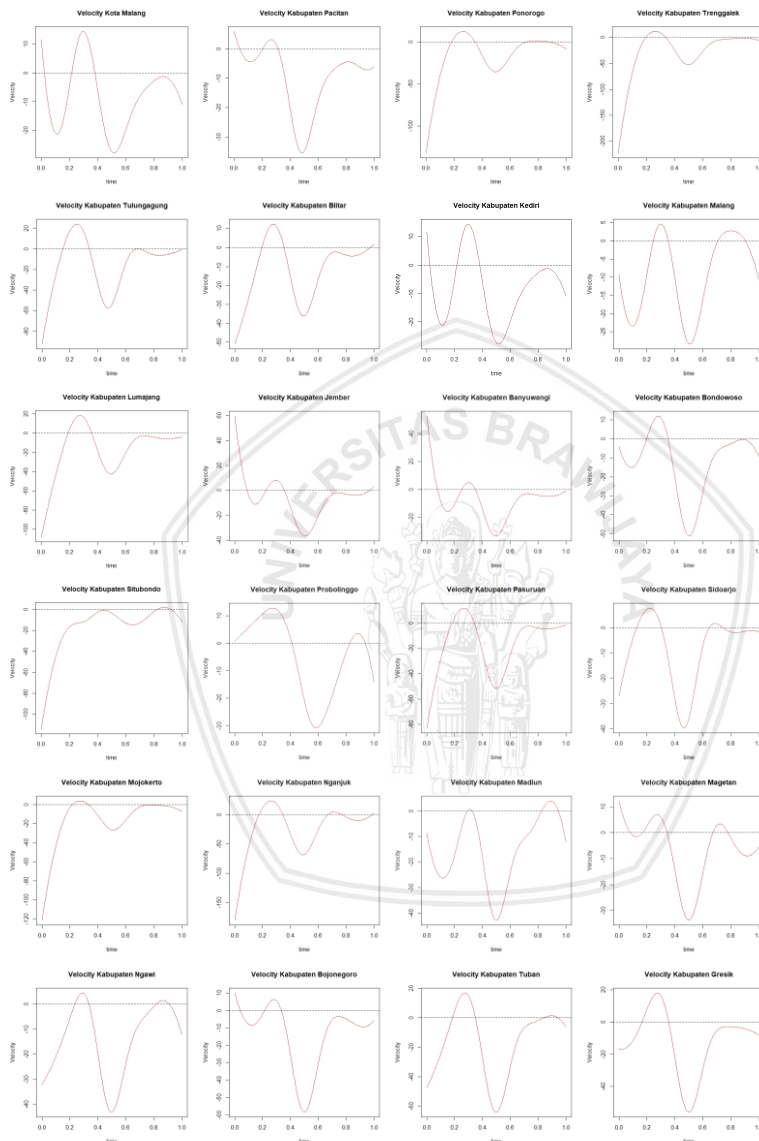
Lampiran 15. Kurva Fungsi *B-spline* untuk Variabel Persentase Penduduk Miskin

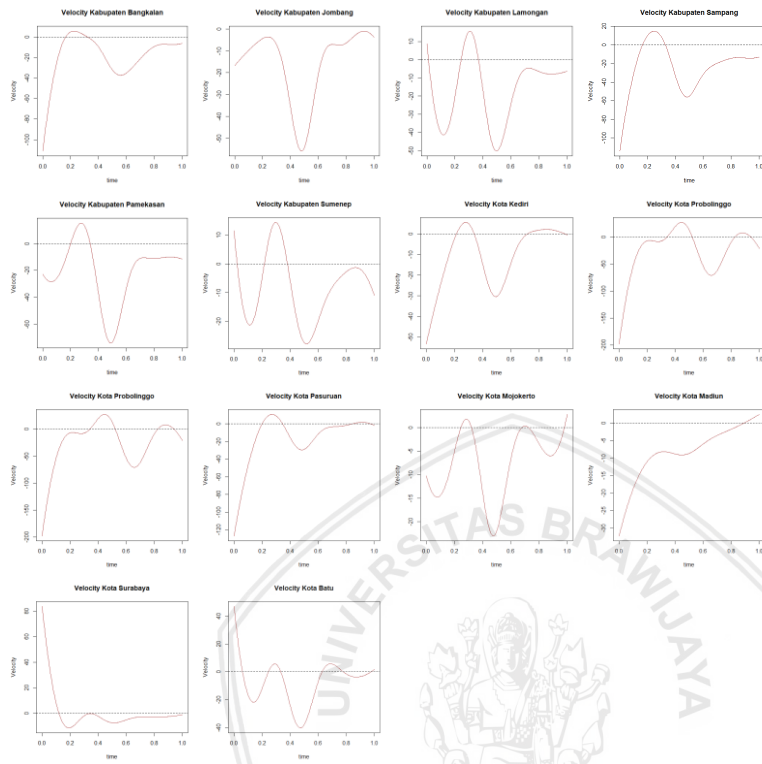




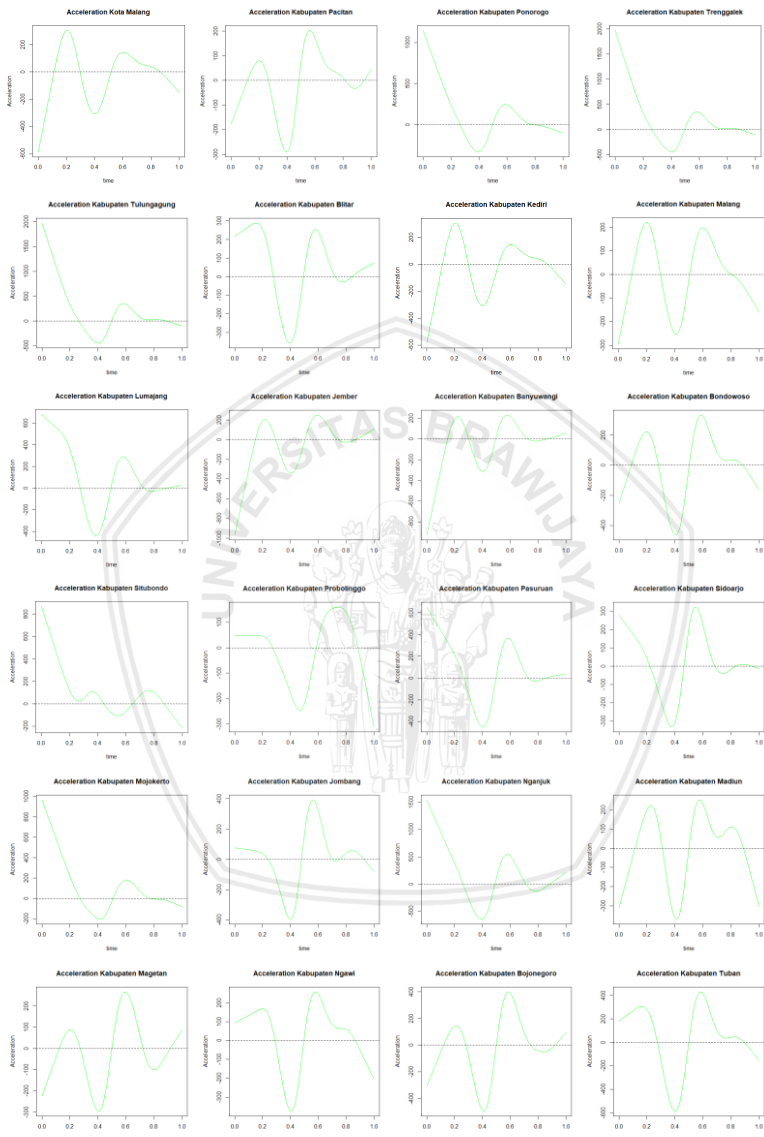


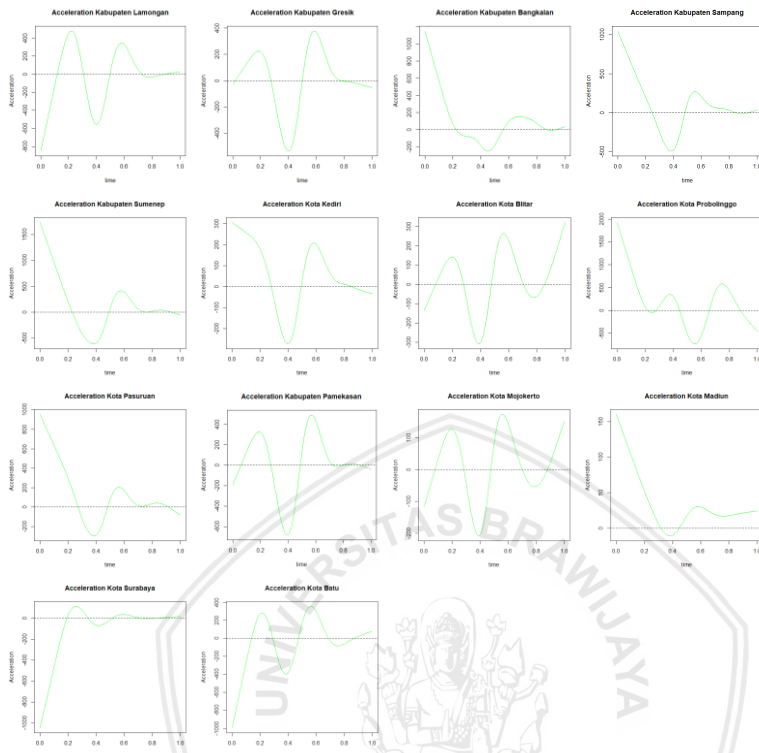
Lampiran 16. Kurva Velocity B-spline untuk Variabel Persentase Penduduk Miskin



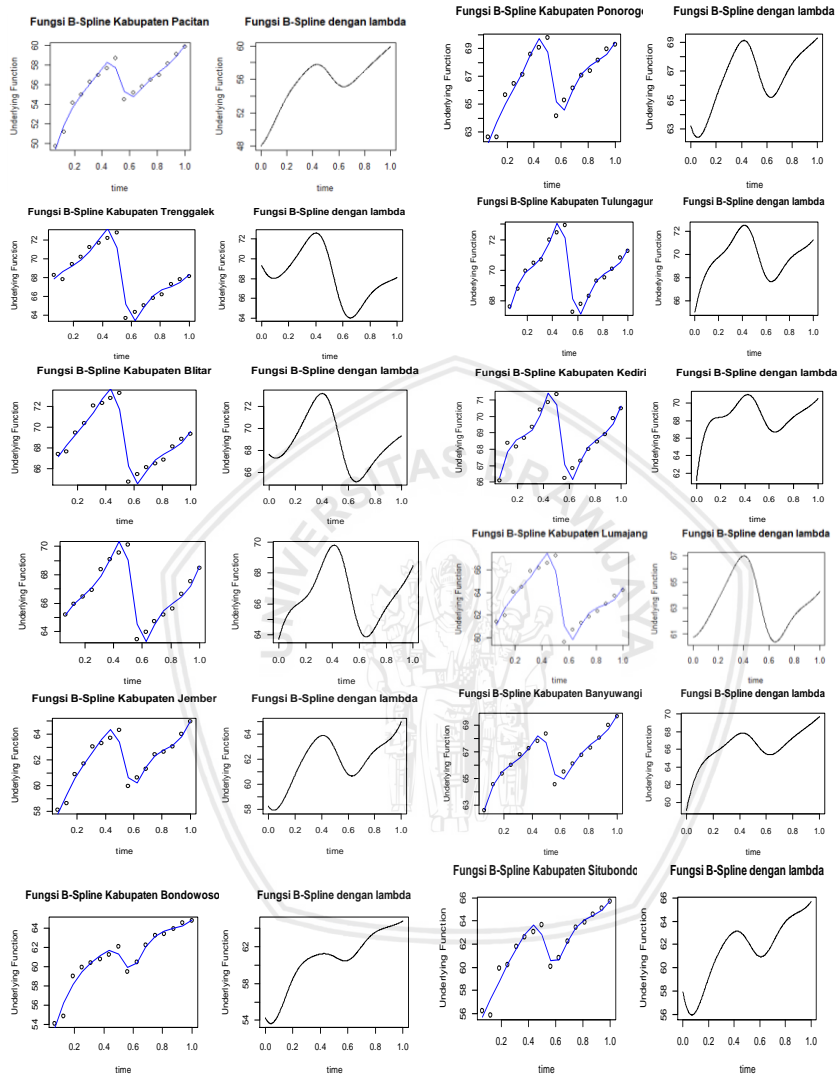


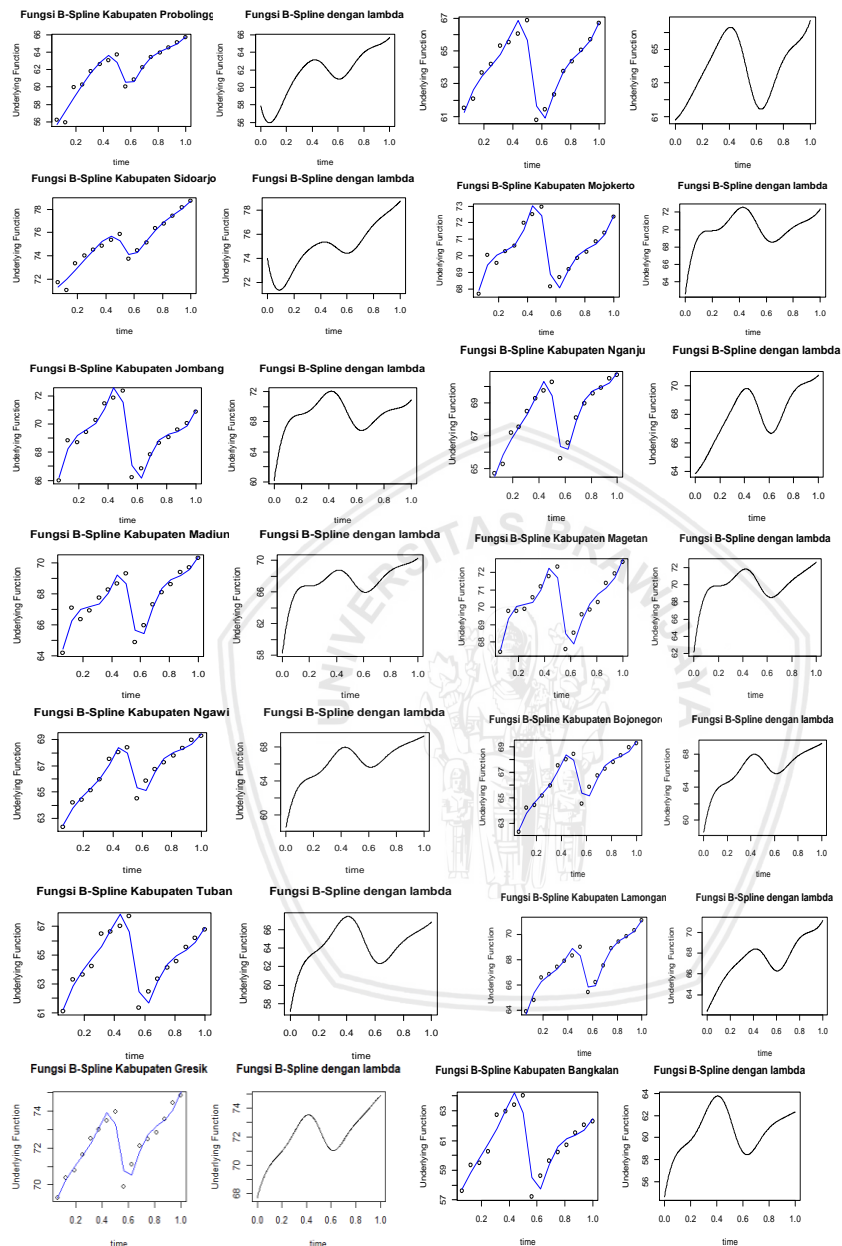
Lampiran 17. Kurva Acceleration B-spline untuk Variabel Persentase Penduduk Miskin

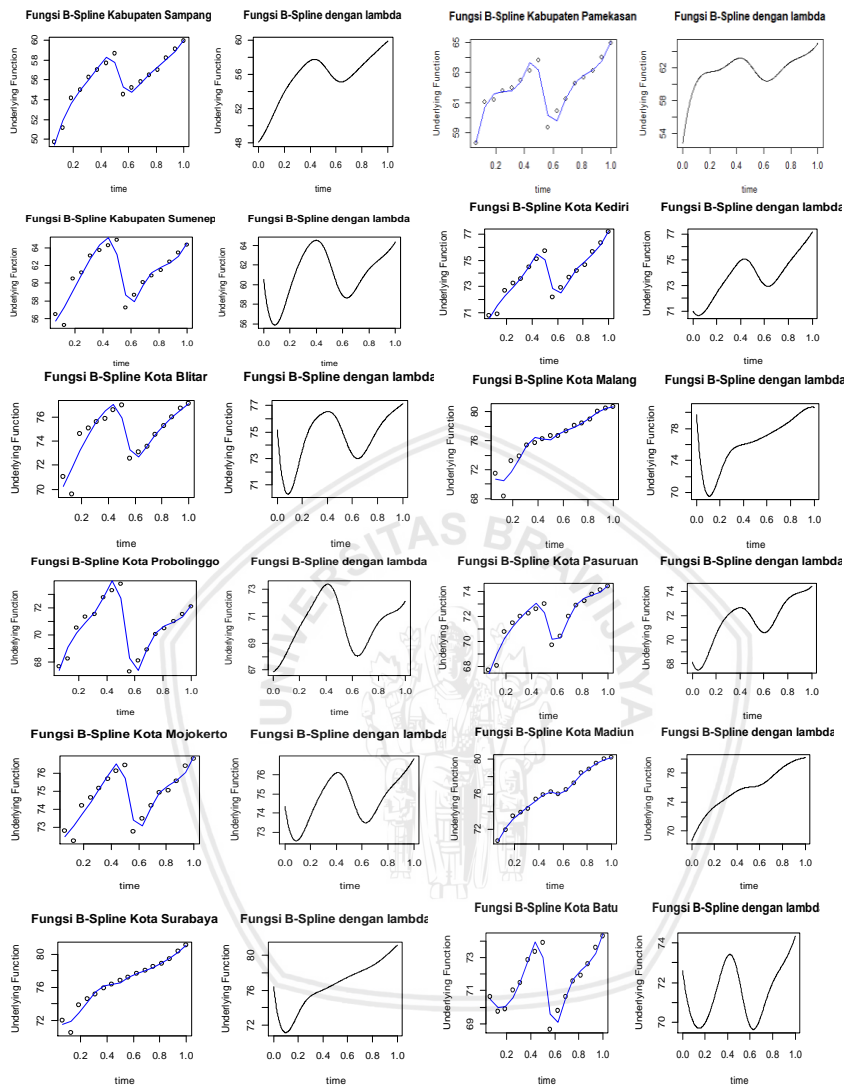




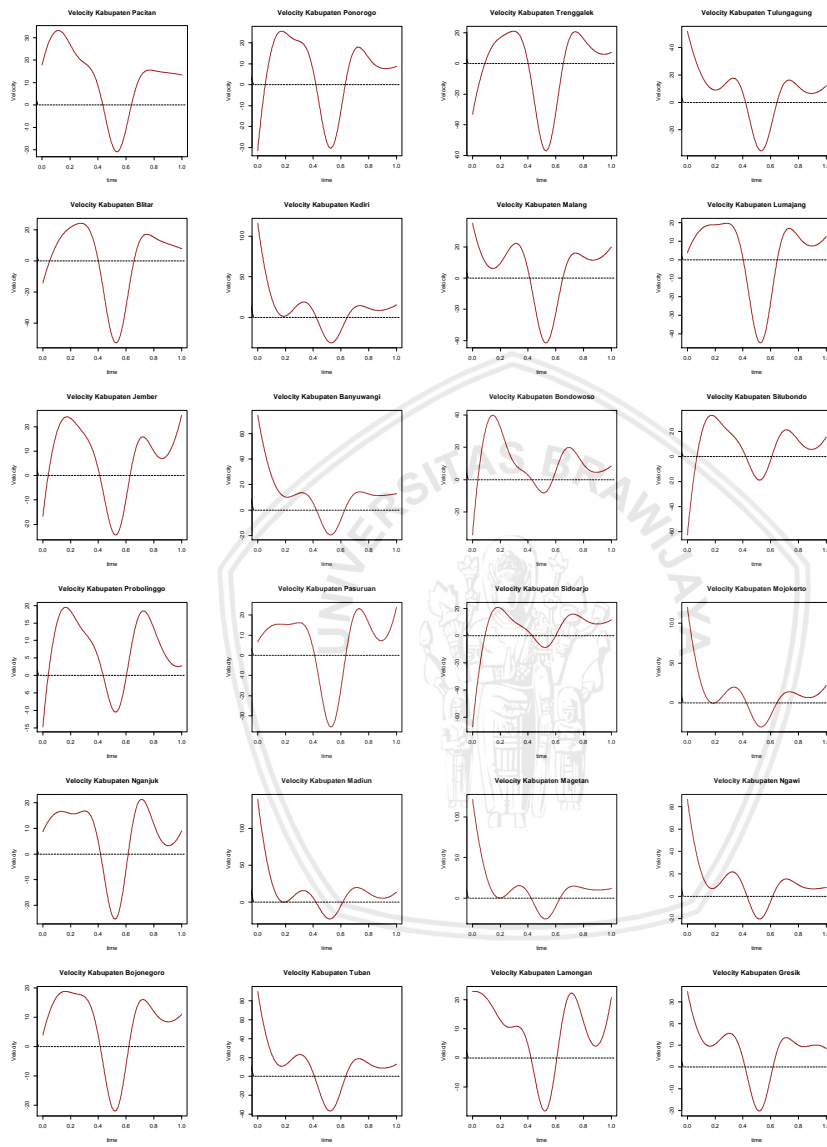
Lampiran 18. Kurva Fungsi *B-spline* untuk Variabel IPM

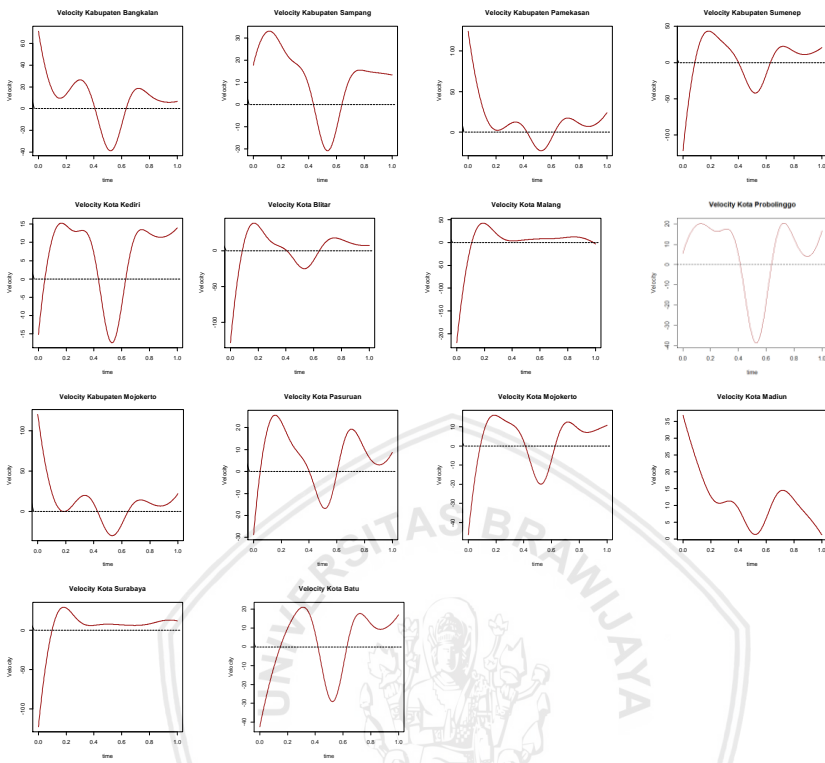




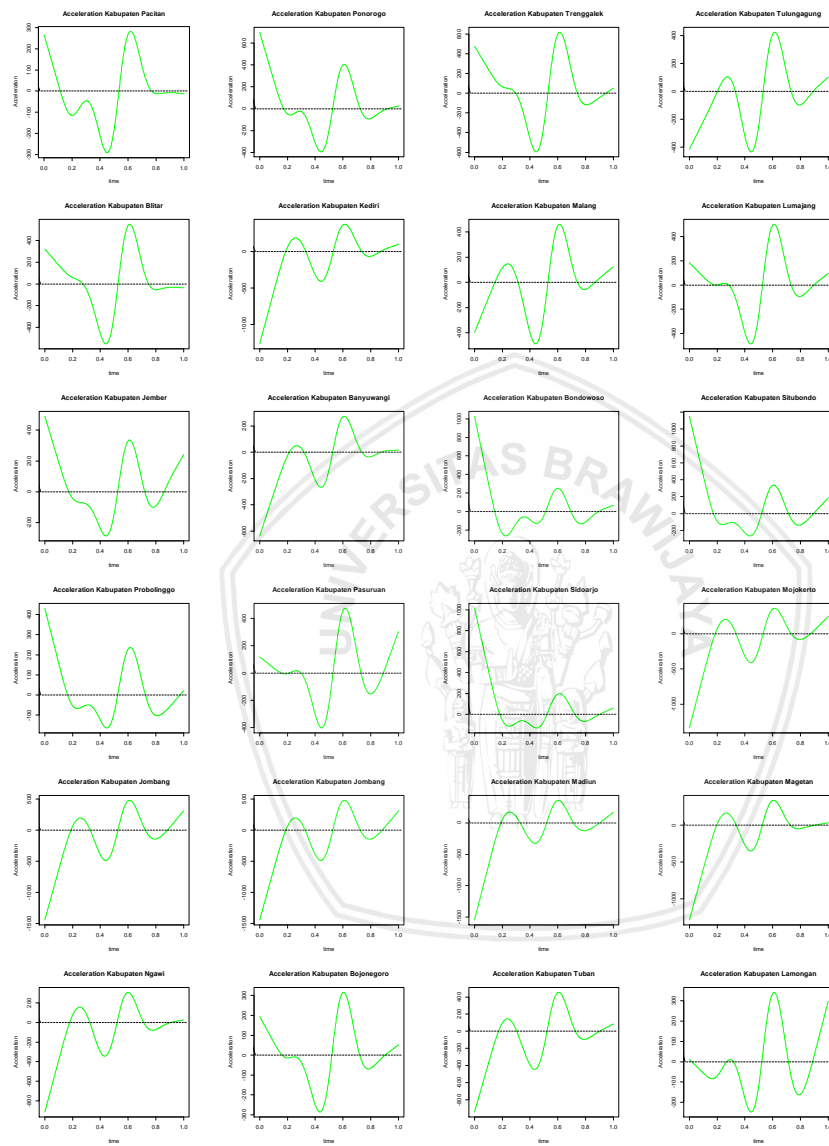


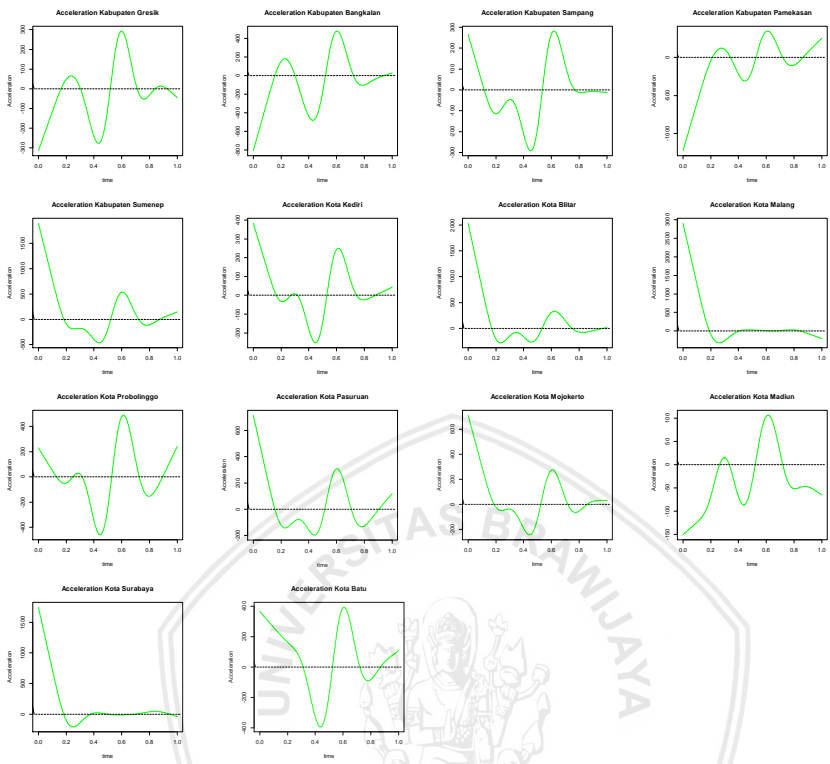
Lampiran 19. Kurva Velocity B-spline untuk Variabel IPM



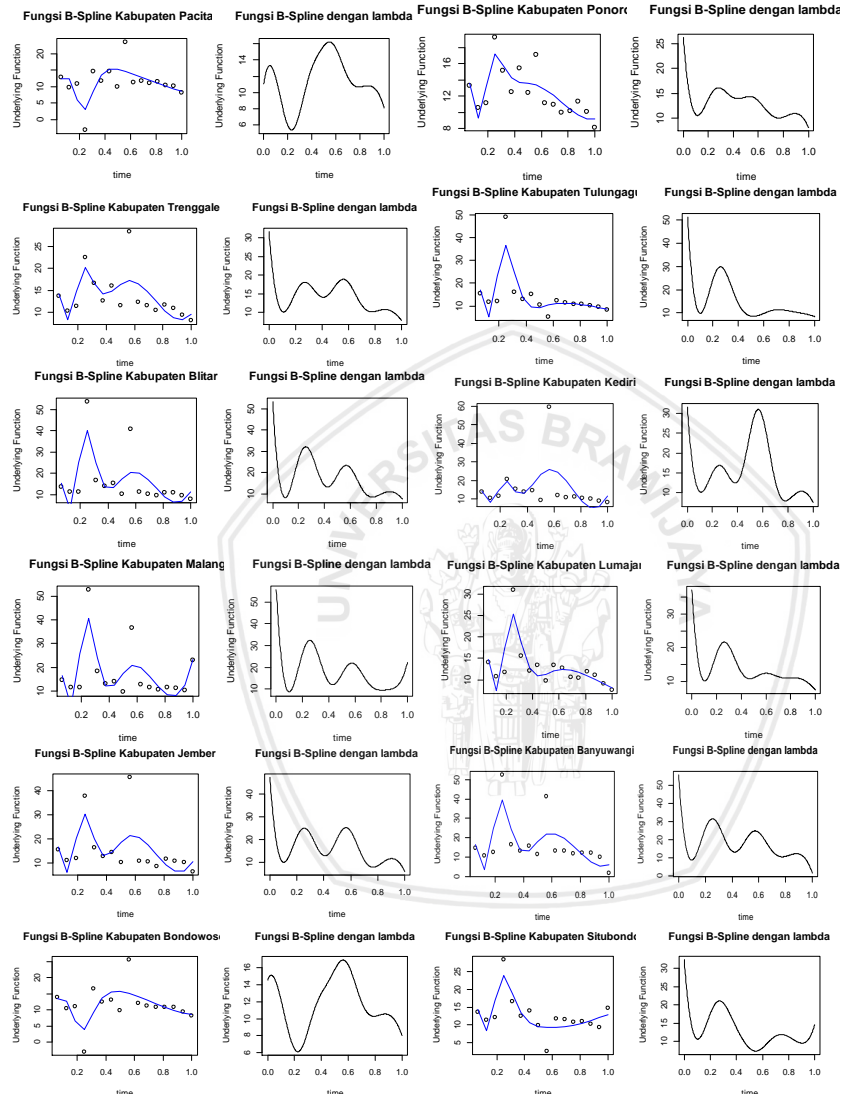


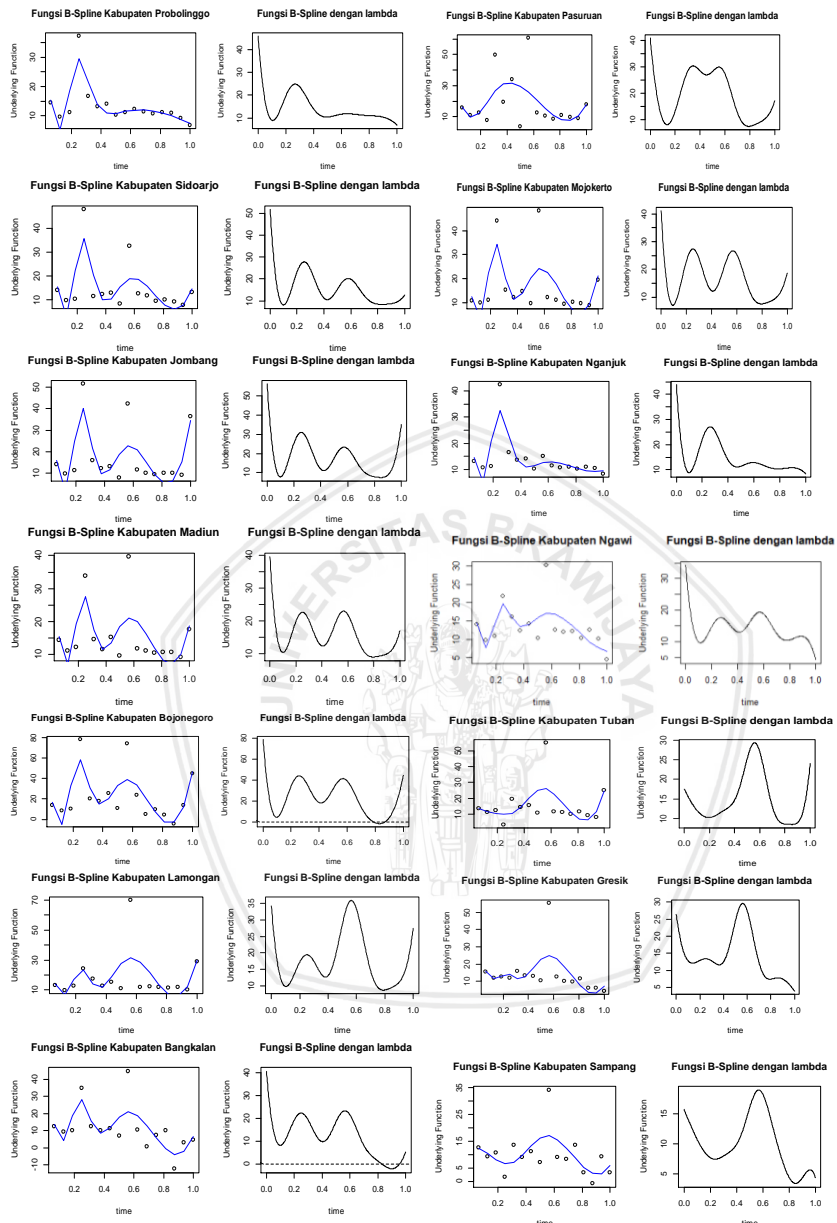
Lampiran 20. Kurva Acceleration B-spline untuk Variabel IPM

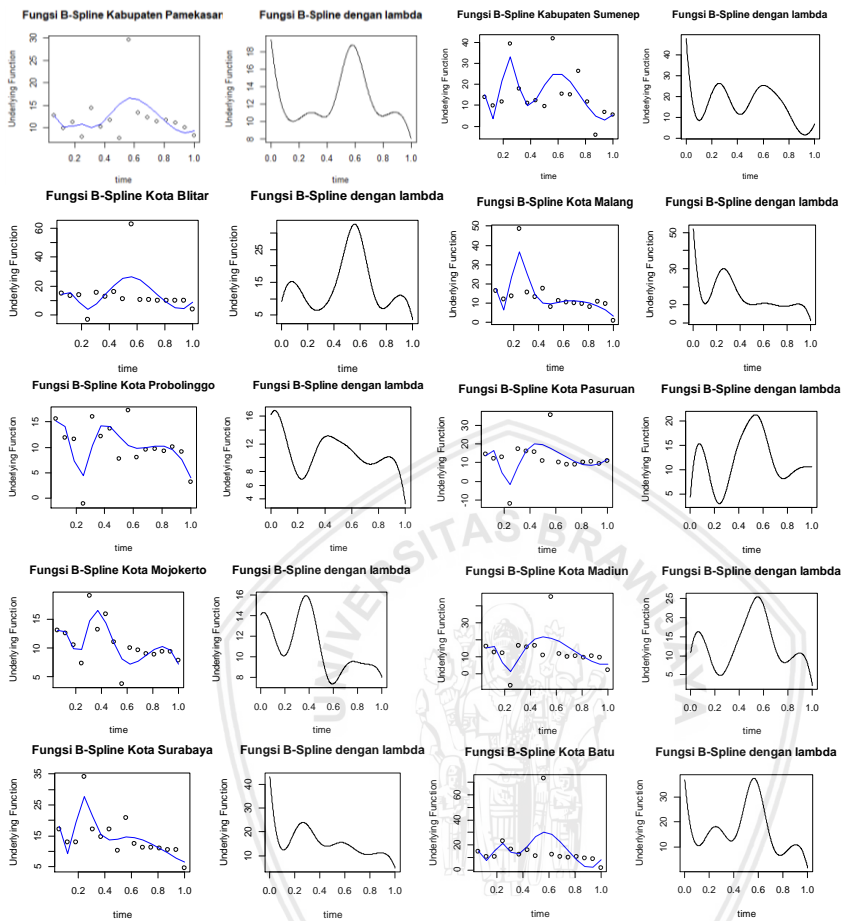




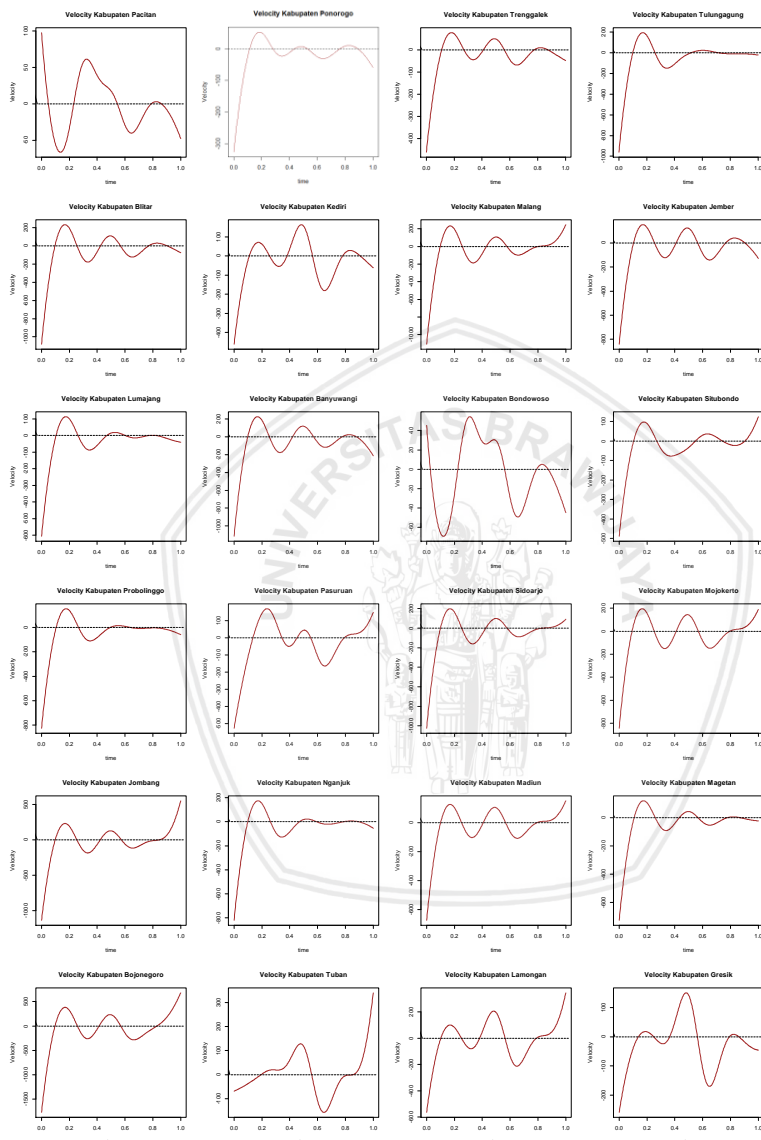
Lampiran 21. Kurva Fungsi *B-spline* untuk Variabel Pertumbuhan Ekonomi

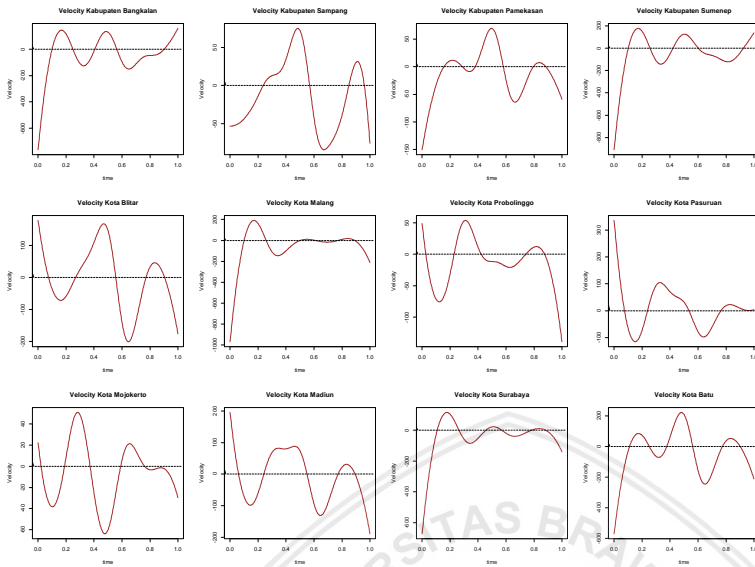




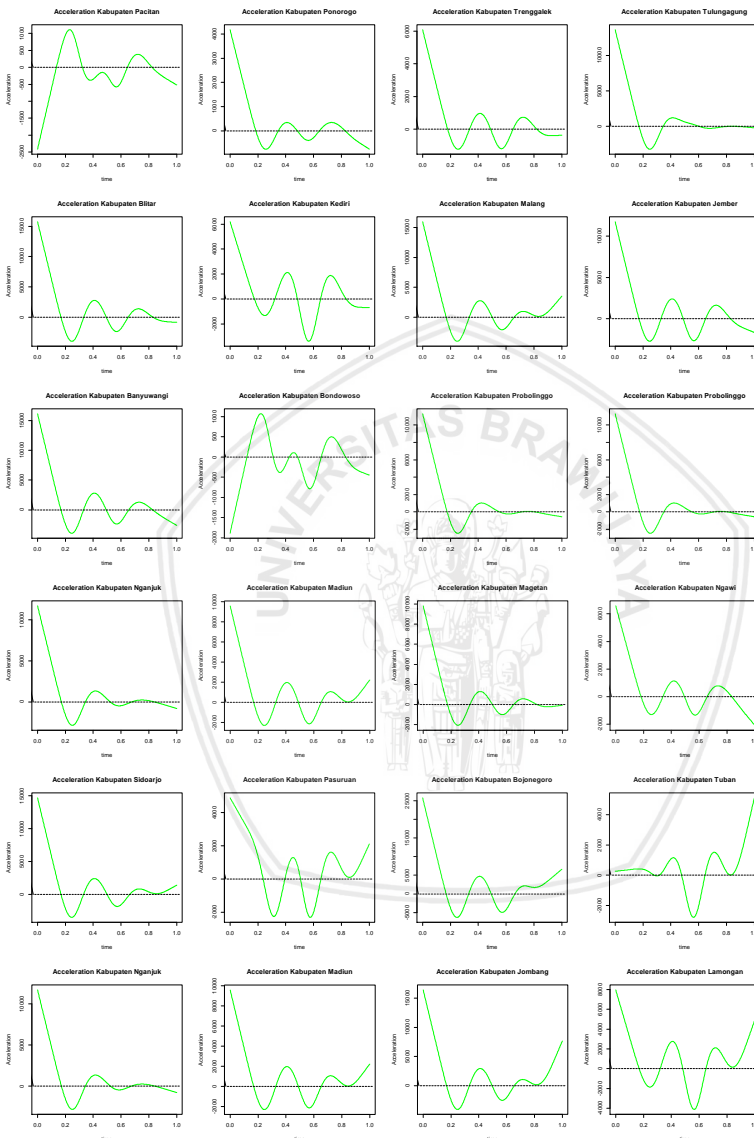


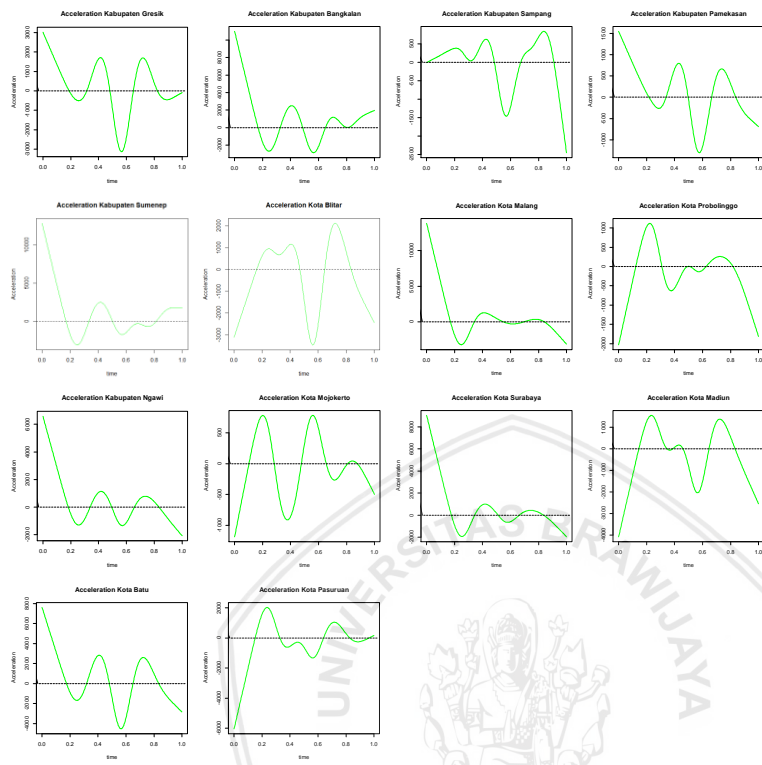
Lampiran 22. Kurva Velocity B-spline untuk Variabel Pertumbuhan Ekonomi





Lampiran 23. Kurva Acceleration B-spline untuk Variabel Pertumbuhan Ekonomi





Lampiran 24. *Output Penentuan Banyaknya Cluster Optimal IPM*

```
> rez <- funHDDC(fdataPM,K=2,model='AkjBkQkDk')
   model K threshold complexity      BIC
1 AKJBKQKDK 2          0.2        35 -4,292.11

SELECTED: model AKJBKQKDK with 2 clusters.
Selection Criterion: BIC.
> rez <- funHDDC(fdataPM,K=3,model='AkjBkQkDk')
   model K threshold complexity      BIC
1 AKJBKQKDK 3          0.2        53 -3,230.55

> rez <- funHDDC(fdataPM,K=4,model='AkjBkQkDk')
   model K threshold complexity      BIC
1 AKJBKQKDK 4          0.2        98 -4,568.69

SELECTED: model AKJBKQKDK with 4 clusters.
Selection Criterion: BIC.

> rez <- funHDDC(fdataPM,K=5,model='AkjBkQkDk')
   model K threshold complexity      BIC
1 AKJBKQKDK 5          0.2       116 -4,017.37

SELECTED: model AKJBKQKDK with 5 clusters.
```

IPM

```
> rez <- funHDDC(fdataipm,K=4,model='AkjBkQkDk')
   model K threshold complexity      BIC
1 AKJBKQKDK 4          0.2           85 -3,799.92

SELECTED: model AKJBKQKDK with 4 clusters.
Selection Criterion: BIC.
> rez <- funHDDC(fdataipm,K=5,model='AkjBkQkDk')
Warning message:
In funHDDC(fdataipm, K = 5, model = "AkjBkQkDk") : All models diverged.
> rez <- funHDDC(fdataipm,K=5,model='AkjBkQkDk')
   model K threshold complexity      BIC
1 AKJBKQKDK 5          0.2           96 -2,692.87

SELECTED: model AKJBKQKDK with 5 clusters.
Selection Criterion: BIC.
> rez <- funHDDC(fdataipm,K=3,model='AkjBkQkDk')
   model K threshold complexity      BIC
1 AKJBKQKDK 3          0.2           60 -4,073.97

SELECTED: model AKJBKQKDK with 3 clusters.
Selection Criterion: BIC.
'

> rez <- funHDDC(fdataipm,K=2,model='AkjBkQkDk')
   model K threshold complexity      BIC
1 AKJBKQKDK 2          0.2           35 -3,554.14

SELECTED: model AKJBKQKDK with 2 clusters.
Selection Criterion: BIC.
```

Pertumbuhan Ekonomi

```
> rez <- funHDDC(fdataPE,K=2,model='AkjBkQkDk')
   model K threshold complexity      BIC
1 AKJBKQKDK 2          0.2           42 -2,964.10

SELECTED: model AKJBKQKDK with 2 clusters.
Selection Criterion: BIC.

> rez <- funHDDC(fdataPE,K=4,model='AkjBkQkDk')
   model K threshold complexity      BIC
1 AKJBKQKDK 4          0.2           92 -8,013.71

SELECTED: model AKJBKQKDK with 4 clusters.
Selection Criterion: BIC.

> rez <- funHDDC(fdataPE,K=3,model='AkjBkQkDk')
   model K threshold complexity      BIC
1 AKJBKQKDK 3          0.2           67 -19,517.07

SELECTED: model AKJBKQKDK with 3 clusters.
Selection Criterion: BIC.
```

```
> rez <- funHDDC(fdataPE, K=5, model='AkjBkQkDk')
    model K threshold complexity      BIC
1 AKJBKQKDK 5          0.2        110 -9,128.45

SELECTED: model AKJBKQKDK with 5 clusters.
Selection Criterion: BIC.
```



Lampiran 25. Output Functional Cluster Analysis

Persentase Penduduk Miskin

```
> summary(res)
'fancyOutList' object with called algorithm(s):

fitfclust

call:
funcit(data = dataPM, k = 3, methods = c("fitfclust"), seed = 2406,
clusters = clusters, parallel = TRUE)

Summary of the Cluster Proportions:
      V1      V2      V3
fitfclust 0.2191 0.2155 0.5654

Summary of the Rand Indices:
      fitfclust
fitfclust 0.2187

Summary of the Calculation Time:
           user.self sys.self elapsed user.child sys.child
fitfclust       1.75     0.08      2        NA        NA
> Cluster(res)
[1] 1 3 3 3 3 3 3 3 3 1 3 1 3 2 3 3 3 3 3 1 1 1 3 3 1 1 1 1 2 2
2 3 2 2 2 2 2
Slot "prms":
$lambda.zero
[,1]
[1,] -64.221188
[2,] 14.171134
[3,] 2.487830
[4,] -3.444835

$Lambda
[,1]      [,2]
[1,] -0.4399913 13.103064
[2,] -2.4770750 -2.617706
[3,]  0.4519735 -1.082315
[4,] -0.3341691  0.687804

$alpha
[,1]      [,2]
[1,] 0.6887037 -2.3980634
[2,] -0.2876876  2.2799510
[3,] -0.4010161  0.1181124

$Gamma
[,1]      [,2]      [,3]      [,4]
[1,] 170.378809 -33.556841 -13.8959890 9.3914181
[2,] -33.556841 16.180928 0.8211460 -4.1927858
[3,] -13.895989 0.821146 1.5167694 -0.2970002
[4,] 9.391418 -4.192786 -0.2970002 1.0912396
$sigma
[1] 1.639384
```

```

Slot "centers":
 [,1]      [,2]      [,3]
 [1,] 28.89286 12.199812 20.62546
 [2,] 29.89671 12.004483 20.78681
 [3,] 30.22137 11.640730 20.57754
 [4,] 29.96683 11.141127 20.05715
 [5,] 29.23307 10.538249 19.28515
 [6,] 28.12006 9.864669 18.32106
 [7,] 26.72778 9.152963 17.22438
 [8,] 25.15620 8.435703 16.05464
 [9,] 23.50532 7.745465 14.87133
[10,] 21.87509 7.114822 13.73397
[11,] 20.36550 6.576348 12.70207
[12,] 19.07653 6.162619 11.83514
[13,] 18.10816 5.906207 11.19270
[14,] 17.56036 5.839687 10.83425
[15,] 17.53311 5.995634 10.81931
[16,] 18.12639 6.406621 11.20738

Slot "props":
[1] 0.2191 0.2155 0.5654

Slot "dist2centers":
 [,1]      [,2]      [,3]
 [1,] 14.384416 145.1716940 23.956104
 [2,] 87.088449 42.7468511 2.172035
 [3,] 29.352511 118.3138218 15.129186
 [4,] 123.455007 26.1716003 9.293791
 [5,] 112.094450 27.5691325 5.365838
 [6,] 69.673185 57.3555969 2.427459
 [7,] 105.441353 31.1050725 4.468235
 [8,] 71.773125 55.4180292 1.573264
 [9,] 85.878309 42.7620490 1.553148
[10,] 129.449237 19.6800354 8.887906
[11,] 16.795362 140.4314431 22.023955
[12,] 68.291408 60.8708921 3.427797
[13,] 7.716782 251.2733658 79.612090
[14,] 69.097445 59.4064516 2.015081
[15,] 215.798510 2.4887117 39.386873
[16,] 112.922423 27.2451155 5.590118
[17,] 50.909666 86.1247030 7.243257
[18,] 34.242101 112.0152092 13.968800
[19,] 40.813653 92.4392688 6.602221
[20,] 98.976103 34.7892243 3.620005
[21,] 17.386690 137.1595591 20.558248
[22,] 7.992777 181.4215489 39.499205
[23,] 3.428441 226.1391857 61.760761
[24,] 12.777144 159.7767482 30.193718
[25,] 29.973074 111.2880402 12.323338
[26,] 18.719476 395.2991982 160.907048
[27,] 88.311336 627.4166635 317.380808
[28,] 9.798566 313.8297798 111.027921
[29,] 9.863561 335.5875473 124.552042
[30,] 173.923482 7.0793526 22.841532
[31,] 221.713801 1.4559877 42.069880
[32,] 329.962696 6.4285632 94.723202
[33,] 89.019316 53.4251481 7.848824
[34,] 189.932818 4.8350332 28.835891
[35,] 248.321596 0.3128074 53.499409
[36,] 303.243206 3.0198021 80.273434
[37,] 299.901241 3.4716549 79.592329
[38,] 273.787180 2.6839610 65.791873

```

IPM

```
> summary(res)
'funcyOutList' object with called algorithm(s):
fitfclust
call:
funcit(data = dataIPM, k = 5, methods = c("fitfclust"), seed = 2406,
       clusters = clusters, parallel = TRUE)

Summary of the Cluster Proportions:
      V1     V2     V3     V4     V5
fitfclust 0.1943 0.1975 0.1232 0.18 0.3051

Summary of the Rand Indices:
      fitfclust
fitfclust      0.2076

Summary of the Calculation Time:
           user.self sys.self elapsed user.child sys.child
fitfclust        1.62      0.06    1.77        NA        NA

> Cluster(res)
[1] 5 5 5 1 5 5 5 3 2 5 2 2 2 3 4 1 1 5 5 1 5 3 3 5 1 2 2 2 4 4 4 1 1 4
4 4 1
Slot "prms":
$lambda.zero
[,1]
[1,] -270.719592
[2,] -4.387528
[3,] 12.913660
[4,] -4.004530

$Lambda
[,1]      [,2]
[1,] 0.2231314 5.4526074
[2,] -2.8709958 0.3329889
[3,] 0.3727749 -0.2134181
[4,] 0.7334755 -0.2468813

$alpha
[,1]      [,2]
[1,] -0.7942438 -2.312052
[2,] 1.3800148 5.119930
[3,] -0.3513024 2.664280
[4,] 0.5569669 -5.602004
[5,] -0.7914356 0.129845

$Gamma
[,1]      [,2]      [,3]      [,4]
[1,] 29.690835 2.3087995 -0.50925800 -2.6763862
[2,] 2.308800 8.3003769 -0.23209563 -3.3807493
[3,] -0.509258 -0.2320956 0.01329768 0.1211089
[4,] -2.676386 -3.3807493 0.12110892 1.4807294

$sigma
[1] 1.287366

Slot "centers":
[,1]      [,2]      [,3]      [,4]      [,5]
[1,] 67.75902 55.35260 60.55587 70.72929 64.45825
[2,] 69.46765 57.57002 62.62725 72.16226 66.34956
[3,] 70.63830 59.18251 64.03602 73.26920 67.62483
[4,] 71.35193 60.27703 64.88100 74.09674 68.37671
```

```
[5,] 71.68945 60.94051 65.26099 74.69151 68.69785
[6,] 71.73183 61.25991 65.27482 75.10015 68.68088
[7,] 71.55999 61.32216 65.02131 75.36930 68.41846
[8,] 71.25487 61.21422 64.59925 75.54557 68.00323
[9,] 70.89742 61.02301 64.10748 75.67561 67.52784
[10,] 70.56857 60.83550 63.64481 75.80604 67.08493
[11,] 70.34926 60.73862 63.31005 75.98351 66.76716
[12,] 70.32044 60.81932 63.20203 76.25463 66.66716
[13,] 70.56303 61.16455 63.41954 76.66605 66.87758
[14,] 71.15798 61.86123 64.06142 77.26439 67.49107
[15,] 72.18624 62.99634 65.22647 78.09629 68.60027
[16,] 73.72873 64.65679 67.01351 79.20838 70.29783
```

```
Slot "props":
[1] 0.1956 0.1971 0.1236 0.1794 0.3042
```

```
Slot "dist2centers":
```

	[,1]	[,2]	[,3]	[,4]	[,5]
[1,]	30.874469	41.668844	11.202244	99.7145007	9.082896
[2,]	19.238603	38.103475	8.622875	76.1626286	2.664737
[3,]	14.200786	67.396025	22.665198	64.8518548	6.162063
[4,]	2.531553	88.870551	35.102006	34.1397966	6.727022
[5,]	9.500353	74.425199	26.401161	53.6285874	5.724756
[6,]	6.143021	66.833410	21.910563	48.2578743	2.171841
[7,]	20.443991	40.675221	8.651894	81.5400611	2.849927
[8,]	59.857912	13.186574	3.257259	150.5967936	20.273713
[9,]	80.414245	2.711975	5.502116	179.2561145	32.366957
[10,]	19.742340	35.564467	7.103802	77.9800503	2.178961
[11,]	105.751929	1.769118	15.683400	210.6526308	50.784311
[12,]	86.909619	2.565585	9.334761	184.6154718	37.933697
[13,]	99.608331	1.018746	12.143459	204.4230705	45.704921
[14,]	48.820154	13.954289	1.461346	131.2788314	14.054159
[15,]	19.083086	208.002443	122.470849	0.4134672	58.480174
[16,]	1.288124	96.299279	40.055708	28.1656674	8.607230
[17,]	4.604316	76.263768	27.586420	42.1607133	4.145772
[18,]	8.616144	58.489524	18.694050	51.9714405	2.182042
[19,]	11.910763	49.929615	13.771693	61.1519254	1.385398
[20,]	1.278979	93.705626	38.647212	28.5441026	7.981570
[21,]	20.994713	34.894886	7.601111	78.8683744	3.173472
[22,]	43.397076	14.880945	1.445268	120.4058745	11.529017
[23,]	41.279695	18.062900	1.685217	118.6631556	10.316114
[24,]	12.052812	50.263296	14.833360	59.4016298	2.146311
[25,]	2.544395	134.995284	67.202952	10.9708058	22.742354
[26,]	105.833781	2.970288	13.186617	217.8411276	48.895892
[27,]	227.007517	23.177688	69.511330	377.4139680	138.831897
[28,]	81.376137	2.970320	5.720177	181.1524644	32.906079
[29,]	100.127909	2.964079	12.213482	207.5190409	45.706474
[30,]	9.917920	176.172168	97.416356	2.9105535	41.367030
[31,]	14.687048	195.192655	111.222124	2.5264009	50.463316
[32,]	35.611494	247.432387	156.143791	2.6694042	83.804828
[33,]	1.968149	100.018653	42.575468	27.9465001	10.148636
[34,]	2.052270	123.194926	59.846772	13.8678935	19.031931
[35,]	15.199914	199.560232	113.855467	2.3849347	51.919149
[36,]	31.625048	240.619827	149.647793	1.3439025	78.456204
[37,]	37.153357	256.116513	161.883482	2.3847245	87.282769
[38,]	1.899551	121.308871	57.414526	17.0383241	17.523646

Pertumbuhan Ekonomi

```
> summary(res)
'funcyOutList' object with called algorithm(s):
```

```

fitfclust

call:
funcit(data = dataPE, k = 2, methods = c("fitfclust"), seed = 2406, clusters
= clusters, parallel = TRUE)

Summary of the Cluster Proportions:
      V1      V2
fitfclust 0.6839 0.3161

Summary of the Rand Indices:
      fitfclust
fitfclust 0.0197

Summary of the Calculation Time:
           user.self sys.self elapsed user.child sys.child
fitfclust       0.44      0.04     0.47        NA        NA
> Cluster(res)
[1] 1 1 1 1 2 2 2 1 2 2 1 1 1 2 1 2 2 1 2 1 1 2 2 2 1 1 1 1 2 1 1 1 1 1 1 1 1
1 1 1 2
$lambda.zero
[,1]
[1,] -58.138113
[2,]  7.521631
[3,] 11.510046
[4,] -5.841928

$Lambda
[,1]      [,2]
[1,]  4.495558 5.469842
[2,] -2.208105 1.236722
[3,] -1.995505 -1.602280
[4,] -4.009994 6.248522

$alpha
[,1]      [,2]
[1,]  0.408929 0.974451
[2,] -0.408929 -0.974451

$Gamma
[,1]      [,2]      [,3]      [,4]
[1,] 24.4784755 -13.263832  0.5445701 30.56657
[2,] -13.263832  9.221354  5.4419686 -12.45195
[3,]  0.5445701  5.441969 16.1918610 12.27326
[4,] 30.5665725 -12.451952 12.2732609 46.47575

$sigma
[1] 36.22553
Slot "centers":
[,1]      [,2]
[1,] 12.277313 9.783768
[2,] 13.579358 15.101685
[3,] 14.536311 18.812320
[4,] 15.173379 21.118328
[5,] 15.515765 22.222365
[6,] 15.588678 22.327085
[7,] 15.417322 21.635144
[8,] 15.026902 20.349196
[9,] 14.442626 18.671896
[10,] 13.689699 16.805899
[11,] 12.793326 14.953861

```

```
[12,] 11.778713 13.318436
[13,] 10.671067 12.102280
[14,] 9.495592 11.508046
[15,] 8.277496 11.738391
[16,] 7.041983 12.995970

Slot "props":
[1] 0.6839 0.3161

Slot "dist2centers":
[,1] [,2]
[1,] 17.280735 55.36697
[2,] 2.550627 24.62031
[3,] 5.557636 17.53486
[4,] 50.964793 56.78260
[5,] 67.681358 51.20164
[6,] 30.443550 31.36551
[7,] 85.911412 60.63883
[8,] 13.702192 32.07549
[9,] 32.363327 28.61459
[10,] 69.990327 55.27581
[11,] 15.079423 51.48395
[12,] 18.386570 37.02026
[13,] 24.512213 37.89251
[14,] 75.607544 33.20634
[15,] 51.390848 49.43893
[16,] 65.025188 46.55375
[17,] 121.076018 90.58337
[18,] 32.504290 38.02124
[19,] 32.075526 27.43868
[20,] 15.249278 26.30099
[21,] 6.123305 22.59940
[22,] 385.771930 291.81352
[23,] 48.333811 44.94617
[24,] 91.801559 63.74420
[25,] 25.718722 40.16443
[26,] 55.091362 77.54402
[27,] 22.099366 68.78323
[28,] 8.178434 38.80688
[29,] 57.427660 55.72015
[30,] 21.637855 52.79851
[31,] 43.679338 61.40527
[32,] 51.142873 61.03556
[33,] 16.669628 64.39182
[34,] 33.316256 63.16462
[35,] 11.889177 48.26261
[36,] 30.586263 59.02868
[37,] 16.862552 23.75785
[38,] 57.150735 51.73601
```



Lampiran 26. Hasil Statistika Deskriptif masing-masing *Cluster* dengan Bantuan *Software SPSS*

Statistika Deskriptif IPM masing-masing *cluster*

Cluster 1

Descriptive Statistics

	N	Minimum	Maximum	Mean	Std. Deviation
PM	10	20.04	33.18	24.3024	4.21616
Valid N (listwise)	10				

Cluster 2

Descriptive Statistics

	N	Minimum	Maximum	Mean	Std. Deviation
PM	9	6.21	11.07	8.5353	1.68776
Valid N (listwise)	9				

Cluster 3

Descriptive Statistics

	N	Minimum	Maximum	Mean	Std. Deviation
PM	19	12.79	20.84	15.8994	2.23399
Valid N (listwise)	19				

Statistika Deskriptif IPM masing-masing cluster

Cluster 1

Descriptive Statistics

	N	Minimum	Maximum	Mean	Std. Deviation
IPM	8	69.24	72.27	70.7538	1.02592
Valid N (listwise)	8				

Cluster 2

Descriptive Statistics

	N	Minimum	Maximum	Mean	Std. Deviation
IPM	8	55.98	62.04	60.7087	1.97589
Valid N (listwise)	8				

Cluster 3

Descriptive Statistics

	N	Minimum	Maximum	Mean	Std. Deviation
IPM	4	63.42	64.65	64.1475	.54138
Valid N (listwise)	4				

Cluster 4**Descriptive Statistics**

	N	Minimum	Maximum	Mean	Std. Deviation
IPM Valid N (listwise)	7	73.95	76.65	75.3700	1.01527

Cluster 5**Descriptive Statistics**

	N	Minimum	Maximum	Mean	Std. Deviation
IPM Valid N (listwise)	11	66.16	68.83	67.4691	.95437

Statistika Deskriptif Pertumbuhan Ekonomi masing-masing cluster**Cluster 1****Descriptive Statistics**

	N	Minimum	Maximum	Mean	Std. Deviation
pertumbuhan_ekonomi Valid N (listwise)	24	9.665	14.612	12.56279	1.352919

*Cluster 2***Descriptive Statistics**

	N	Minimum	Maximum	Mean	Std. Deviation
pertumbuhan_ekonomi	14	14.935	22.325	16.62991	1.947702
Valid N (listwise)	14				



Lampiran 27. Source Code Fungsi *B-spline*, *Velocity*, dan *Acceleration* dengan Bantuan Software R

```
library(freeknotsplines)
library(splines2)
library(fda)
##knot Kota Malang untuk IPM
times <- seq(0.0625,1,0.0625)
data=read.csv("D://IPM untuk
fitfclust.csv",sep=",",header=T)
n3 <- data$Kabupaten.Sampang
#####penentuan titik knot
#banyak titik knot=1 dan linier
xy.freek11 <- freelsgen(times, n3, degree = 1, numknot
= 1, seed = 16)
#banyak titik knot=2 dan linier
xy.freek12 <- freelsgen(times, n3, degree = 1, numknot
= 2, seed = 16)
#banyak titik knot=3 dan linier
xy.freek13 <- freelsgen(times, n3, degree = 1, numknot
= 3, seed = 16)
#banyak titik knot=4 dan linier
xy.freek14 <- freelsgen(times, n3, degree = 1, numknot
= 4, seed = 16)
#banyak titik knot=2 dan kuadratik
xy.freek21 <- freelsgen(times, n3, degree = 2, numknot
= 1, seed = 16)
#banyak titik knot=2 dan kuadratik
xy.freek22 <- freelsgen(times, n3, degree = 2, numknot
= 2, seed = 16)
#banyak titik knot=3 dan kuadratik
xy.freek23 <- freelsgen(times, n3, degree = 2, numknot
= 3, seed = 16)
#banyak titik knot=4 dan kuadratik
xy.freek24 <- freelsgen(times, n3, degree = 2, numknot
= 4, seed = 16)
#banyak titik knot=1 dan kubik
xy.freek31 <- freelsgen(times, n3, degree = 3, numknot
= 1, seed = 16)
#banyak titik knot=2 dan kubik
xy.freek32 <- freelsgen(times, n3, degree = 3, numknot
= 2, seed = 16)
#banyak titik knot=3 dan kubik
xy.freek33 <- freelsgen(times, n3, degree = 3, numknot
= 3, seed = 16)
#banyak titik knot=4 dan kubik
```

```
xy.freekt34 <- freelsgen(times, n3, degree = 3, numknot  
= 4, seed = 16)  
  
#ESTIMASI parameter fungsi dengan degree=3(kubik)  
dengan 4 knot  
knot=c(0.435,0.500)  
bsp<-bSpline(times,knots=knot,degree=3,intercept=FALSE)  
summary(fm3<-  
lm(n3~bSpline(times,knots=knot,degree=3,intercept=FALSE  
,data=data))  
prediksi<-predict(fm3,data.frame(times=times))  
  
#Fungsi dengan parameter pemulus  
lambda=0.00005  
basisfdPar <- fdPar(bsp, Lfd, lambda);  
basisfdPar  
basisfd=smooth.basis(times,n3,bidfdPar)  
basisfd  
  
#Membuat Grafik Fungsi B-spline  
par(mfrow=c(2,2));  
plot(times,n3,xlab="time",ylab="Underlying  
Function",main="Fungsi B-spline")  
lines(times,prediksi,col="blue")  
plot(basisfd, xlab="time", ylab="Underlying  
Function",main="Fungsi B-spline dengan lambda");  
  
#Menghitung kecepatan (Velocity)  
Velocity3 <- deriv.fd(basisfd$fd,1); #First Deriv. of  
the function  
velcoef3<-c(-114.133,-101.088,-76.298,-44.874,-12.005,  
10.8327,19.556, 9.551,-18.890, -56.037,-62.247,-  
38.451,-25.151,-20.038,-16.692, -13.1208)  
summary(velo3<-lm(velcoef3~bSpline(times,knots=knot,degr  
ee=3,intercept=FALSE),data=data))  
plot(times,velcoef3,xlab="time",ylab="Velocity",main="V  
elocitiy Fungsi B-spline IPM Kota Malang")  
veloprediksi3<-predict(velo3,data.frame(times=times))  
plot(Velocity3, xlab="time",col="brown",  
ylab="Velocity",main="Velocity Fungsi B-spline");  
  
#Menghitung Percepatan (Acceleration)  
acceleration3 <-deriv.fd(basisfd$fd,2); #Second  
Deriv.of the function  
acceleration3  
accoef3<-  
c(1050.329,995.432,890.720,724.132,514.440,241.077,14.3
```

```
40,-327.098,-575.074,-  
476.385,276.821,337.430,120.868,54.752,61.708,35.472)  
summary(acc3<-lm(accoef3~bSpline(times,knots=knot,  
degree=3,intercept=FALSE),data=data))  
plot(times,accoef3,xlab="time",ylab="Acceleration",main  
="Acceleration Fungsi B-spline")  
accprediksi3<-predict(acc3,data.frame(times=times))  
accprediksi3  
plot(acceleration3, xlab="time",col="green",  
ylab="Acceleration",main="Acceleration Fungsi B-  
spline");
```



Lampiran 28. *Source Code Penentuan Banyaknya Cluster Optimal dan Functional Cluster Analysis dengan Bantuan Software R*

IPM

```
library(Funclustering)
library(funcy)
library(funHDDC)
##Sample a regular dataset
ds <- sampleFuncy(obsNr=38, k=3, timeNr=16, reg=TRUE)

##data Intan
data=read.csv("D://IPM untuk
fitfclust.csv",sep=",",header=T)
data
vdata=c(data)
vdata
mdata1=cbind(matrix(vdata$Kabupaten.Pacitan),matrix(vda
ta$Kabupaten.Ponorogo),matrix(vdata$Kabupaten.Trenggale
k),matrix(vdata$Kabupaten.Tulungagung),matrix(vdata$Kab
upaten.Blitar),matrix(vdata$Kabupaten.Kediri),matrix(vd
ata$Kabupaten.Malang),matrix(vdata$Kabupaten.Lumajang),
matrix(vdata$Kabupaten.Jember),matrix(vdata$Kabupaten.B
anyuwangi),matrix(vdata$Kabupaten.Bondowoso),matrix(vda
ta$Kabupaten.Situbondo),matrix(vdata$Kabupaten.Probolin
ggo),matrix(vdata$Kabupaten.Pasuruan),matrix(vdata$Kabu
paten.Sidoarjo),
matrix(vdata$Kabupaten.Mojokerto),matrix(vdata$Kabupate
n.Jombang),matrix(vdata$Kabupaten.Nganjuk),matrix(vdata
$Kabupaten.Madiun),matrix(vdata$Kabupaten.Magetan),matr
ix(vdata$Kabupaten.Ngawi),matrix(vdata$Kabupaten.Bojone
goro),matrix(vdata$Kabupaten.Tuban),matrix(vdata$Kabupa
ten.Lamongan),matrix(vdata$Kabupaten.Gresik),matrix(vda
ta$Kabupaten.Bangkalan),matrix(vdata$Kabupaten.Sampang)
,matrix(vdata$Kabupaten.Pamekasan),matrix(vdata$Kabupat
en.Sumenep),matrix(vdata$Kota.Kediri),matrix(vdata$Kota
.Blitar),matrix(vdata$Kota.Malang),
matrix(vdata$Kota.Probolinggo),matrix(vdata$Kota.Pasuru
an),matrix(vdata$Kota.Mojokerto),matrix(vdata$Kota.Madi
un),matrix(vdata$Kota.Surabaya),matrix(vdata$Kota.Batu)
)
mdata1
dataPM=mdata1
clusters=Cluster(ds)

#penentuan k optimal
```

```
t<-seq(1,16,1)
#k=2,3
splines <- create.bspline.basis(rangeval=c(1, max(t)),
nbasis = 8,norder=4)
fdataPM <- Data2fd(dataPM, argvals=t, basisobj=splines)
rez <- funHDDC(fdataPM,K=3,model='AkjBkQkDk')
rez <- funHDDC(fdataPM,K=2,model='AkjBkQkDk')
#k=4
splines <- create.bspline.basis(rangeval=c(1, max(t)),
nbasis = 8,norder=6)
fdataPM <- Data2fd(dataPM, argvals=t, basisobj=splines)
rez <- funHDDC(fdataPM,K=4,model='AkjBkQkDk')
#k=5
splines <- create.bspline.basis(rangeval=c(1, max(t)),
nbasis = 8,norder=10)
fdataPM <- Data2fd(dataPM, argvals=t, basisobj=splines)
rez <- funHDDC(fdataPM,K=5,model='AkjBkQkDk')

#penentuan anggota cluster
res <- funcit(data=dataPM,
clusters=clusters,methods=c("fitfclust"),
seed=2406,k=3, parallel=TRUE)
summary(res)
Cluster(res)
plot(res)
res
plot(res,type="dist2centers")
plot(res,type="centers", mean="cluster centers")
```

IPM

```
ds <- sampleFancy(obsNr=38, k=5, timeNr=16, reg=TRUE)

##data Intan
data=read.csv("D://IPM untuk
fitfclust.csv",sep=",",header=T)
data
vdata=c(data)
vdata
mdata1=cbind(matrix(vdata$Kabupaten.Pacitan),matrix(vda
ta$Kabupaten.Ponorogo),matrix(vdata$Kabupaten.Trenggale
k),matrix(vdata$Kabupaten.Tulungagung),matrix(vdata$Kab
upaten.Blitar),matrix(vdata$Kabupaten.Kediri),matrix(vd
ata$Kabupaten.Malang),matrix(vdata$Kabupaten.Lumajang),
matrix(vdata$Kabupaten.Jember),matrix(vdata$Kabupaten.B
anyuwangi),matrix(vdata$Kabupaten.Bondowoso),matrix(vda
ta$Kabupaten.Situbondo),matrix(vdata$Kabupaten.Probolin
```

```

ggo),matrix(vdata$Kabupaten.Pasuruan),matrix(vdata$Kabu
paten.Sidoarjo),
matrix(vdata$Kabupaten.Mojokerto),matrix(vdata$Kabupate
n.Jombang),matrix(vdata$Kabupaten.Nganjuk),matrix(vdata
$Kabupaten.Madiun),matrix(vdata$Kabupaten.Magetan),matr
ix(vdata$Kabupaten.Ngawi),matrix(vdata$Kabupaten.Bojone
goro),matrix(vdata$Kabupaten.Tuban),matrix(vdata$Kabupa
ten.Lamongan),matrix(vdata$Kabupaten.Gresik),matrix(vda
ta$Kabupaten.Bangkalan),matrix(vdata$Kabupaten.Sampang)
,matrix(vdata$Kabupaten.Pamekasan),matrix(vdata$Kabupat
en.Sumenep),matrix(vdata$Kota.Kediri),matrix(vdata$Kota
.Blitar),matrix(vdata$Kota.Malang),
matrix(vdata$Kota.Probolinggo),matrix(vdata$Kota.Pasuru
an),matrix(vdata$Kota.Mojokerto),matrix(vdata$Kota.Madi
un),matrix(vdata$Kota.Surabaya),matrix(vdata$Kota.Batu)
)
mdata1
dataIPM=mdata1
clusters=Cluster(ds)

#penentuan anggota cluster
res <- funcit(data=dataIPM,
clusters=clusters,methods=c("fitfclust"),
seed=2406,k=5, parallel=TRUE)
summary(res)
Cluster(res)
plot(res)
res
plot(res,type="dist2centers")
plot(res,type="centers", mean="cluster centers")

#penentuan k optimal
t<-seq(1,16,1)
splines <- create.bspline.basis(rangeval=c(1, max(t)),
nbasis = 8,norder=4)
splines
fdataipm <- Data2fd(dataIPM, argvals=t,
basisobj=splines)
fdataipm
rez <- funHDDC(fdataipm,K=2,model='AkjBkQkDk')

```

Pertumbuhan Ekonomi

```

##Sample a regular dataset
ds <- sampleFuncy(obsNr=38, k=2, timeNr=16, reg=TRUE)

##data Intan

```

```
data=read.csv("D://PE untuk  
fifclust.csv", sep=",", header=T)  
data  
vdata=c(data)  
vdata  
mdata1=cbind(matrix(vdata$Kabupaten.Pacitan),matrix(vda  
ta$Kabupaten.Ponorogo),matrix(vdata$Kabupaten.Trenggale  
k),matrix(vdata$Kabupaten.Tulungagung),matrix(vdata$Kab  
upaten.Blitar),matrix(vdata$Kabupaten.Kediri),matrix(vd  
ata$Kabupaten.Malang),matrix(vdata$Kabupaten.Lumajang),  
matrix(vdata$Kabupaten.Jember),matrix(vdata$Kabupaten.B  
anyuwangi),matrix(vdata$Kabupaten.Bondowoso),matrix(vda  
ta$Kabupaten.Situbondo),matrix(vdata$Kabupaten.Probolin  
ggo),matrix(vdata$Kabupaten.Pasuruan),matrix(vdata$Kabu  
paten.Sidoarjo),  
matrix(vdata$Kabupaten.Mojokerto),matrix(vdata$Kabupate  
n.Jombang),matrix(vdata$Kabupaten.Nganjuk),matrix(vdata  
$Kabupaten.Madiun),matrix(vdata$Kabupaten.Magetan),matr  
ix(vdata$Kabupaten.Ngawi),matrix(vdata$Kabupaten.Bojone  
goro),matrix(vdata$Kabupaten.Tuban),matrix(vdata$Kabupa  
ten.Lamongan),matrix(vdata$Kabupaten.Gresik),matrix(vda  
ta$Kabupaten.Bangkalan),matrix(vdata$Kabupaten.Sampang)  
,matrix(vdata$Kabupaten.Pamekasan),matrix(vdata$Kabupat  
en.Sumenep),matrix(vdata$Kota.Kediri),matrix(vdata$Kota  
.Blitar),matrix(vdata$Kota.Malang),  
matrix(vdata$Kota.Probolinggo),matrix(vdata$Kota.Pasuru  
an),matrix(vdata$Kota.Mojokerto),matrix(vdata$Kota.Madi  
un),matrix(vdata$Kota.Surabaya),matrix(vdata$Kota.Batu)  
)  
mdata1  
dataPE=mdata1  
clusters=Cluster(ds)  
  
#penentuan anggota cluster  
res <- funcit(data=dataPE,  
clusters=clusters,methods=c("fitfclust"),  
seed=2406,k=2, parallel=TRUE)  
summary(res)  
Cluster(res)  
plot(res)  
res  
plot(res,type="dist2centers")  
plot(res,type="centers", mean="cluster centers")
```